

UNIVERSIDAD NACIONAL DE INGENIERÍA

**FACULTAD DE INGENIERÍA GEOLÓGICA MINERA Y
METALÚRGICA**



**METODOLOGIA Y ESTIMACION GEOESTADISTICA DE
RECURSOS DEL YACIMIENTO EPITERMAL SANTA
ROSA - PUNO**

INFORME DE SUFICIENCIA

**PARA OPTAR EL TITULO PROFESIONAL DE
INGENIERO GEÓLOGO**

**PRESENTADO POR:
ROMARICO FERNANDEZ LOPEZ**

**Lima - Perú
2012**

AGRADECIMIENTOS

Deseo expresar un profundo agradecimiento a todas las personas que integran la Facultad de Geología de la Universidad Nacional de Ingeniería, tanto como académicos y no académicos, por su apoyo y colaboración en el trabajo así como en mi vida universitaria.

Quisiera agradecer también a la empresa Minera Aruntani, representada en la persona del Ing. Guido del Castillo así como al Ing. Miguel Rutti por la oportunidad de desarrollar este trabajo en una de sus operaciones mineras.

Este trabajo se lo dedico a mis tres pilares; Saby, Lucas y Pablo.

A todos Ustedes Muchas Gracias.

SUMARIO

El presente trabajo es la aplicación de la geoestadística en combinación con programas informáticos de última generación para realizar un cálculo de reservas en un yacimiento que se creía agotado.

Para esto se cuenta con una relación de sondajes entre históricos y exploratorios del año en curso, estos representan la información de alteración y leyes de oro.

Con respecto al análisis de los sondajes, se optó por una composición por downhole, para las zonas donde existe concentraciones de información no se requirió hacer el declustering.

La estimación se realiza por geoestadística por lo que para ello se realiza un análisis de variogramas encontrando los radios principales, efecto pepita, meseta y tipo de modelo. Los cuales servirán como parámetros de entrada para la estimación por Krigging Ordinario.

Finalmente obtenido el recurso geológico, se creará un reporte del modelo de bloques y aplicando parámetros mineros se obtendrá el recurso existente.

TABLA DE CONTENIDOS

Lista de Tablas	vii
Lista de Figuras	viii
INTRODUCCION.....	9
CAPITULO I: GENERALIDADES	11
1.1. Ubicación del Área en Estudio.....	11
1.2. Objetivo	13
1.3. Descripciones de los software utilizados	13
CAPITULO II: AMBIENTE GEOLOGICO	14
2.1. Geomorfología del Área de Interés.....	14
2.2. Estratigrafía	15
2.3. Geología Estructural.....	19
2.4. Geología Local.....	21
2.5. Geoquímica.....	24
2.6. Alteración Hidrotermal.....	31
CAPITULO III: METODOLOGIA.....	35
3.1. Formación de la base de datos de los taladros y validación.....	35
3.2. Análisis Exploratorio de Datos	36
3.3. Análisis Estructural mediante variogramas	43
CAPITULO IV: MODELO DE BLOQUES.....	48
4.1. Delimitación geométrica del yacimiento	48
4.2. Definición de la aureola de estimación	48
CAPITULO V: ESTIMACION DE RECURSOS	54
5.1. Distribución de los compósitos que participan en el proceso de estimación	55
5.2. Estimación de las leyes para el modelo de bloques; Kriging Ordinario.....	56
5.3. Tablas y curvas Tonelaje – Ley de Corte en función de la ley estimada.....	59
5.4. Comprobación manual de la estimación de un bloque unitario.....	60
CAPITULO VI: CONCLUSIONES Y RECOMENDACIONES	63
6.1. Conclusiones.....	63

6.2. Recomendaciones	64
----------------------------	----

CAPITULO VII: REFERENCIAS BIBLIOGRÁFICAS	65
---	-----------

Apéndice A: Planos y Secciones

Apéndice B: Listado de Leyes Compósito

Lista de Tablas

<i>Tabla 1</i>	<i>Cima Cotañani</i>	25
<i>Tabla 2</i>	<i>Sector Falla Cotañani</i>	25
<i>Tabla 3</i>	<i>Sector Anfiteatro</i>	26
<i>Tabla 4</i>	<i>Tipos de Alteración y metraje acumulado</i>	36
<i>Tabla 5</i>	<i>Información de Ensayes</i>	38
<i>Tabla 6</i>	<i>Estadística por Tipo de Dominio en los compósitos de 6 metros</i>	41
<i>Tabla 7</i>	<i>Estadística por Tipo de Dominio en los compósitos de 6 metros para una ley de corte de 0.1 g/t</i>	41
<i>Tabla 8</i>	<i>Dimensiones del modelo de bloques</i>	48
<i>Tabla 9</i>	<i>Densidad (Tm/m³) por tipo de Alteración</i>	55
<i>Tabla 10</i>	<i>Numero de compósitos de 6m por nivel</i>	55
<i>Tabla 11</i>	<i>Recursos: Probado y Probable</i>	59
<i>Tabla 12</i>	<i>Categorización de los Recursos</i>	60
<i>Tabla 13</i>	<i>Ubicación de las muestras compósitos y centro del bloque unitario (T) ..</i>	60

Lista de Figuras

<i>Figura 1</i>	<i>Ubicación del Área de estudio</i>	12
<i>Figura 2</i>	<i>Geología Distrital</i>	18
<i>Figura 3</i>	<i>Patrón de fracturas y modelo distrital</i>	20
<i>Figura 4</i>	<i>Geología local interpretativa (P. Jhonson – W. Morche)</i>	24
<i>Figura 5</i>	<i>Correlación del Au vs patners HS (directa)</i>	26
<i>Figura 6</i>	<i>Correlación del Au vs patners HS (Inversa)</i>	27
<i>Figura 7</i>	<i>Au (ppm) sobre Anomalía de Ag (ppm)</i>	27
<i>Figura 8</i>	<i>Au (ppm) sobre Anomalía de As (ppm)</i>	28
<i>Figura 9</i>	<i>Au (ppm) sobre Anomalía de Hg (ppm)</i>	28
<i>Figura 10</i>	<i>Au (ppm) sobre Anomalía de Sb (ppm)</i>	29
<i>Figura 11</i>	<i>Au (ppm) sobre Anomalía de Pb (ppm)</i>	29
<i>Figura 12</i>	<i>Au (ppm) sobre Anomalía de S (%)</i>	30
<i>Figura 13</i>	<i>Au (ppm) sobre Anomalía de Zn (ppm)</i>	30
<i>Figura 14</i>	<i>Alteración (vista de planta y sección AA')</i>	34
<i>Figura 15</i>	<i>Ubicación de las muestras de Perforación (Planta, Sección E-W y N-S)</i> ..	37
<i>Figura 16</i>	<i>Compósitos por banco de 4m, 6m y 8m</i>	39
<i>Figura 17</i>	<i>Compósitos por banco de 10m, 12m y 14m</i>	40
<i>Figura 18</i>	<i>Desagrupamiento comparación: Banco 6m vs bloques de 5x5x5</i>	42
<i>Figura 19</i>	<i>Desagrupamiento comparación: bloques de 5x25x25, bloques 15x25x5</i>	43
<i>Figura 20</i>	<i>Parámetros para el cálculo del variograma experimental</i>	44
<i>Figura 21</i>	<i>Variogramas experimentales (0°, 10°, 20°, 30°, 40° y 50°)</i>	45
<i>Figura 22</i>	<i>Variogramas experimentales (60°, 70°, 80°, 90°, 100° y 110°)</i>	46
<i>Figura 23</i>	<i>Variogramas experimentales (120°, 130°, 140°, 150°, 160° y 170°)</i>	47
<i>Figura 24</i>	<i>Contornos de Continuidad Horizontal y Vertical</i>	49
<i>Figura 25</i>	<i>Continuidad en el plano inclinado y Modelos Matemáticos</i>	50
<i>Figura 26</i>	<i>Modelo Matemático omnidireccional y Eje principal</i>	51
<i>Figura 27</i>	<i>Modelo Matemático Eje Secundario y Eje menor</i>	52
<i>Figura 28</i>	<i>Ejes de Rotación (Eje X girando en sentido horario 90, 180, 270, 360)</i> .53	
<i>Figura 29</i>	<i>Método de Estimación: Kriging ordinario</i>	56
<i>Figura 30</i>	<i>Curvas de Probabilidad: compuesto y bloques estimados</i>	56
<i>Figura 31</i>	<i>Modelo de Leyes por Au g/tn: Nivel 4887</i>	57
<i>Figura 32</i>	<i>Modelo de Leyes por Au g/tn: Sección E-W (mirando al norte)</i>	58
<i>Figura 33</i>	<i>Grafico cruzado tonelaje-ley vs Ley de Corte</i>	60

INTRODUCCION

La Mina Santa Rosa a sido explorada en dos etapas: La primera en los años 1990 – 1991, la segunda etapa se exploró en los años 1996 – 1999 por la empresa MDH S.A.

Finalmente es Aruntani SAC, en el año 2001, quien inicia las actividades de preparación, desarrollo y explotación en el yacimiento Santa Rosa, del distrito geológico Cacachara, ubicado en el Cerro Cotañani a 2.5 Km. al este de la antigua mina Cacachara, en el distrito de Carumas, provincia de Mariscal Nieto, departamento de Moquegua..

Desde el punto de vista de la geología regional, la Mina Santa Rosa se encuentra emplazada en el volcánico Tacaza de edad terciario. En algunas zonas se encuentra cubierta por un evento posterior denominado volcánico Barroso. El Depósito de Santa Rosa es un yacimiento Epitermal del tipo Alta Sulfuración (HS high sulfidation) enclavado en el Arco Volcánico Cenozoico del Sur del país.

Se ha construido los histogramas experimentales de la variable Au. Del cual se desprende que posee una ley de distribución Log-Normal Directa, caracterizada por el hecho de que la mayor cantidad de muestras están debajo de la ley media.

El variograma del oro ha sido construido siguiendo la dirección de los taladros, presentando un variograma promedio bastante estacionario, lo que ha permitido aplicar la hipótesis de estacionaridad de orden dos. El alcance del variograma promedio ha permitido definir la aureola de estimación de cada uno de los bloques, delimitando la información necesaria para estimar cada bloque y por otra parte justificar la dimensión del bloque unitario que respete a su vez el espesor de las estructuras mineralizadas.

Se procedió a estimar la ley del oro para cada bloque unitario, usando parámetros provenientes del variograma en la técnica geoestadística del Kriging.

El Modelo Geológico alcanzado acompañado de la optimización de la variografía en tres dimensiones ha dado más áreas con potencial, se está en espera de las leyes para incluirlo en el cálculo de reservas materia del estudio.

CAPITULO I: GENERALIDADES

1.1. Ubicación del Área en Estudio

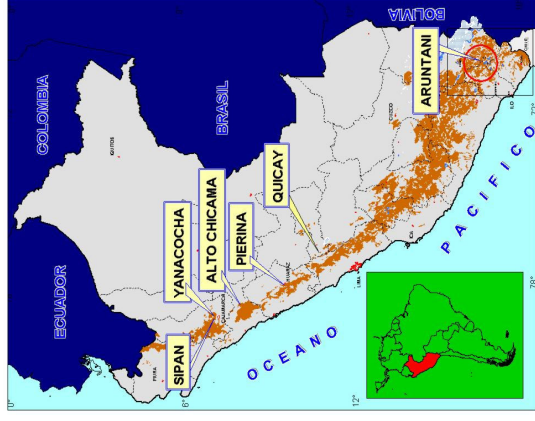
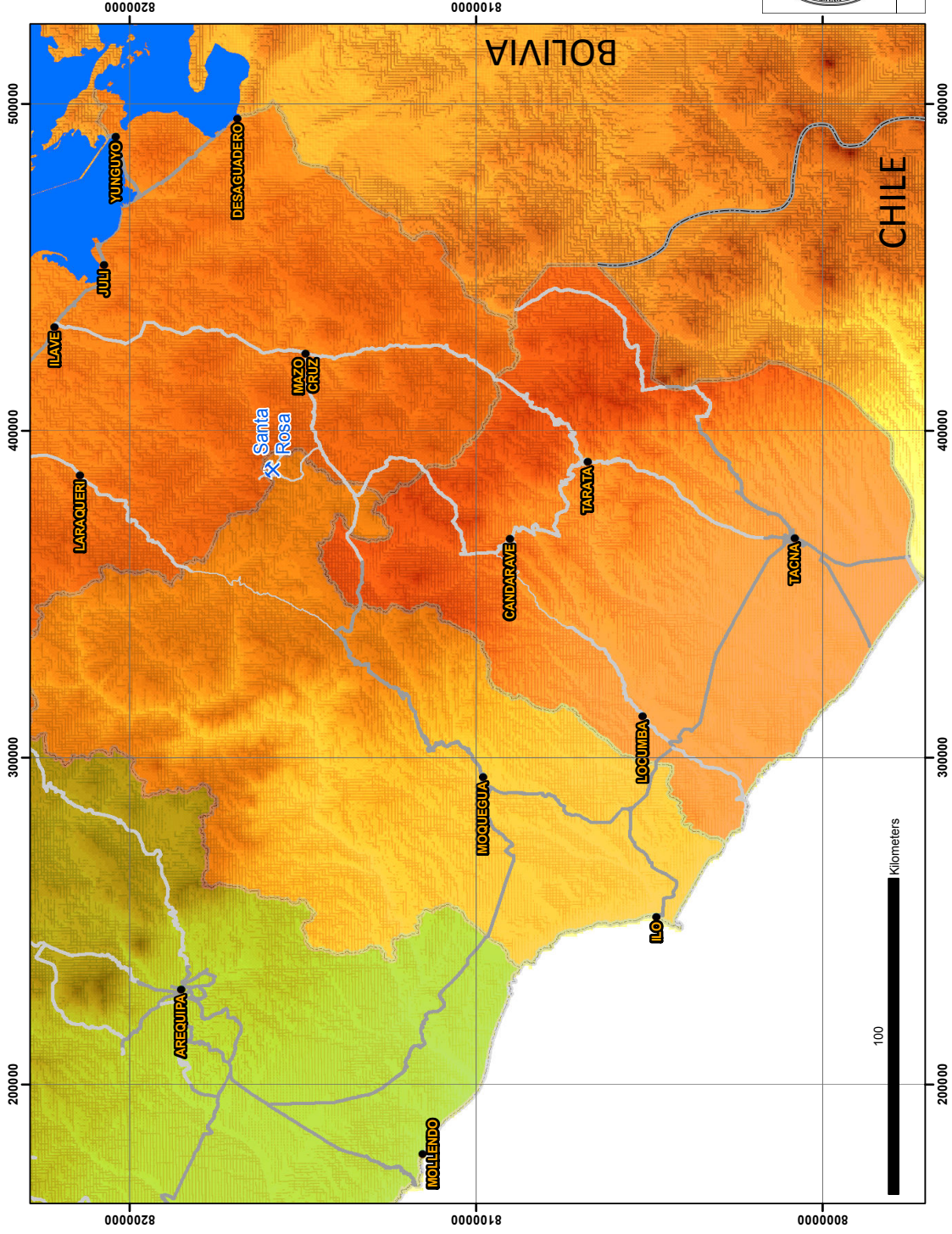
La Unidad Minera Santa Rosa se ubica en el Cuadrángulo de Huaitire, hoja perteneciente al está ubicada en el distrito de Carumas, provincia de Mariscal Nieto, departamento de Moquegua, a una altitud promedio de 4,900 msnm.

Hidrográficamente el Proyecto Minero Santa Rosa se ubica en la cuenca alta del río Tambo, en la cuenca del río Cacachara, específicamente entre las quebradas Acosiri y Cotañani.

ACCESO: Se manejan los siguientes recorridos:

- Transporte aéreo Lima-Juliaca para luego tomar la vía terrestre que une Juliaca-Puno y Puno-Ilave y se transita la carretera binacional hasta el Km. 265 donde se tiene una trocha carrozable que conduce al campamento.

- Transporte aéreo Lima-Tacna para luego seguir por la vía terrestre que une Tacna-Moquegua y continuar por la carretera binacional hasta el Km. 265 donde se toma la trocha carrozable antes descrita



UNIVERSIDAD NACIONAL DE INGENIERÍA
FACULTAD DE INGENIERÍA GEOLÓGICA
MINERA Y METALÚRGICA

UBICACIÓN DEL ÁREA DE ESTUDIO

Autor : Romarico F. I. Fecha : 20 Ene 2012 Escala: grafica

Figura 1 Ubicación del Área de estudio

1.2. Objetivo

Desarrollar la metodología y estimación geoestadística de la reserva de mineral del Yacimiento HS Santa Rosa, que habiendo cerrado en el 2007 con una ley de corte de 0.35 es seguro que se dejó muchas bloques con "baja ley" que con el actual precio del oro hace imperativo una reevaluación de la información y de bloques unitarios que permitan construir curvas tonelaje-ley de corte para diferentes leyes de corte.

1.3. Descripciones de los software utilizados

El estudio realizado, combinó el acopio de información de años anteriores y taladros exploratorios de una reciente campaña. Los aspectos técnicos materia del estudio se pudieron alcanzar utilizando los siguientes softwares comerciales:

- Leapfrog desarrollado por Zaparo, que permite la creación de sólidos de forma rápida, dinámica y con una retroalimentación a tiempo real, es decir, si se va agregando nueva información los modelos geológicos se irán actualizando.
- Supervisor desarrollado por Snowden, complemento ideal para la realización del declustering, variograma para diferentes dominios sean por alteración, litología.
- Vulcan desarrollado por Maptek, está basado en las normas técnicas de minería para el modelamiento y estimación de recursos y reservas.

CAPITULO II: AMBIENTE GEOLOGICO

2.1. Geomorfología del Área de Interés

Los rasgos geomorfológicos presentes en el área donde se ubica el yacimiento “Santa Rosa” son el resultado de procesos Vulcanogénicos y Tectónicos complementado por los procesos de geodinámica interna y externa, así como sus agentes de meteorización que ha modelado el rasgo morfológico actual de la región.

Por lo general el relieve es ondulado y en las altas cumbres se observa la presencia de material de derrumbe sobre las laderas de los cerros, producto de la erosión y meteorización que han sufrido las rocas emplazadas en la zona.

El perfil de los valles son en “U” producto de la glaciación, además por encontrarse cerca de las laderas de los cerros las quebradas son poco profundas.

Los cauces de las corrientes de agua presentes no son profundos por estar en una zona de pendiente baja y en zonas más llanas estas aguas forman bofedales y pequeñas lagunas.

Las planicies y las quebradas se encuentran emplazadas entre los 4,000 msnm. y los 4,500 msnm, mientras que las montañas y aparatos volcánicos con la presencia de nieve perpetua en la cumbre están sobre los 5,200 msnm., de donde provienen las aguas presentes en la zona.

Clima y Vegetación

Las condiciones climáticas son bastante severas y cambiantes; iniciando Diciembre hasta fines de Abril son continuas las lluvias, nevadas y granizadas con relámpagos y truenos.

Entre Mayo y Junio las heladas con vientos fuertes son constantes teniendo también días soleados.

A partir de Julio el clima es muy seco con cielo muy despejado; el Sol y la sensación de calor es intensa.

La flora silvestre lo conforma mayormente el ichu o pasto de altura; la presencia de yaretales, tola y quenuales es mucho más restringida.

2.2. Estratigrafía

Volcánico Matalaque.

Se ha denominado volcánico Matalaque a una secuencia de rocas volcánicas constituidas por derrames andesíticos, dacíticos y traquíticos, con algunas intercalaciones de brechas de flujo y escasos sedimentos arenosos abigarrados, afloramientos conspicuos se exponen en el tramo medio y superior del río Tambo, en el flanco derecho del valle Carumas y en la quebrada Pachas.

La secuencia litológica en la quebrada Pachas, la base está constituida por derrames andesíticos densos de color gris verdosos con pasta afanítica, en la que destacan cristales de horblenda alineados paralelamente al contacto; hacia arriba continúan lavas pardo-rojizas de naturaleza dacítica que pasan a un aglomerado de color rojizo a chocolate con venas de calcita, y aglomerados gruesos con clastos de naturaleza volcánica que alcanzan hasta 16 cm. De diámetro con predominio de clastos de 3 a 4 cm, distribuidos en matriz areno – tufácea.¹

Grupo Toquepala

La litología de esta unidad es variada, consistiendo principalmente de derrames volcánicos. Los niveles inferiores presentan bancos gruesos de andesitas de pasta fina, de color violáceo a chocolate en superficie fresca y por alteración adquieren colores abigarrados. Sobre estas rocas yacen bancos de riolitas gris clara a parda en fractura fresca, y que por alteración pasan a colores rosados amarillentos a ligeramente rojizos. Los minerales ferrosos se encuentran intensamente alterados, lo que da lugar a la coloración rojiza en mención, manifestaciones de seritización también se hacen presentes en algunos horizontes. En los niveles superiores se han reconocido brechas de flujo de color verde, derrames andesíticos epidotizados y hacia el techo se presentan bancos gruesos de dacitas y andesitas grises de tono violáceos por alteración.²

¹García M., W., y Guevara R., C., 1975. Geología de los cuadrángulos de Puquina, Omate, Huaitire, Mazo Cruz, y Pizacoma

² Galdos H., J., y Ticona T., P., 2000. Mapa geológico del cuadrángulo de Huaitire (34 V)

Formación Capillune

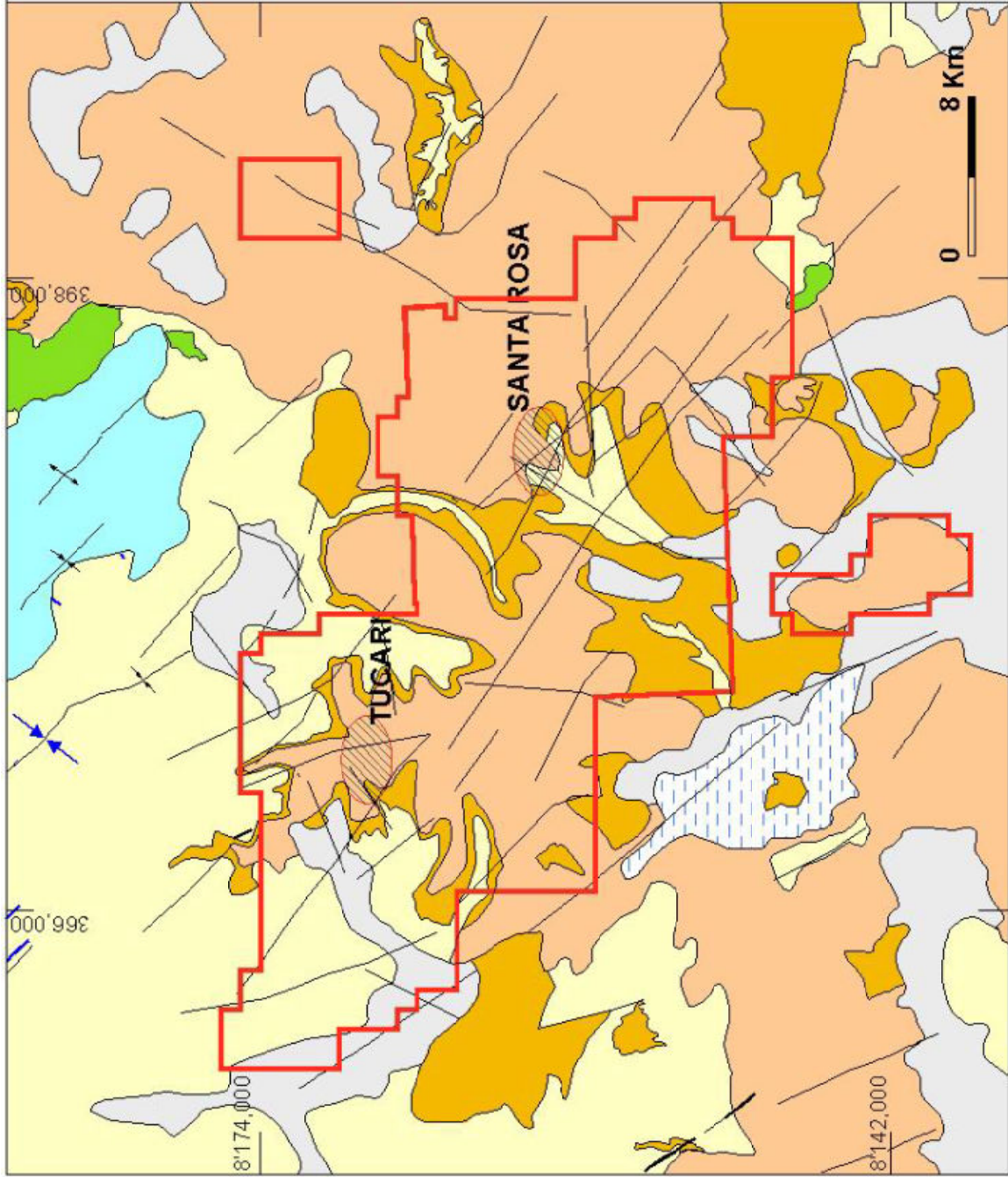
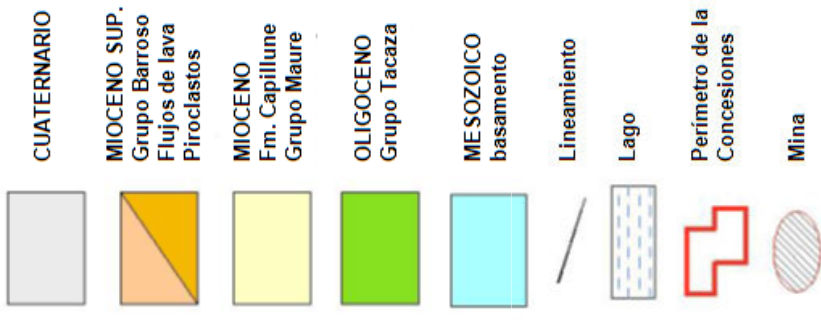
El nombre de esta formación fue dado por S. Mendivil (1965) quién estudio las características litológicas de la sección tipo, ubicadas en las vecindades de la localidad de Capillune, la litología presente consiste en una serie sedimentaria lacustre, compuesta por conglomerados, areniscas, piroclásticos, limolitas y arcillas con coloraciones grises, blanco-amarillentas y verdosas.

La uniformidad litológica y textural de la formación, son frecuentes en extensos afloramientos, topográficamente, conforma pequeñas lomadas de cumbres más o menos horizontales, conforman tierras bajas que cubren amplias zonas, existe la presencia de lentes de areniscas conglomerádicas dentro de una matriz tufácea, cuyos elementos son subangulosos a subredondeados; también es frecuente la ocurrencia de limolitas de color amarillento, en capas de 20-25 cm; rocas piroclásticas consistentes en tufos líticos, lapilli y pómez, se presentan en bancos lenticular dentro de la secuencia.

Grupo Barroso

Se conoce con este nombre a un complejo de rocas volcánicas, que fueron descritas por WILSON y GARCIA (1962), el nombre proviene de la cordillera del Barroso ubicada en el cuadrángulo de Palca (Departamento de Tacna). Posteriormente S. Mendivil (1965) diferencia tres unidades dentro de este complejo de rocas extrusivas, las mismas que de abajo hacia arriba son descritas con los siguientes nombres: volcánico Chila, volcánico Barroso y volcánico Purupurine.

LEGENDA



	UNIVERSIDAD NACIONAL DE INGENIERÍA FACULTAD DE INGENIERÍA GEOLÓGICA MINERA Y METALÚRGICA	
	GEOLOGIA DISTRITAL	
Autor : INGEMMET	Fecha : 20 Ene 2012	Escala: grafica

Figura 2 Geología Distrital

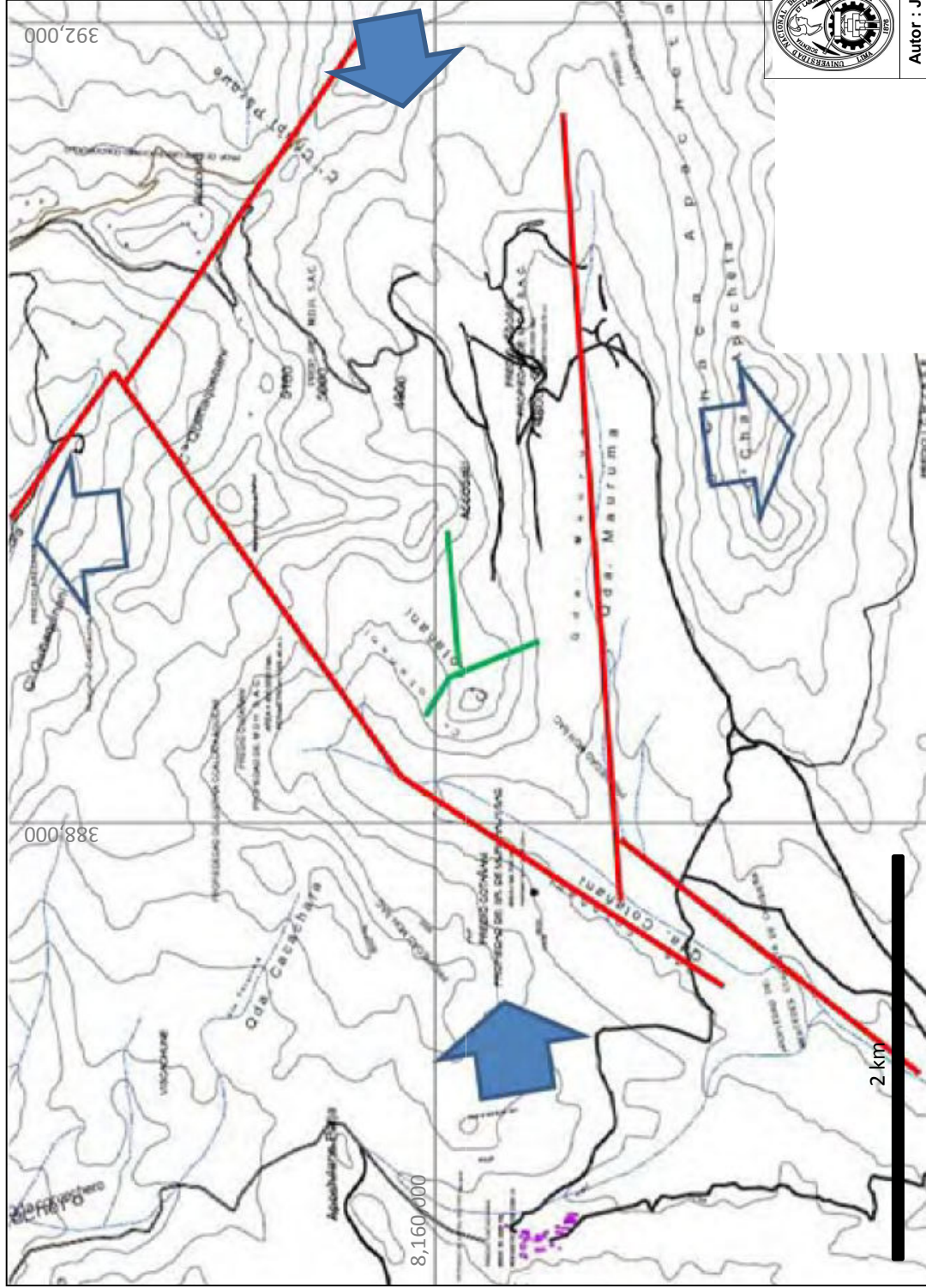
En el área que nos ocupa, solo se ha podido observar los niveles inferior y medio, habiéndose distinguido en consecuencia el volcánico Chila y el volcánico Barroso, por lo que se supone que estas unidades tienen una amplia distribución en el sector Sur del país.

Los materiales originados por estas fases efusivas constituyen la unidad geomórfica descrita con el nombre de Arco de Barroso, la misma que representa la expresión positiva de la fosa marina de América (Mendivil 1965). Los productos corresponden a las últimas pulsaciones de la actividad magmática del tipo lávico, fisural y central.

2.3. Geología Estructural.

La geología estructural en el área de evaluación del tajo Santa Rosa, con los trabajos de cartografiado e interpretación en campo ha permitido confeccionar un plano de Litológico - estructural para toda el área del tajo, el mismo que se adjunta al presente informe.

Se ha definido una tendencia de rumbo promedio NW, controlada por la falla Mauruma en el cual se emplaza el yacimiento Santa Rosa.



LEGENDA

- Fracturas periféricas
- Fracturas internas
- ➔ Esfuerzos principales

	UNIVERSIDAD NACIONAL DE INGENIERÍA FACULTAD DE INGENIERÍA GEOLÓGICA MINERA Y METALÚRGICA	
	PATRON DE ESTRUCTURAL	
Autor : Jose Machare	Fecha : 09 Set 2009	Escala: grafica

Figura 3 Patrón de fracturas y modelo distrital

El rasgo estructural más importante que se aprecia en el yacimiento y al cual se asocian los cuerpos de mineral de mayor ley lo constituye una Falla Normal (Falla Cotañani) de rumbo N30W con buzamiento de 45° al Este, cortando el centro hidrotermal Cotañani y el control estructural subvertical de dirección E – W (Falla Mauruma), las cuales forman una zona de debilidad importante por donde aprovecharon los fluidos hidrotermales para mineralizar las rocas hospedantes de la zona.

Uno de los sistemas de estructuras más acentuados que se observa en el sector del “anfiteatro”, donde se tiene un patrón estructural NW, con fracturas y fallas abiertas dispuestas de manera subvertical que en ocasiones buzan levemente al Oeste.³

La identificación de los sistemas de fallas presentes se convierten en guías geológicas muy importantes para el control de la mineralización además de ser de gran ayuda para la interpretación y entendimiento de la ocurrencia geodinámica del tajo Santa Rosa.

2.4. Geología Local

La característica del depósito minero de Santa Rosa es la de ser un yacimiento epitermal de alta sulfuración, el mismo que se encuentra enclavado en el arco

³ Machare J. 2009. Análisis estructural de la región de Aruntani, relación con la mineralización (pág. 25).

volcánico Cenozoico del Sur del Perú, la mineralización presente es epigenética que es favorecida por los controles estructurales existentes.

La zona de mayor interés económico se circunscribe al desarrollo de un centro hidrotermal, en un plug de composición riolítica con la intersección de la falla Cotañani y la falla Mauruma que controla los cuerpos de mineral de alta ley.⁴

Cuenta con un zoneamiento vertical típico de los sistemas epitermales observándose en la cima una estructura en forma de sombrero de roca volcánica del tipo ópalo gris fuertemente fracturado bajo el cual se tiene niveles de sílice masiva, sílice residual y varios tipos de ensamble sílice-alunita.

Al Este del centro hidrotermal principal aparece un segundo tipo de mineralización asociado a un sistema de estructuras subverticales de orientación NE el cual es cortado por una falla E-W (Falla Mauruma) y fracturas N-S denominándose el área como Anfiteatro.

La roca alterada presenta evidencia de eventos múltiples de alteración con oro en un contexto de argilización avanzada (Qz-Sr-Al) con cuerpos de brecha sílicea fuertemente oxidados y brechas sílice-alunita.

⁴ Chouinard, A., 2003. Alteration assessment of the high-sulphidation epithermal gold deposit and prospects in the Aruntani district

La argilización presente en el tajo Santa Rosa, es producto de la alteración que ha sufrido la roca andesítica porfírica, la cual al estar expuesta en superficie se altera y da como resultado una Limonita que es un óxido de hierro.

Una de las explicaciones para determinar la presencia de minerales con contenido aurífero, es el hecho de tener dos controles estructurales de rumbo N-W (Falla Cotañani) y E-W (Falla Mauruma) además de estructuras N-S, propiciando una zona de debilidad la cual ha facilitado el paso de los fluidos hidrotermales mineralizantes.

La zona Este, en los bancos superiores (Anfiteatro) muestra el desarrollo de la alteración en andesitas porfíricas de grano fino-medio con un aspecto de capas que buzcan ligeramente al Oeste con una inclinación no mayor a los 10 grados. Esta roca cristalina se asocia al evento Barroso el cual es un metalotecto de sumo interés para las actividades de prospección.

Infrayaciendo a esta unidad litológica hacia el lado Este de la Falla Cotañani aparece una secuencia fragmental de brechas y lapillis sobre estratos delgados de tufos laminares y poco competentes y tufos ácidos (tal evento podría asociarse al volcánico Puno o Maure), resulta complicada su definición, más aún cuando la roca se encuentra obliterada⁵.

⁵ Lewis, P., 2003. Evaluation of structural controls on epithermal gold mineralization

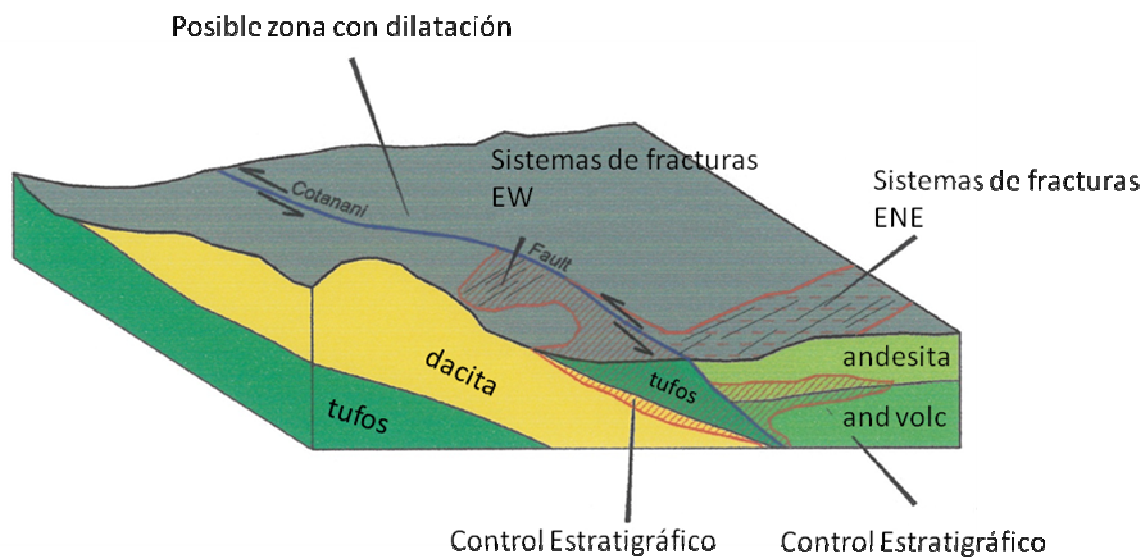


Figura 4 Geología local interpretativa (P. Jhonson – W. Morche)

2.5. Geoquímica

El resultado de los ensayos muestra que los elementos traza se concentran mayormente en el Sistema Epitermal Cotañani y parte Central del Pit (área más rica del yacimiento donde se desarrolla el foco principal). En el “anfiteatro” la dispersión y contenido de estos elementos varia grandemente observándose una marcada disminución.

En la cima del Cotañani (se tiene una capa de opalina y sílice amorfa), no tenemos valores en Oro debido a que estamos por encima del nivel de ebullición debajo del cual se desarrollan las zonas de bonanza ; sin embargo, los datos geoquímicos nos ha hecho notar concentraciones altas en Bario, Arsénico y Plomo.

Para el “anfiteatro” es pobre la concentración de elementos traza, solo hemos interpretado anomalías de Plomo en ensambles sílice-alunita.

Los datos geoquímica la podemos resumir de la siguiente manera:

a) CIMA COTAÑANI

VALORES	Au (Gr/Tn)	Ag (ppm)	As (ppm)	Ba (ppm)	Bi (ppm)	Sb (ppm)	Cu (ppm)	Mo (ppm)	Pb (ppm)	Zn (ppm)
MAXIMO	0.10	5.0	1949	1763	81	35	95.8	7.0	4546	18.4
MINIMO	-0.02	-0.2	55	217	6.0	-5	3.6	4.0	282	2.30

Tabla 1 Cima Cotañani

Por el nivel en que nos encontramos es lógico no contar con valores de Oro a pesar de estar en el sector más rico del Depósito.

Aparecen anomalías interesantes en Bario, Arsénico y Plomo

b) SECTOR FALLA COTAÑANI

VALORES	Au (Gr/Tn)	Ag (ppm)	As (ppm)	Ba (ppm)	Bi (ppm)	Sb (ppm)	Cu (ppm)	Mo (ppm)	Pb (ppm)	Zn (ppm)
MAXIMO	4.0	9.80	1836	3560	227	390	93.50	45	4387	114
MINIMO	0.30	4.60	25	778	34	28	5.90	1.0	78	2.30

Tabla 2 Sector Falla Cotañani

El Oro correlaciona con anomalías en Bario, Arsénico, Plomo y Bismuto. Esto coincide con la interpretación observada en campo donde la Falla se comporta como conducto del tipo estructural para el emplazamiento de la alteración - mineralización.

c) SECTOR ANFITEATRO

VALORES	Au (Gr/Tn)	Ag (ppm)	As (ppm)	Ba (ppm)	Bi (ppm)	Sb (ppm)	Cu (ppm)	Mo (ppm)	Pb (ppm)	Zn (ppm)
MAXIMO	12.26	0.80	40.0	134	16	26	12.2	3.0	677	56.6
MINIMO	0.30	0.40	32.0	39.0	9.0	16	2.60	3.0	220	4.70

Tabla 3 Sector Anfiteatro

Esta relación se encuentra cuantificada en la correlación del Au con Ag, As, Hg, Sb, Pb y de modo inverso con el S y Zn. Esto es típico en los sistemas hidrotermales, donde el Zn es movilizado en un medio ácido precipitando en los bordes del sistema, así como el S es lixiviado. (Figura 5 y 6)

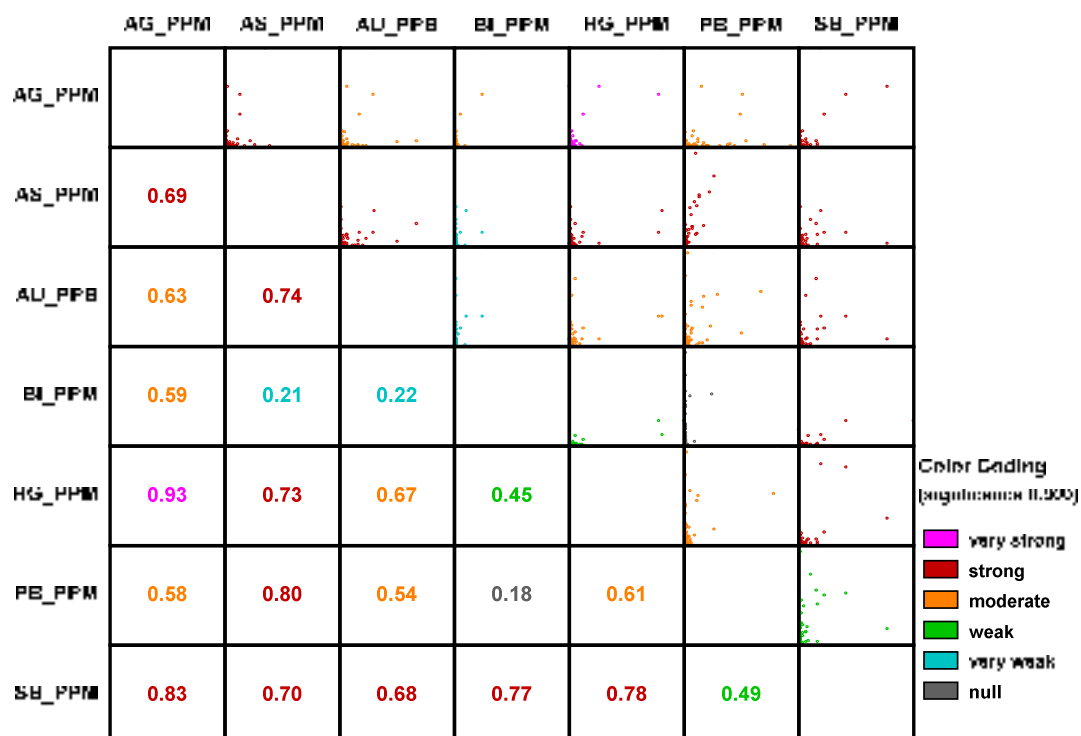


Figura 5 Correlación del Au vs patners HS (directa)

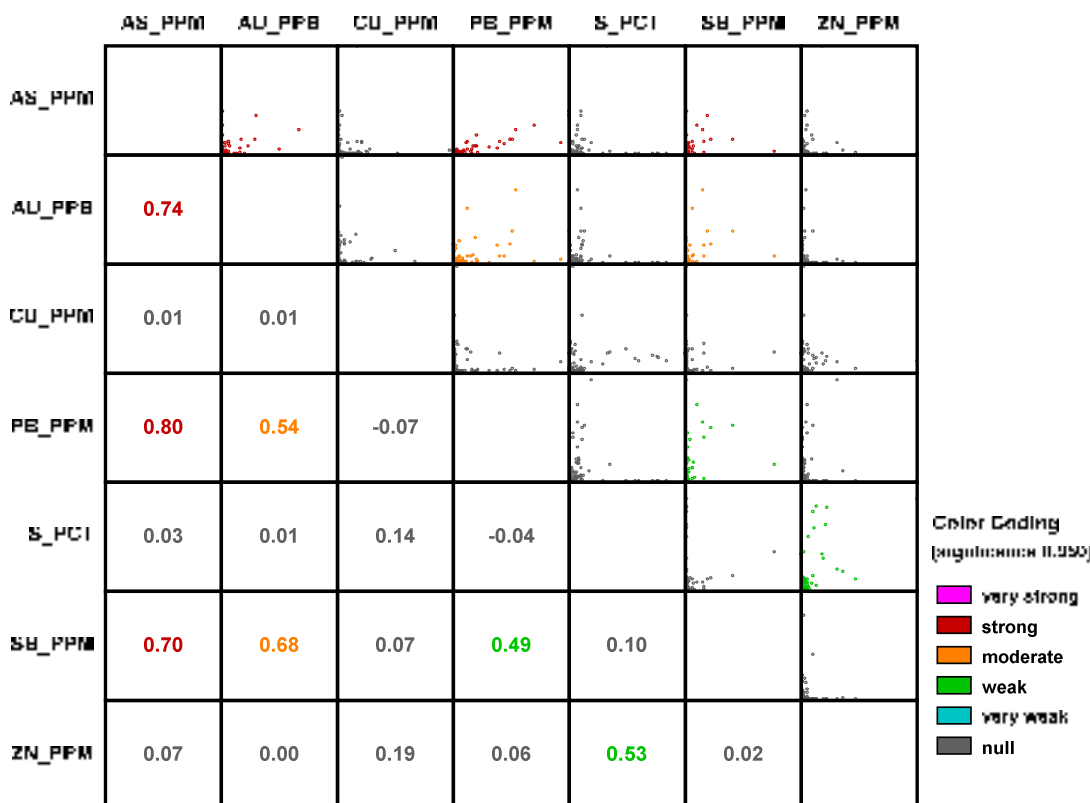


Figura 6 Correlación del Au vs patners HS (Inversa)

Espacialmente puede ser visto esta correlación en las (Figuras 7, 8, 9, 10, 11, 12, 13).

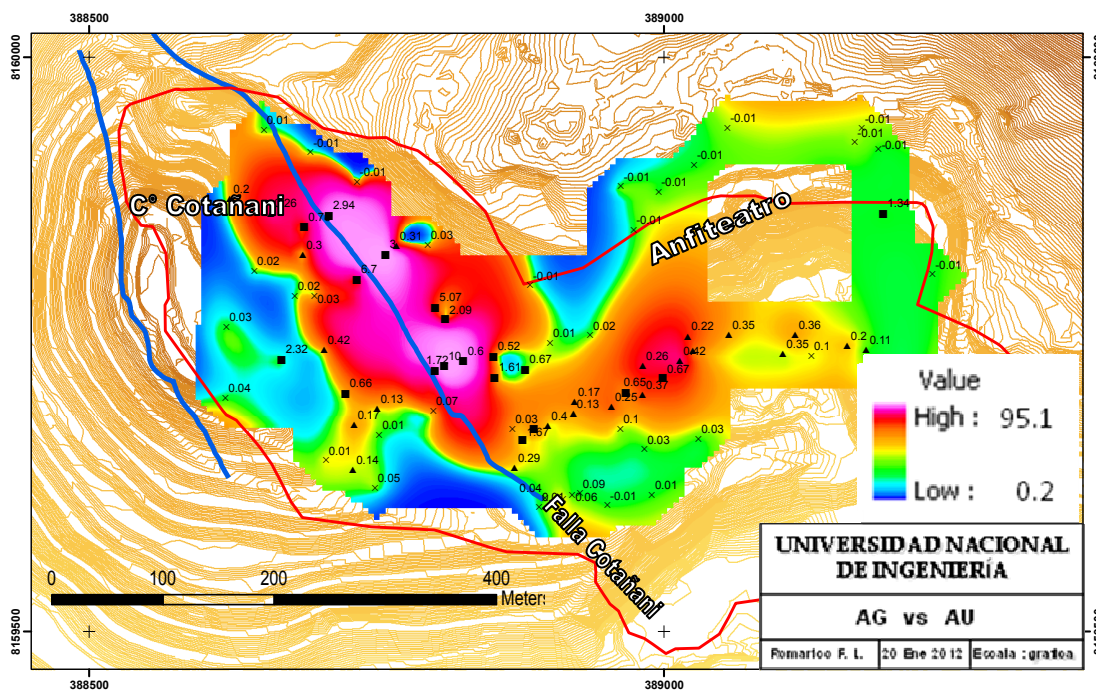


Figura 7 Au (ppm) sobre Anomalia de Ag (ppm)

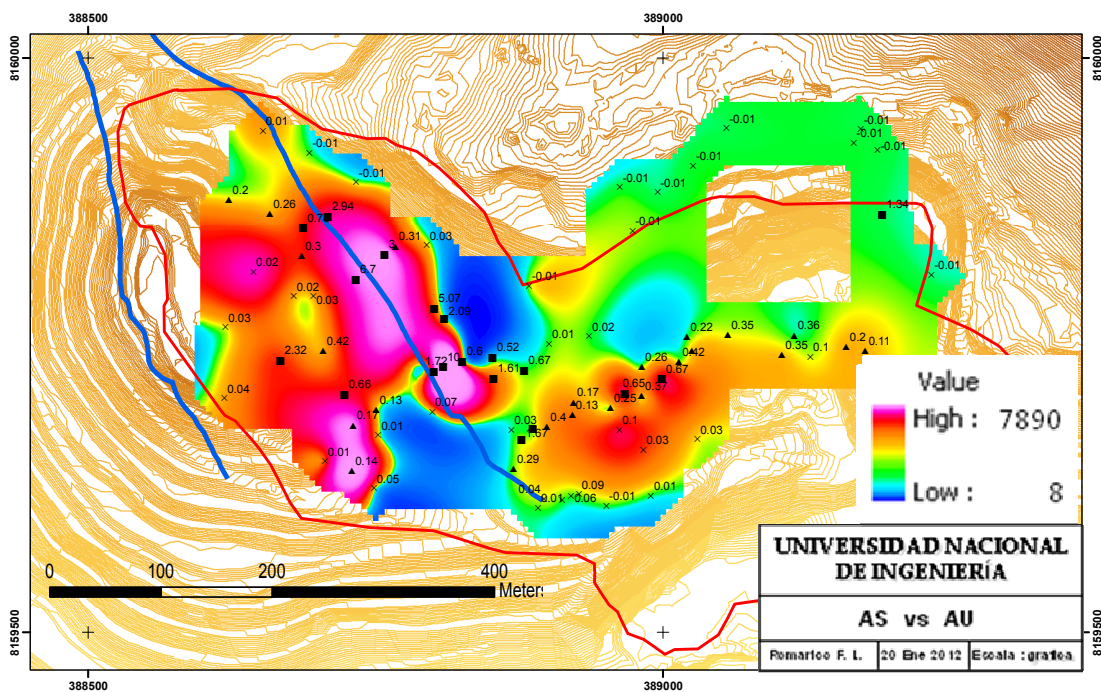


Figura 8 Au (ppm) sobre Anomalia de As (ppm)

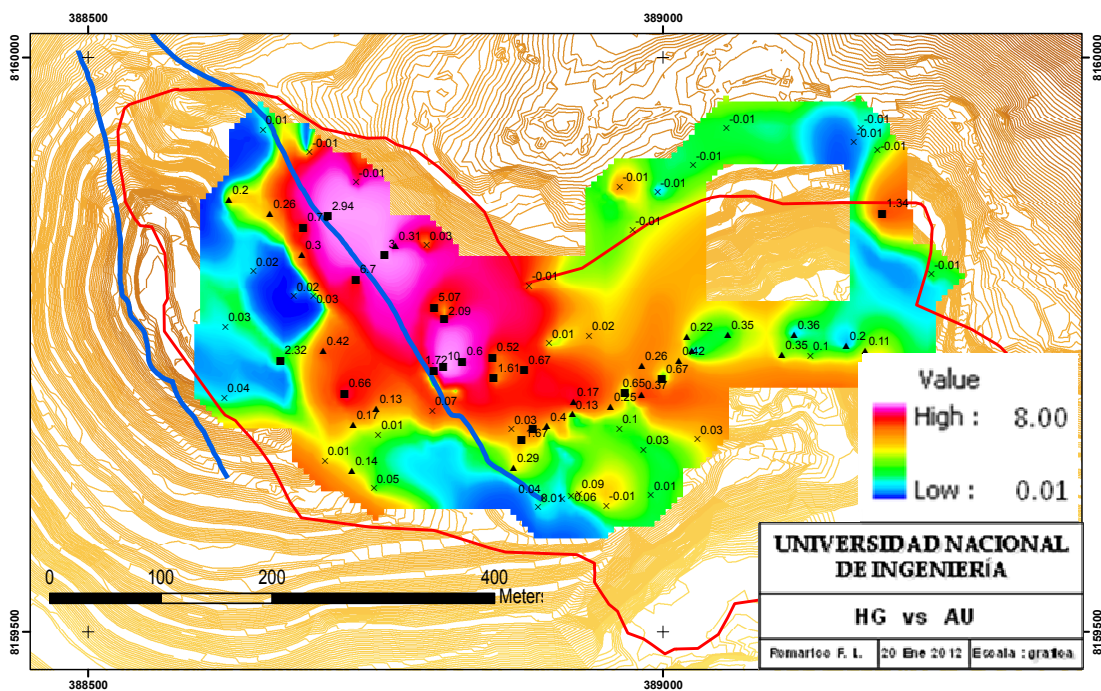


Figura 9 Au (ppm) sobre Anomalia de Hg (ppm)

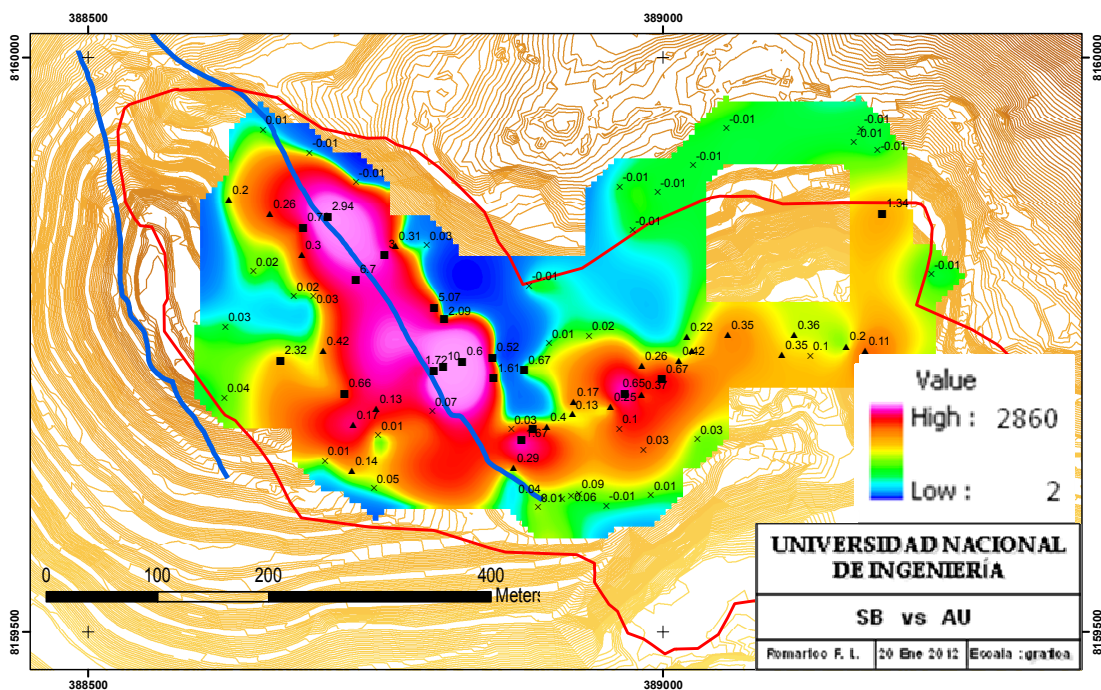


Figura 10 Au (ppm) sobre Anomalia de Sb (ppm)

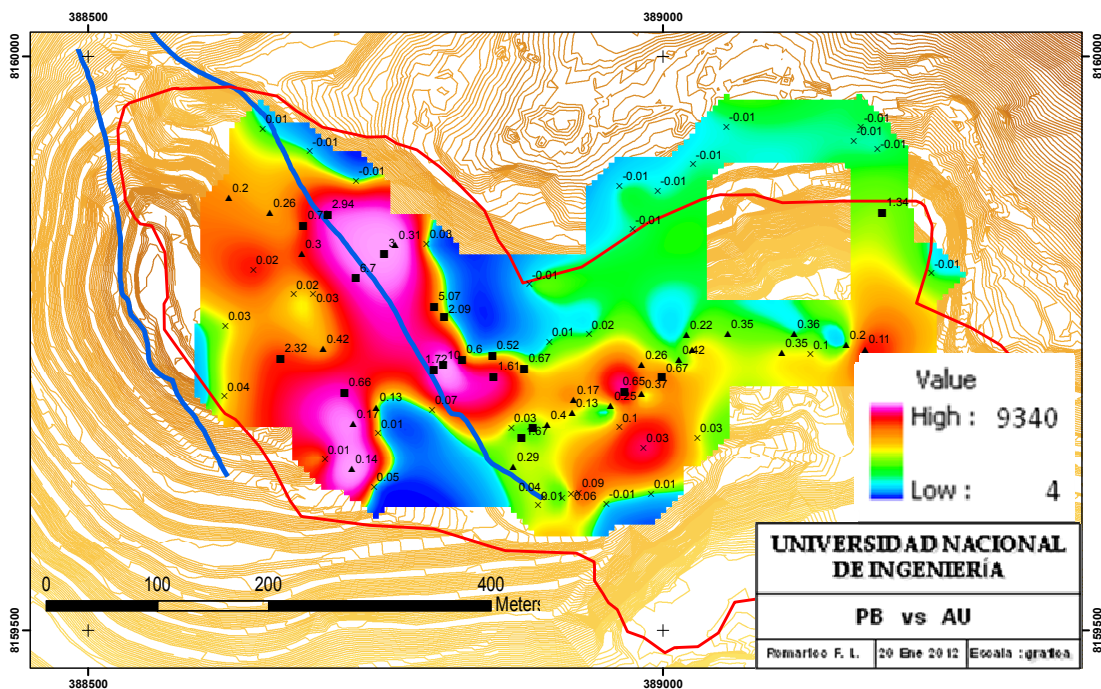


Figura 11 Au (ppm) sobre Anomalia de Pb (ppm)

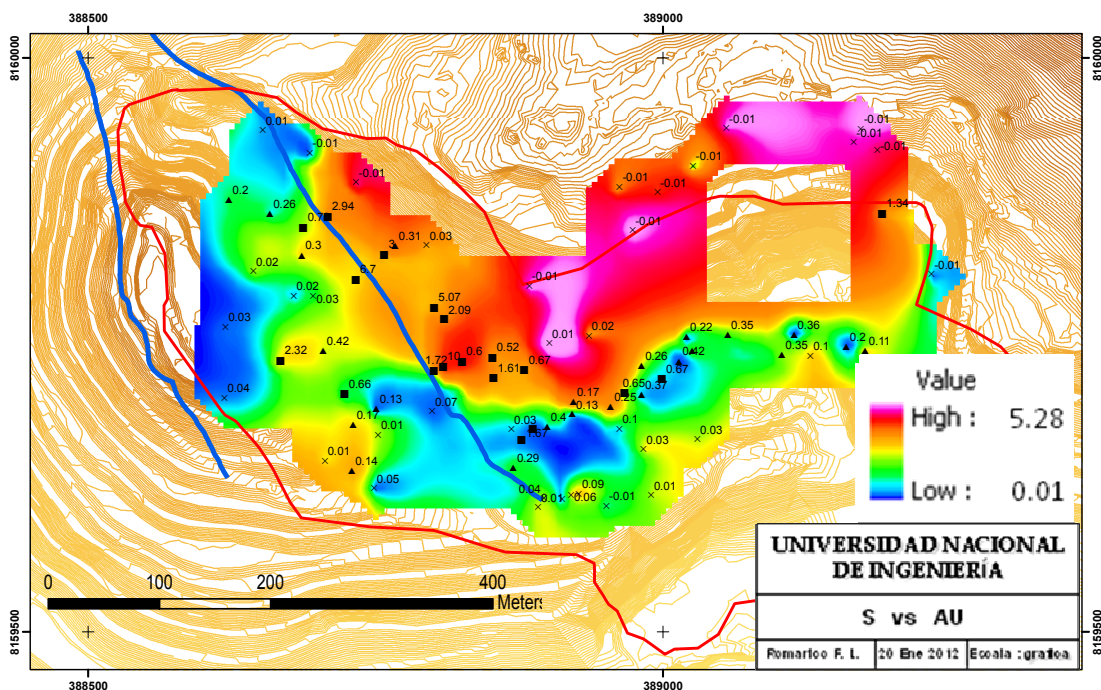


Figura 12 Au (ppm) sobre Anomalia de S (%)

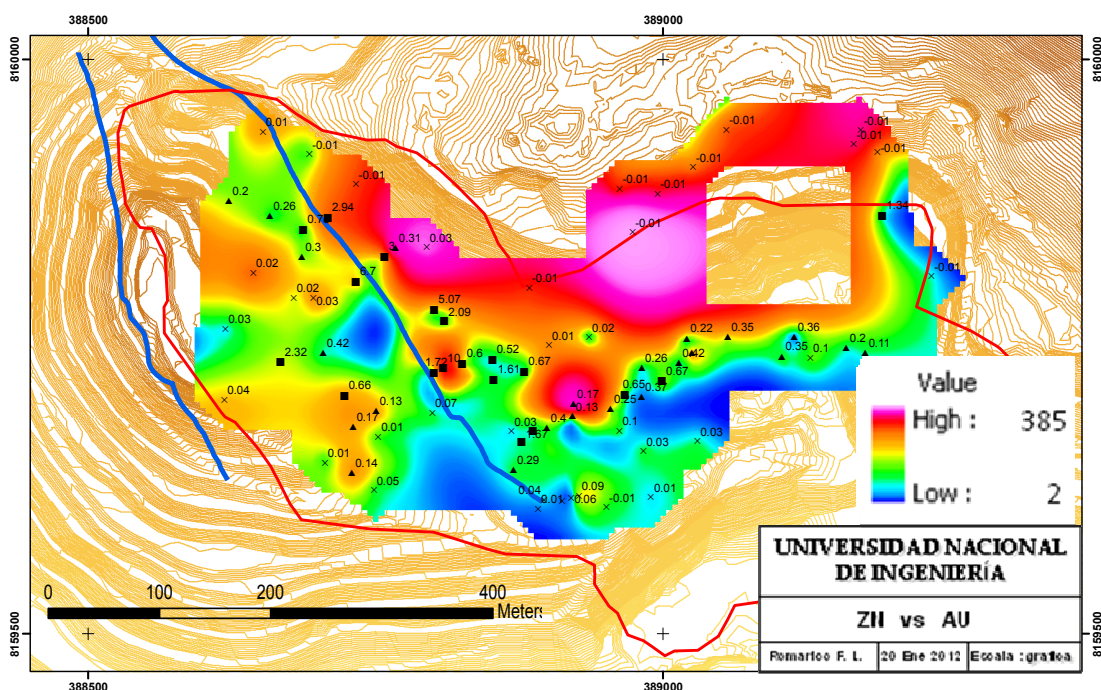


Figura 13 Au (ppm) sobre Anomalia de Zn (ppm)

2.6. Alteración Hidrotermal

En tiempos pretéritos hubo influencia de fluidos hidratados y mineralizantes, a altas temperaturas, que circularon por zonas de debilidad en las rocas pre-existentes, ocasionando en ellas alteraciones químicas así como precipitaciones y/o relleno en las fracturas de minerales metálicos o no metálicos, en forma de venas, diques o diseminados como es el caso del proyecto Santa Rosa, a estos cambios químicos y físicos se les llama alteración hidrotermal.⁶

El zoneamiento vertical en el tajo Santa Rosa es como siguiente:

Opalo

Este presente en la cima del centro hidrotermal con intenso grado de fracturamiento y en ocasiones brechado, el ópalo en Cotañani es de color gris con matices que llegan a negro, es común encontrar gradaciones a sílice amorfa y calcedonia con cristales de azufre relleno cavidades.

Los óxidos de Fierro tapizan los planos de fractura llegando a un contenido de 2%.

Sílice Masiva

Representado mayormente por sílice gris muy fracturada y ocasionalmente brechada, se nota la ocurrencia de pirita masiva diseminada y hematita relleno cavidades y cubriendo los planos de fractura.

⁶ Hedenquist, J. W., 2002b. Tucari (Aruntani) high-sulfidation epithermal gold deposit, Puno

Las texturas de lixiviación son muy escasas y cuando ocurren se observan pequeños cristales de cuarzo hialino a manera de drusas.

Cuanto más fracturada y oxidada se encuentra la sílice masiva los valores con Oro se incrementan

Sílice Residual

Constituido por sílice oquerosa y sílice granular compacta o terrosa pulverulenta, hay al presencia de escorodita y cristales de baritina en la sílice porosa, la presencia de óxidos de fierro es limitada, presentándose en el campo una coloración verdosa con tonos amarillo pálido.

Los valores más altos en Oro se concentran en este material constituyendo la reserva más importante del yacimiento.

Los cuerpos de alta ley asociados a la Falla Cotañani también se encuentran en sílice residual pero muestran alto contenido en Arcillas, óxidos de Fierro y ocasionalmente alunita.

Sílice Alunita

Es la alteración con mayor ocurrencia en el campo, evidenciándose en los trabajos de mapeo geológico del sector Cotañani.

Se observa una sílice microgranular compacta de color gris con patinas de escoradita, además de jarosita y goetita relleno cavidades o tapizando fracturas.

La alunita es muy fina que puede ser de color blanco o transparente, las texturas de lixiviación son comunes siendo la roca porosa (Sílice Oquerosa);

Sílice opalina gris fuertemente fracturada con diseminaciones de pirita, la alunita se encuentra cristalizada relleno de fracturas y cavidades;

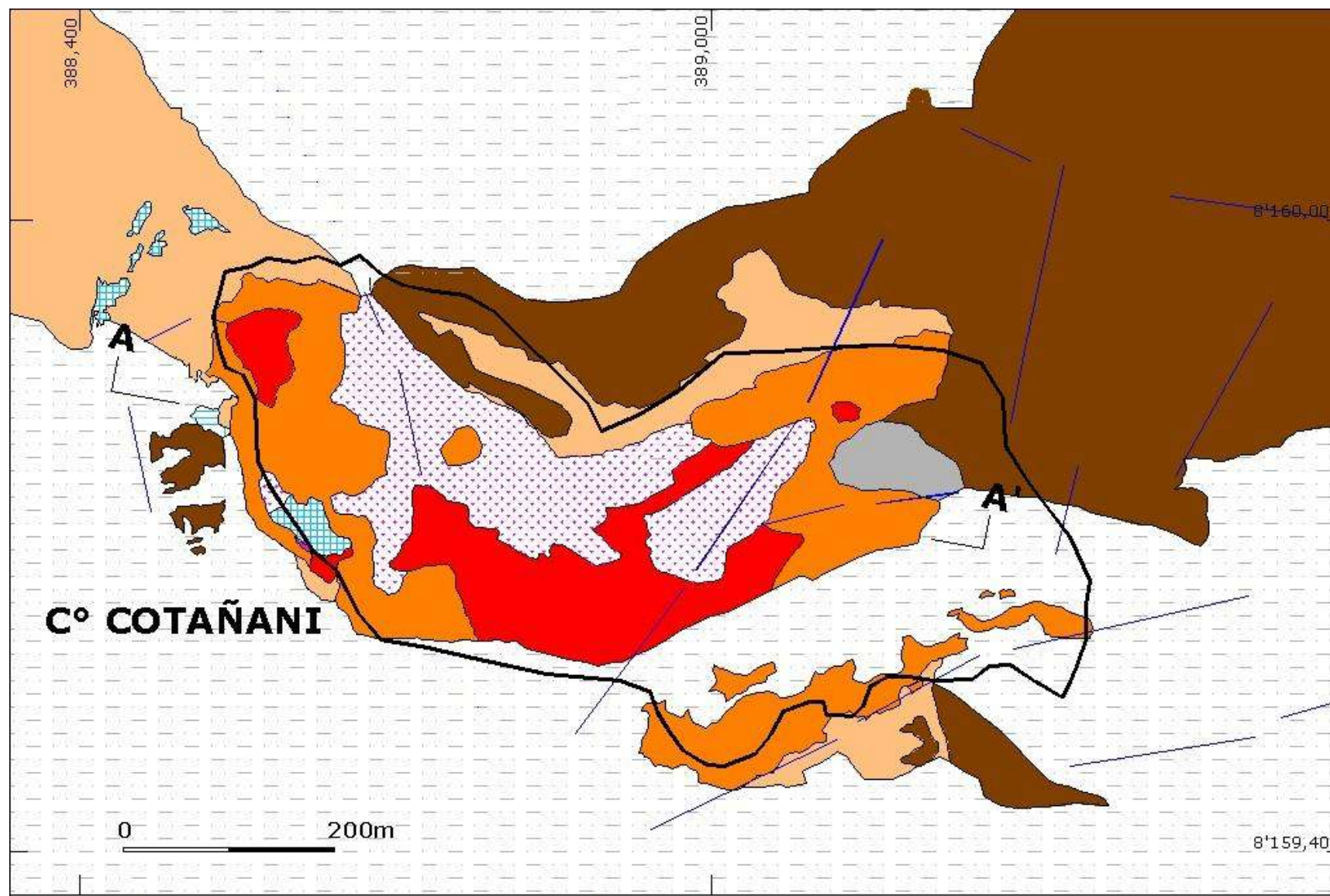
Se pudo observar también una sílice gris granular compacta con presencia de cavidades por lixiviación, la alunita por lo general es de color rosada, pulverulenta y rellena fracturas.

Sílice Arcilla

Aparece con mayor persistencia sobre los límites Este y Sur del Tajo, es común el intercrecimiento sílice arcilla en la matriz de la roca con argilización de los cristales (caolinización).

Arcilla Pirita-Gris

Se da con mayor frecuencia en la zona del “anfiteatro” al Este del centro hidrotermal Cotañani, la roca es una andesita de textura porfirítica con diseminaciones de pirita masiva y finamente cristalizada.



LEGENDA

-  Silice opalina
-  Silice granular – vuggy
-  Silice masiva
-  Argilico avanzado
-  Argilico
-  Roca fresca
-  Coluvial
-  Falla
-  Taladro

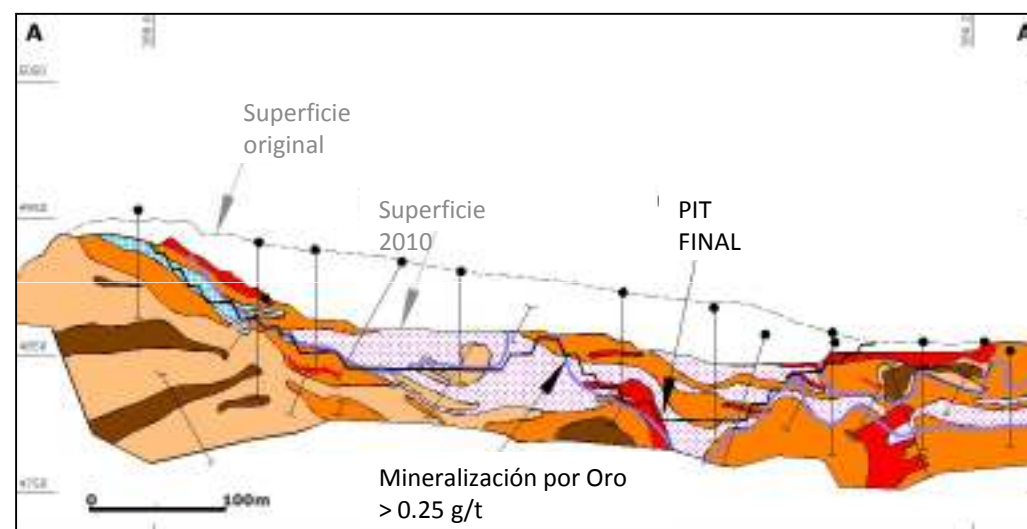


Figura 14 Alteración (vista en planta y sección AA')

CAPITULO III: METODOLOGIA

3.1. Formación de la base de datos de los taladros y validación

Se procedió a formar una base de datos con la Información de 167 taladros con el siguiente contenido:

Por cada taladro se tiene un registro COLLAR con la información de:

- Código de identificación
- Coordenadas norte, este y cota, con estación total
- Azimut - Inclinación del taladro (no cuenta con survey por profundidad)
- Metros perforados por taladro

Un registro por muestra ASSAY – ALT con los siguientes campos.

- Código de identificación
- Número de secuencia
- Profundidad de la muestra (From – To)
- Ley de Oro (g/t)
- Código de Alteración.

La Validación de los datos Collar y Assay-Alt se realizo usando los logueos originales y los reportes del laboratorio encontrándose que se habían eliminado los valores por debajo del límite de detección o en su defecto se habían reemplazado por el valor absoluto de la mitad de dicho valor.

Además se ha ingresado con un valor -1 los tramos que carecen de muestreo geoquímico, esto es para llevar un control y un mejor procesamiento con los software a usar.

3.2. Análisis Exploratorio de Datos

En esta parte mediante herramientas de estadística simples, estudiaremos la cantidad, calidad y ubicación de los datos disponibles para analizar una variable regionalizada.

Una breve estadística sobre las tramos de alteración muestra lo siguiente: Se puede observar que lo que más se ha interceptado en las perforaciones diamantinas es la Sílice Alunita con un 33.4 % seguida por Sílice Arcilla con 12.7%, etc de los 17,995.65 m. perforados.

TIPO DE ALTERACION	Alteración	Metros	%
ARGILICO AVANZADO	SA	6,011.73	33.40%
SILICE ARCILLA	SC	2,292.00	12.70%
SILICE GRANULAR	SG	2,747.47	15.30%
SILICE MASIVA	SM	1,978.45	11.00%
ROCA FRESCA	RF	1,864.07	10.40%
SILICE OQUEROSA	SV	76.45	0.40%
ARGILICO	C	1,753.93	9.70%
ARGILICO ARCILLA	SAC	336.45	1.90%
COBERTURA	COB	71.4	0.40%
PROPILITICO	PRO	146.85	0.80%
OPALO	OPAL	93.4	0.50%
		623.45	3.50%
Total		17,995.65	

Tabla 4 Tipos de Alteración y metraje acumulado

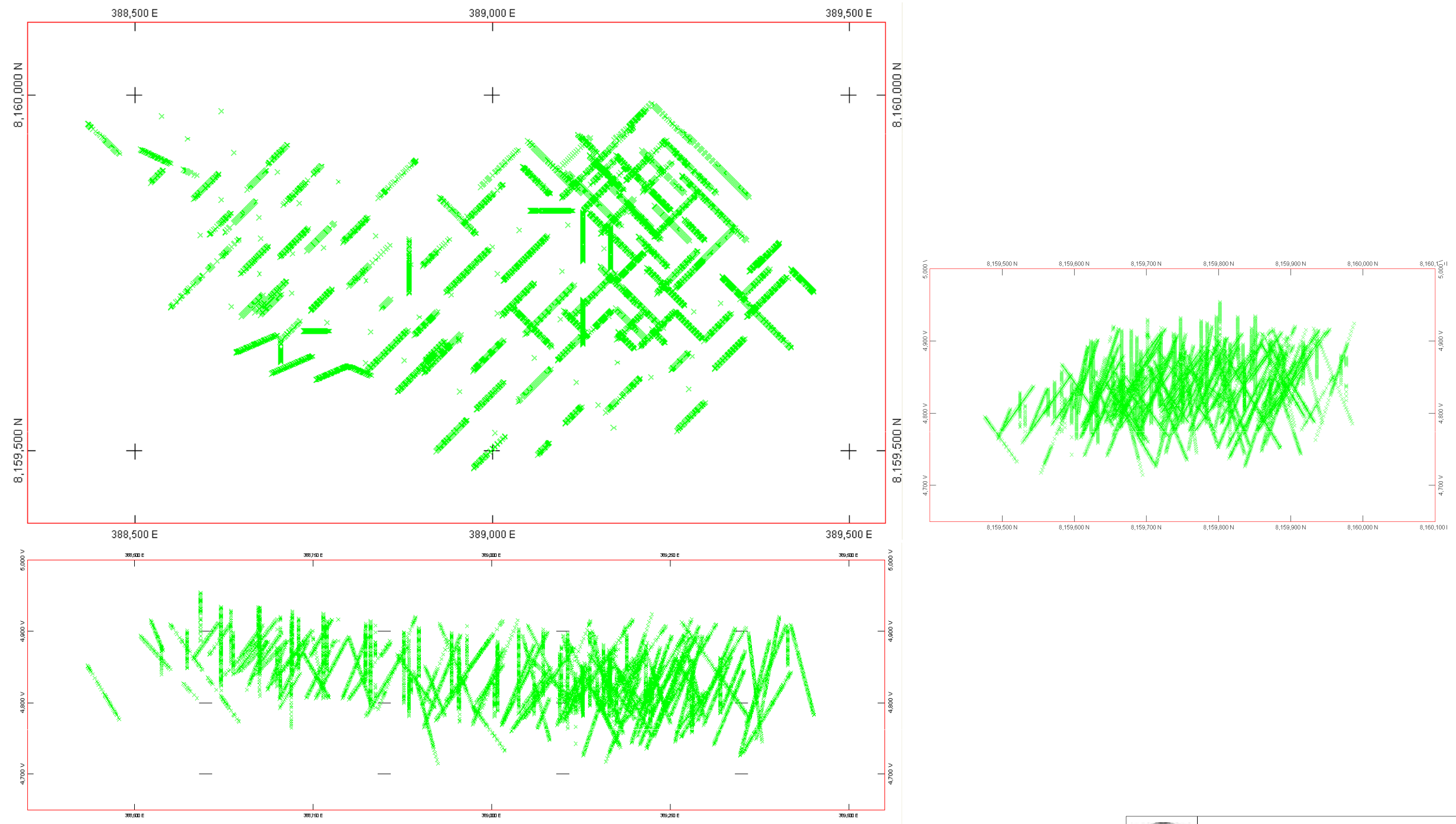



Figura 15 Ubicación de las muestras de Perforación (Planta, Sección E-W y Sección N-S)

	UNIVERSIDAD NACIONAL DE INGENIERÍA FACULTAD DE INGENIERÍA GEOLÓGICA MINERA Y METALÚRGICA		
	UBICACIÓN DE LAS MUESTRAS DE PERFORACION		
Autor : Romarico F. L.	Fecha : 20 Ene 2012	Escala: grafica	

Se ha muestreado y enviado a analizar, los taladros con alteración hidrotermal, los tramos de roca fresca no se han analizado.

Numero de Taladros	167		
Metros Perforados	17,995.65		
Metros Analizados	15,875.40		
Número Total de Ensayes	10,089		
Estadísticas	Ley de Corte	# Ensayes	Promedio
	0	5,805	0.073
	0.1	1,851	0.203
	0.2	683	0.343
	0.3	371	0.493
	0.4	258	0.623
	0.5	1,121	2.190

Tabla 5 Información de Ensayes

A partir de la Información de los taladros se procedió a construir compósitos por bancos para 6 distintos espesores: 4m, 6m, 8m 10m, 12m y 14m donde los histogramas experimentales del Au son presentados en Log normal por el sesgo natural de este elemento y de manera grafica como se muestra por cada tipo de alteración que en adelante se le llamara DOMINIO.

Comparando la media aritmética, la desviación típica y el coeficiente de variación de los 6 compósitos por banco; se ha seleccionado al compósito de 6m como el soporte idóneo ya que se observa menos variabilidad conservando los rasgos de concentración por Dominio (ver Figura 16 y Figura 17).

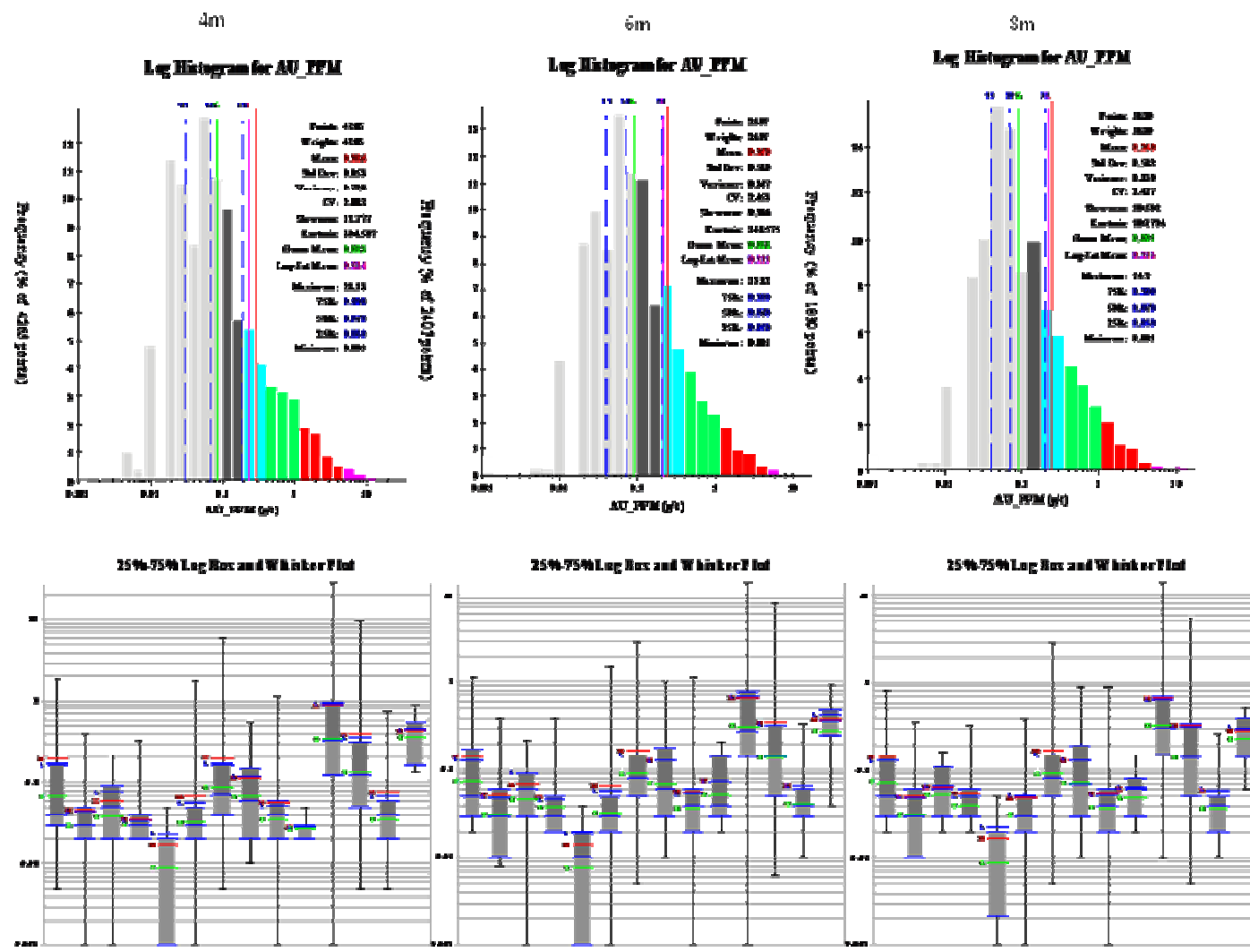


Figura 16 Compósitos por banco de 4m, 6m y 8m

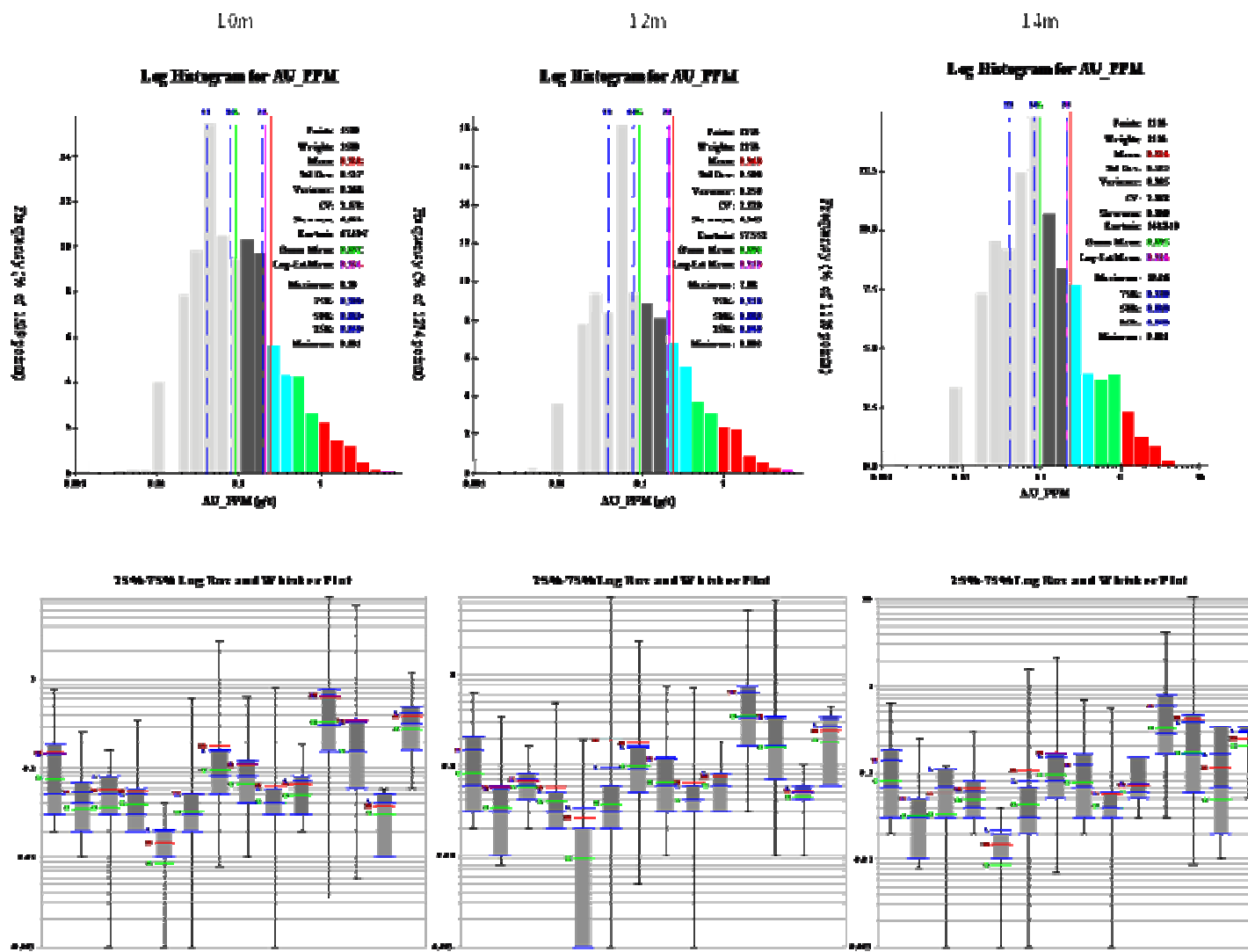


Figura 17 Compósitos por banco de 10m, 12m y 14m

Seleccionado el compósito de 6m se obtiene los siguientes valores:

DOMINIO	# Compósito	Min	Max	Promedio	Desv. Stad.
SA	915	0.01	2.86	0.169	0.290
SC	272	0.00	1.14	0.060	0.098
SG	411	0.00	13.82	0.662	1.087
SM	288	0.01	7.96	0.353	0.741
RF	143	0.00	1.55	0.070	0.173
SV	12	0.04	0.91	0.375	0.240
C	113	0.01	0.41	0.055	0.069
SAC	47	0.02	1.00	0.130	0.167
COB	19	0.00	0.23	0.070	0.055
PRO	24	0.00	0.04	0.015	0.012
SOP	15	0.01	0.34	0.071	0.085
Total	2259				

Tabla 6 Estadística por Tipo de Dominio en los compósitos de 6 metros

Las Tablas siguientes muestran información de la estadística de los compósitos de oro con leyes mayores o iguales a 0.1 g/t.

DOMINIO	# Compósito	Min	Max	Promedio	Desv. Stad.
SA	386	0.10	2.86	0.324	0.397
SC	23	0.10	1.14	0.245	0.270
SG	350	0.10	13.82	0.767	1.147
SM	170	0.10	7.96	0.562	0.908
RF	14	0.11	1.55	0.380	0.458
SV	10	0.18	0.91	0.439	0.208
C	13	0.10	0.41	0.203	0.115
SAC	18	0.11	1.00	0.267	0.205
COB	4	0.11	0.23	0.152	0.056
SOP	2	0.17	0.34	0.258	0.120
Total	990				

Tabla 7 Estadística por Tipo de Dominio en los compósitos de 6 metros para una ley de corte de 0.1 g/t

Se realizo a modo de comprobación que el mejor soporte era el compuesto seleccionado realizando un declustering con 3 tamaños de celdas diferentes y se observo que el coeficiente de variación que nos permite estudiar la variabilidad del Au es muy similar al del compuesto de 6m. (ver Figura 18 y Figura 19)

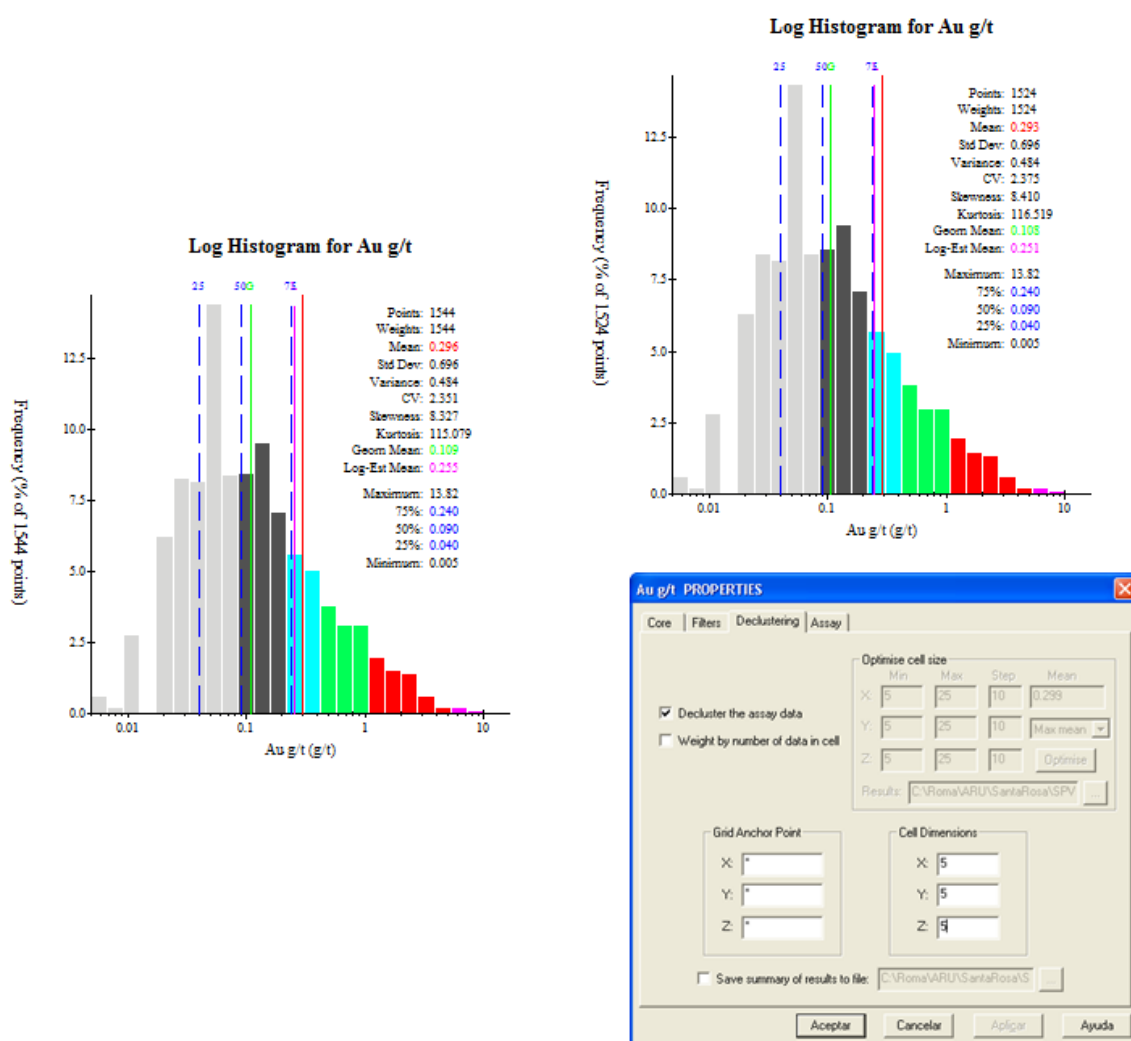


Figura 18 Desagrupamiento comparación: Banco 6m vs bloques de 5x5x5

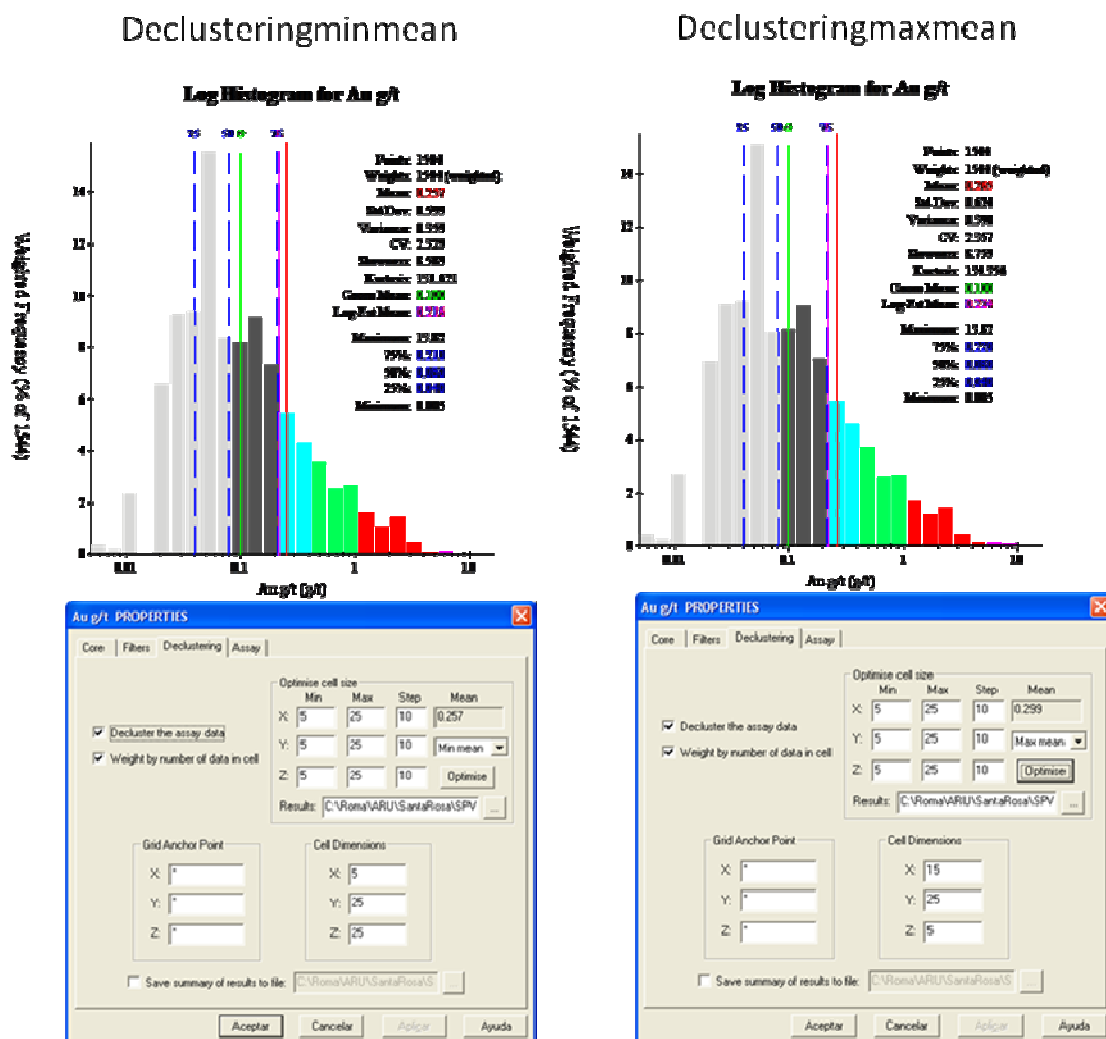


Figura 19 Desagrupamiento comparación: bloques de 5x25x25, bloques 15x25x5

Se ha dividido en dos zonas el Argilico Avanzado según criterio geológico. Tienen mayor ley este material cerca al a falla Cotañani que podría haber influenciado en la Sílice Alunita de menor ley del Este.

3.3. Análisis Estructural mediante variogramas

El comportamiento espacial de variables regionalizadas se analizara mediante variogramas experimentales, que es una herramienta útil para cuantificar el

comportamiento de la mineralización y con ello estimar las leyes de los bloques del depósito, para ello se tomo los siguientes parámetros:

Tolerancia angular (in/off plane angle) = 22.5

Paso = $h = 20\text{m}$

Tolerancia = 10m (50% h)

Band width (in/off plane band with) = 15 m

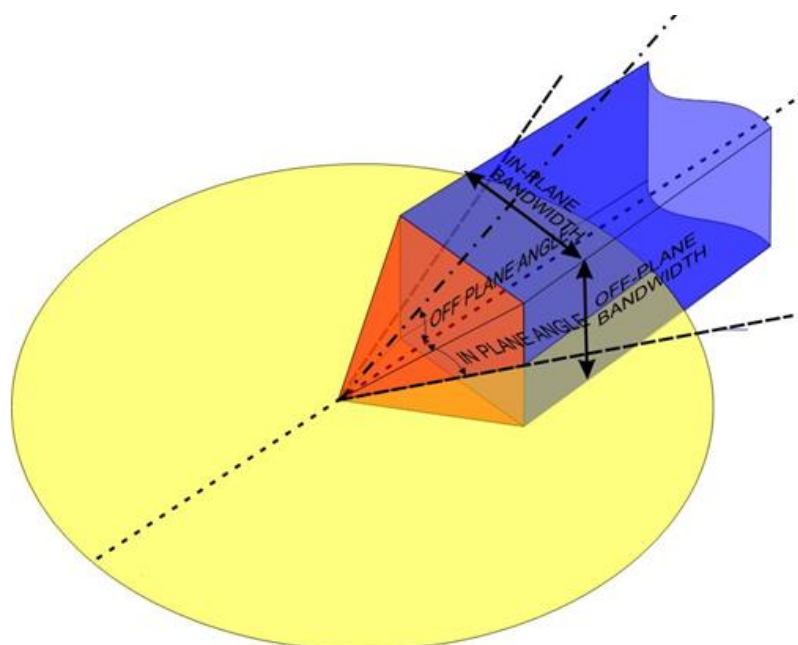


Figura 20 Parámetros para el cálculo del variograma experimental

La selección de la dirección mas apropiada, está en función de la dirección de la mejor continuidad y la variabilidad de la mineralización. Para ello se revisa todos los variogramas dentro de 180 grados, no es alrededor de 360 grados pues los variogramas no son vectores donde si importa el sentido de la dirección, es decir es simétrico. (Ver figuras 21, 22 y 23).

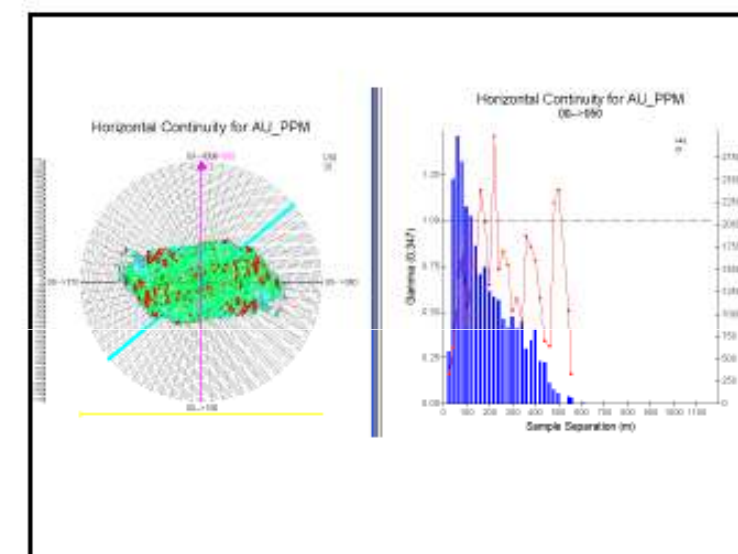
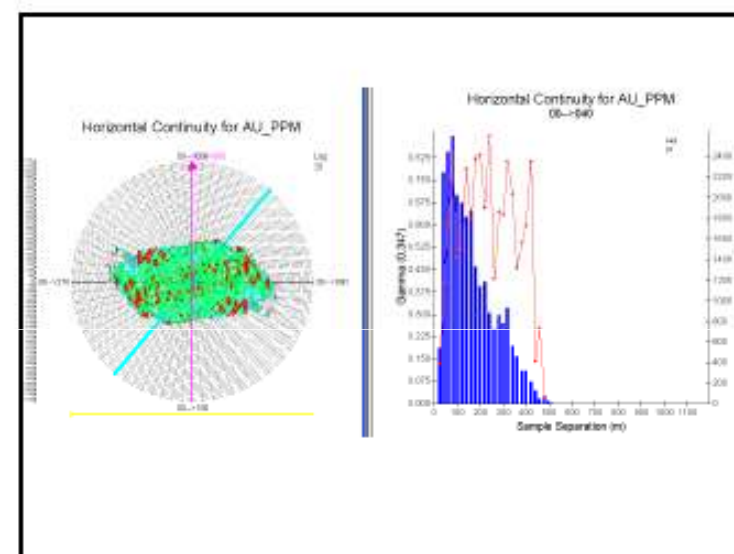
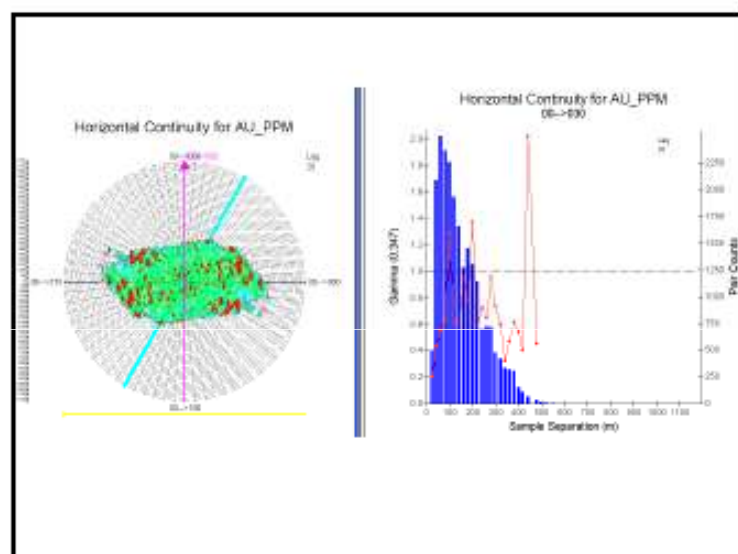
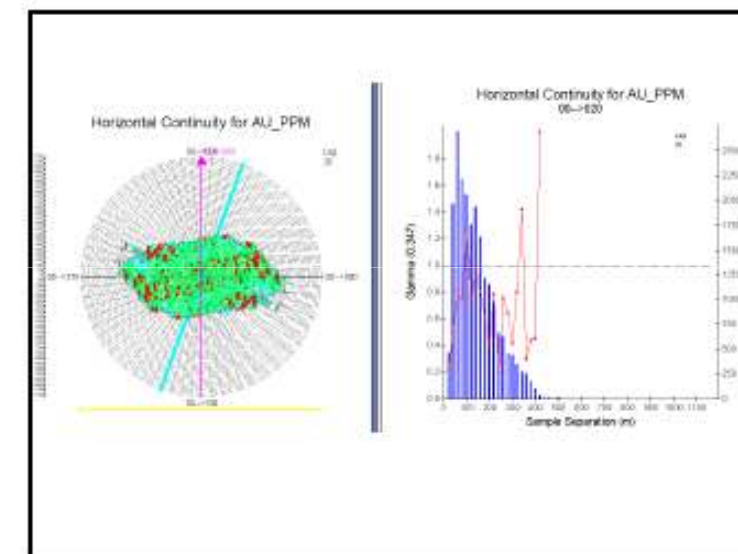
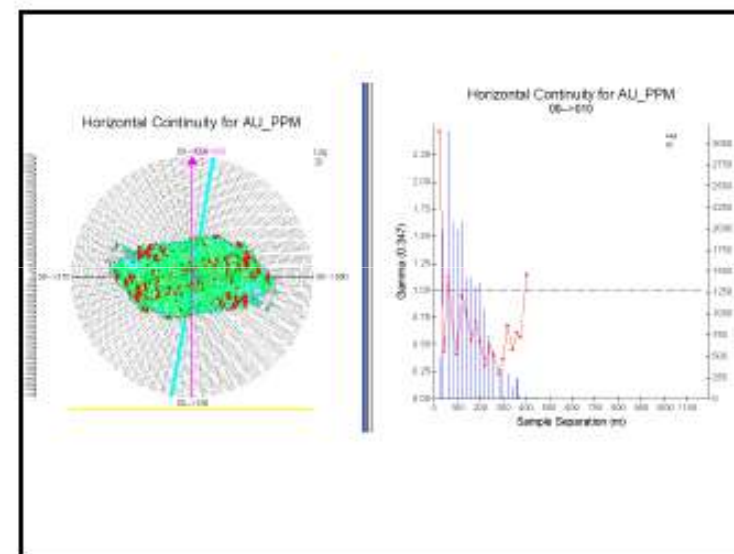
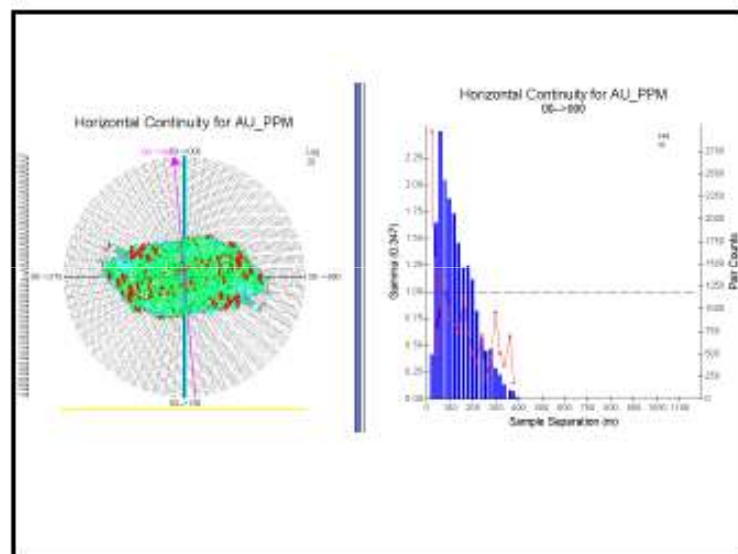


Figura 21 Variogramas experimentales (0°, 10°, 20°, 30°, 40° y 50°)

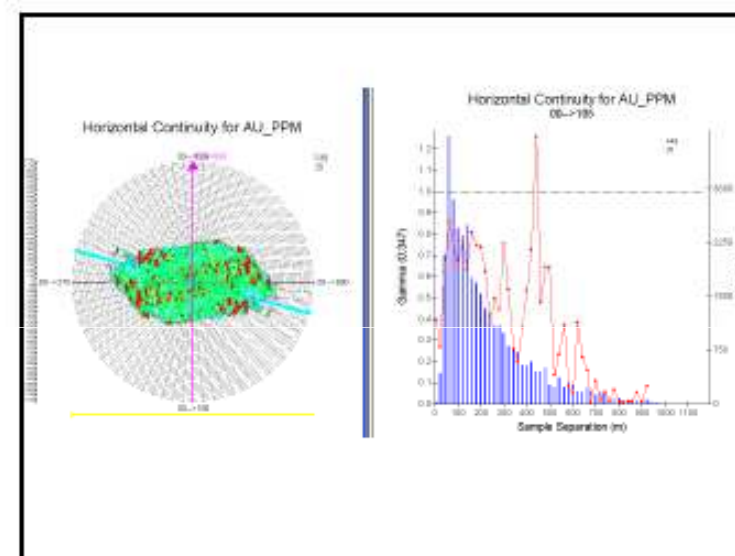
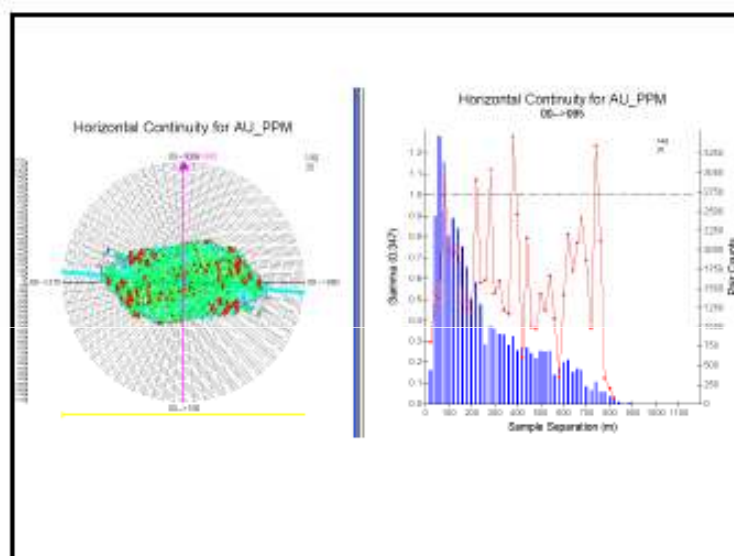
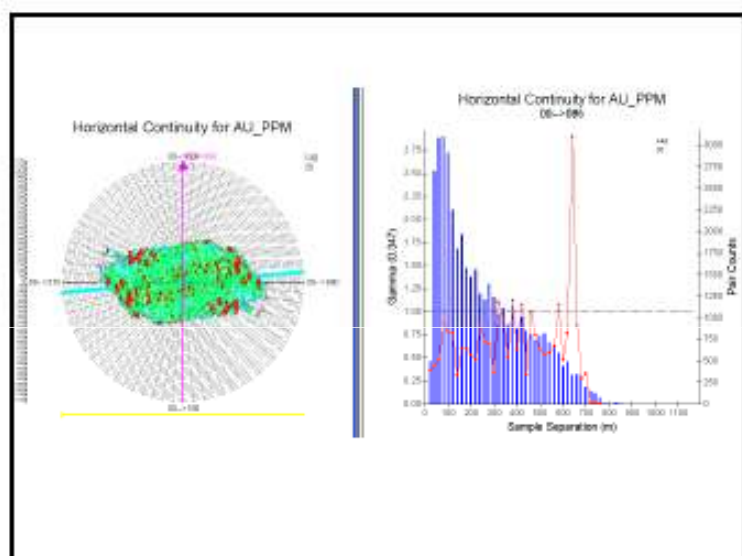
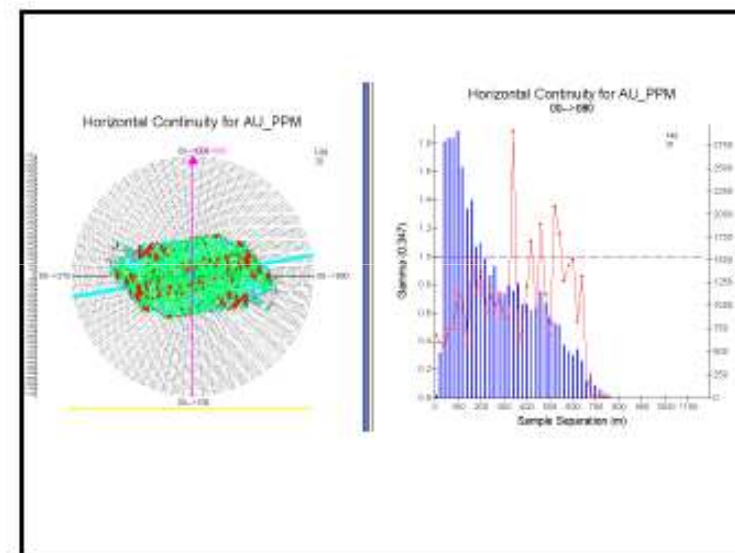
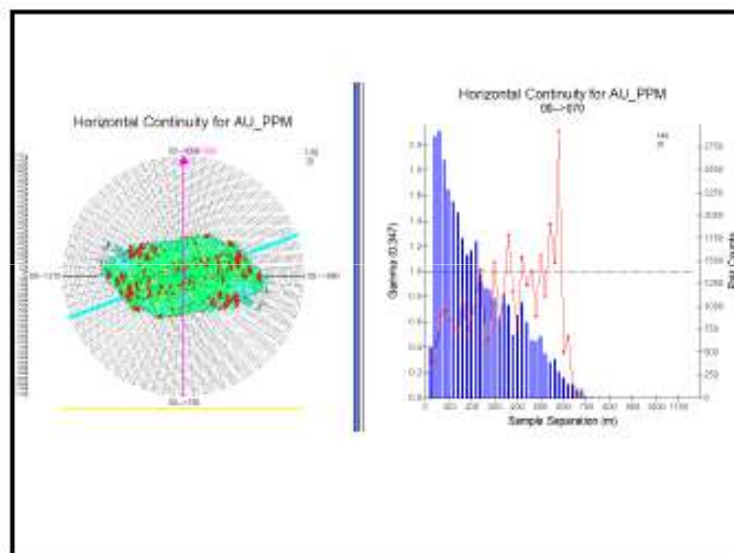
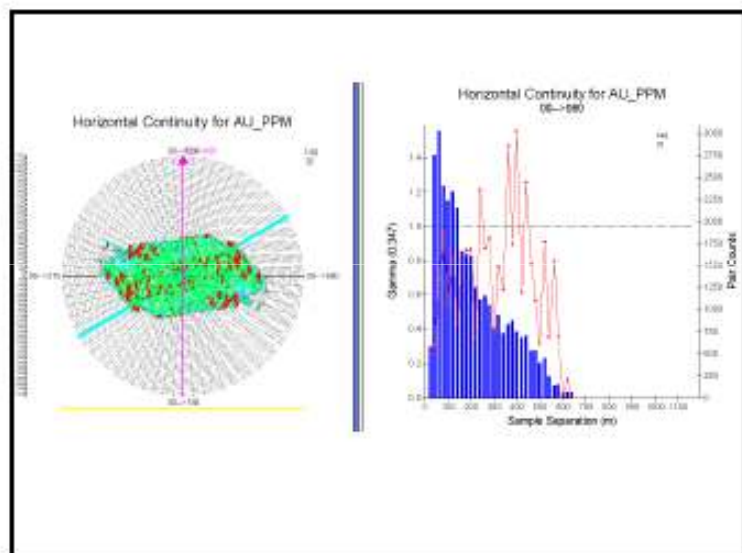


Figura 22 Variogramas experimentales (60°, 70°, 80°, 90°, 100° y 110°)

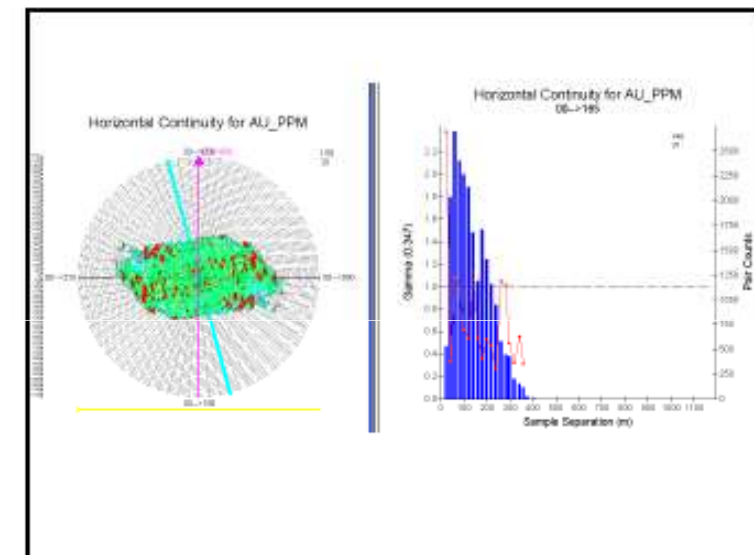
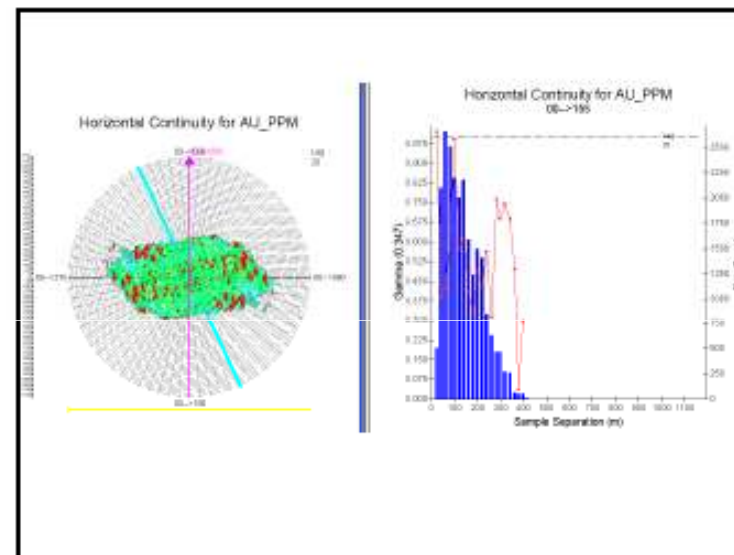
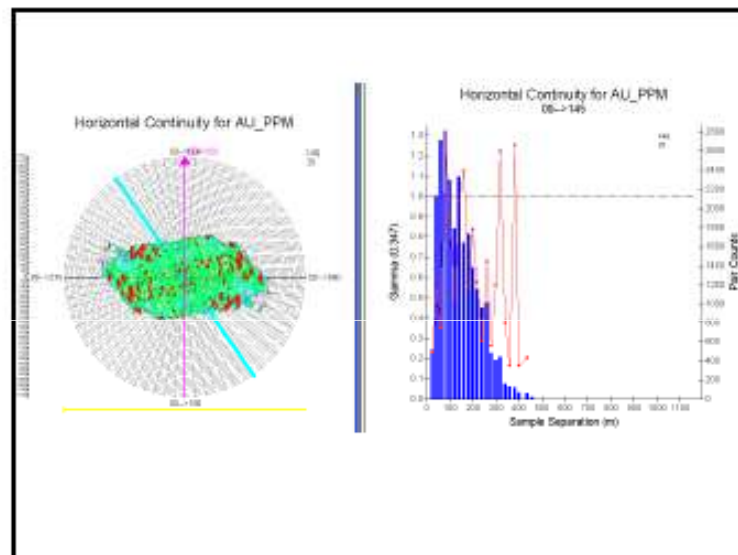
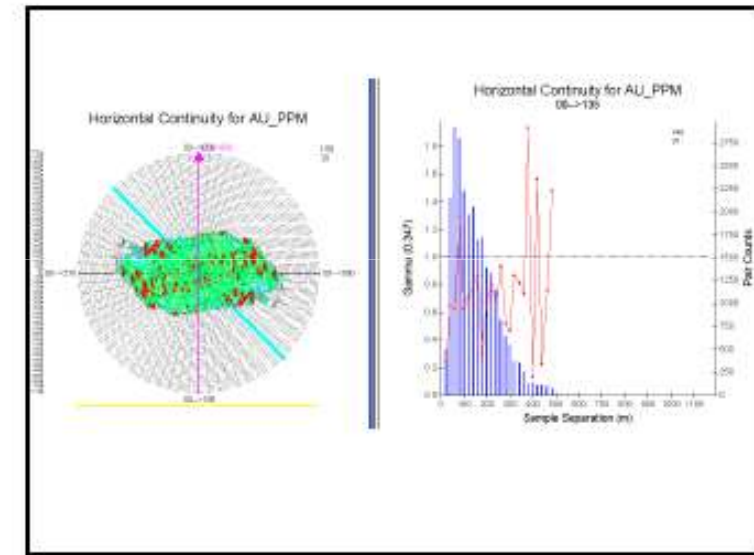
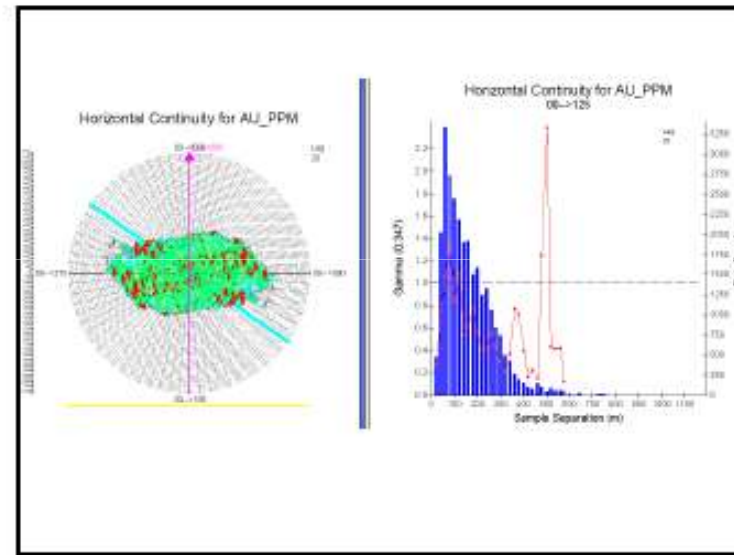
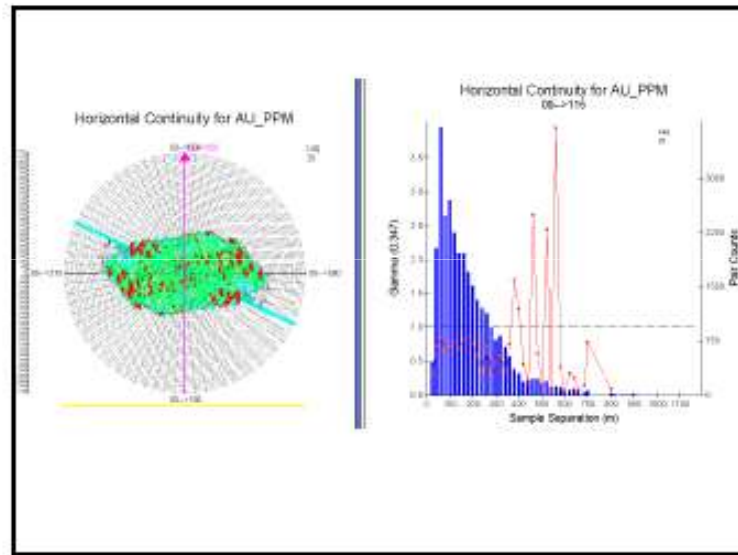


Figura 23 Variogramas experimentales (120°, 130°, 140°, 150°, 160° y 170°)

CAPITULO IV: MODELO DE BLOQUES

4.1. Delimitación geométrica del yacimiento

Para elegir el ancho, el largo del bloque, se ha considerado la aureola de influencia dado por los variogramas. En el caso de la altura del bloque se ha considerado el contorno mineralizado de las secciones geológicas. La altura elegida es de 6 metros y permite representar las Irregularidades del contorno mineralizado.

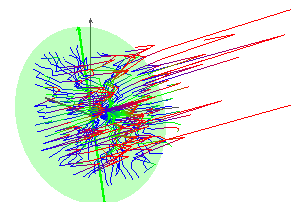
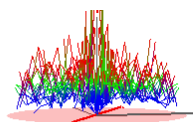
Teniendo en cuenta los planos de ubicación de los taladros, los planos geológicos, las secciones geológicas y considerando las dimensiones del bloque unitario de estimación, se procedió a considerar las dimensiones del yacimiento contenido dentro de un paralelepípedo con las siguientes dimensiones.

TIPO DE MINERALIZACION	# <i>Compósitos</i>	Min	Max
ESTE	388,000	389,500	10
NORTE	8,159,000	8,160,500	10
ELEVACION	4,740	4,980	6

Tabla 8 Dimensiones del modelo de bloques

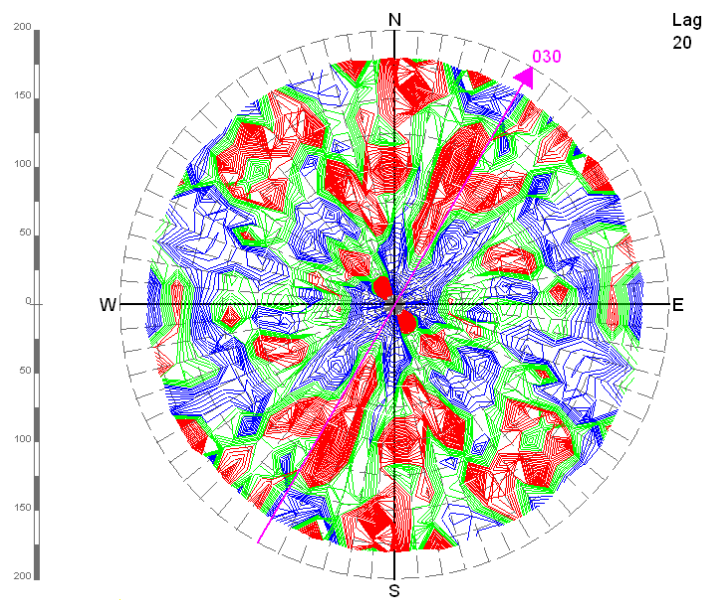
4.2. Definición de la aureola de estimación

Se ha procedido a inferir los radios de influencia de la aureola de estimación de cada bloque, a partir del comportamiento del variograma del oro en la dirección de los taladros, lo que ha permitido inferir una aureola máxima de estimación de 77.5 metros en la dirección horizontal, lateralmente 55 y 43.5 metros en la dirección vertical.



Horizontal Continuity for AU_PPM

Domain SA



Across-Strike Vertical Continuity for AU_PPM

Domain SA

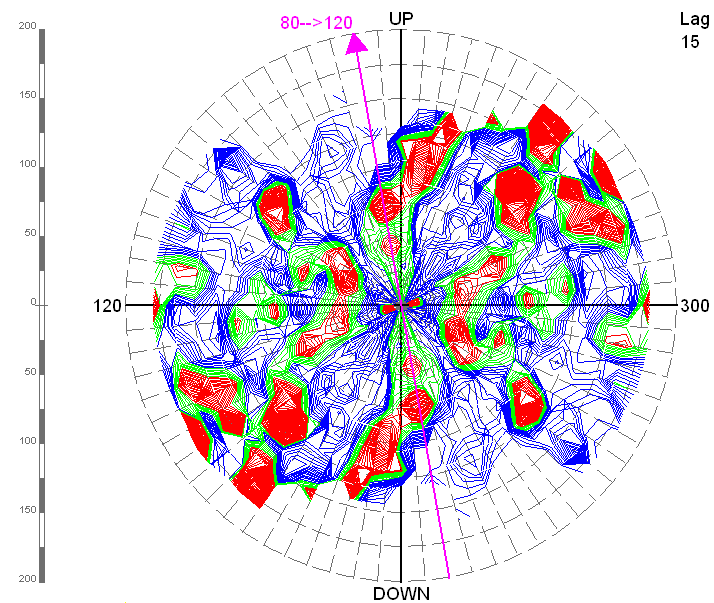


Figura 24 Contornos de Continuidad Horizontal y Vertical

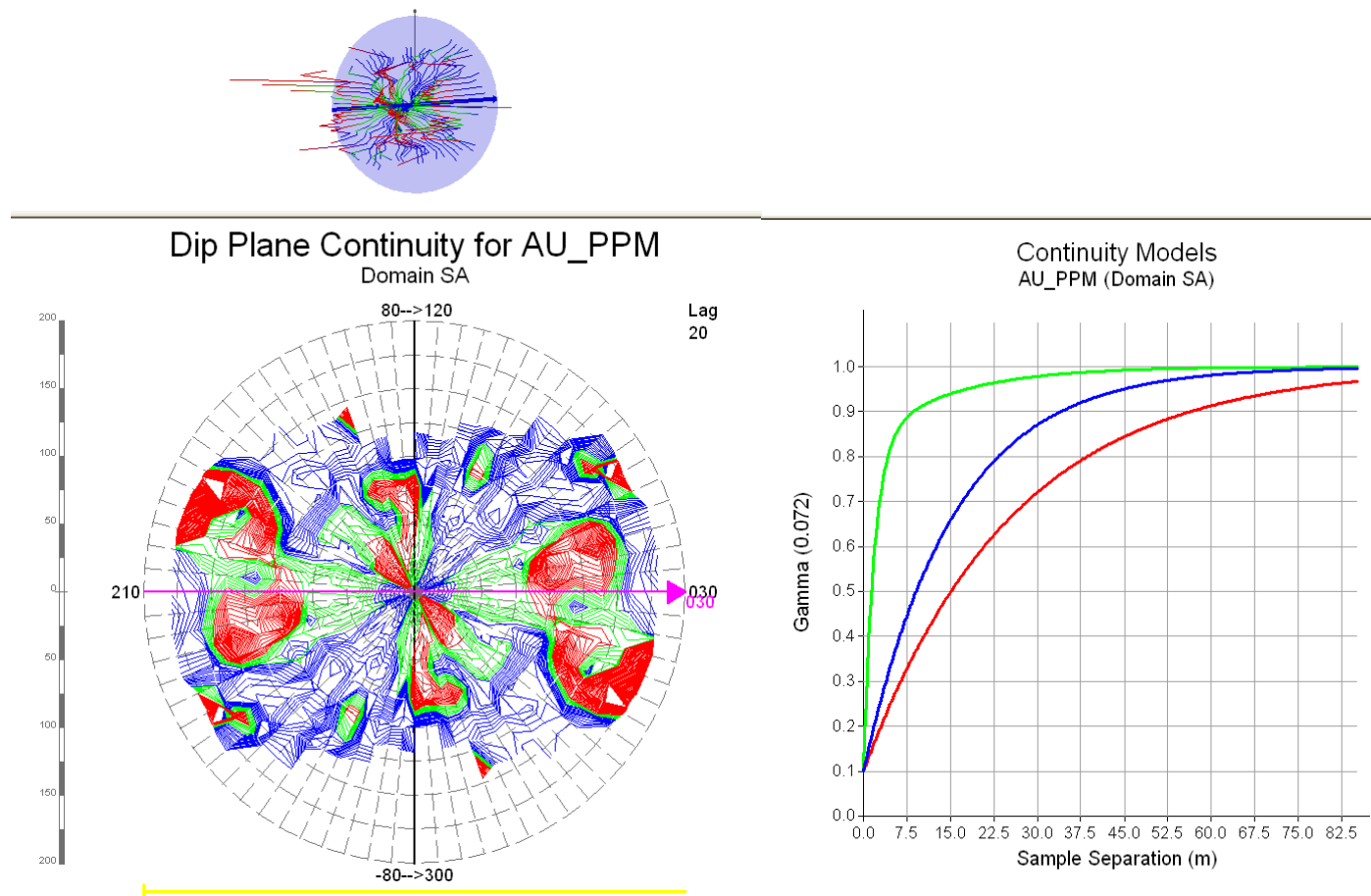


Figura 25 Continuidad en el plano inclinado y Modelos Matemáticos

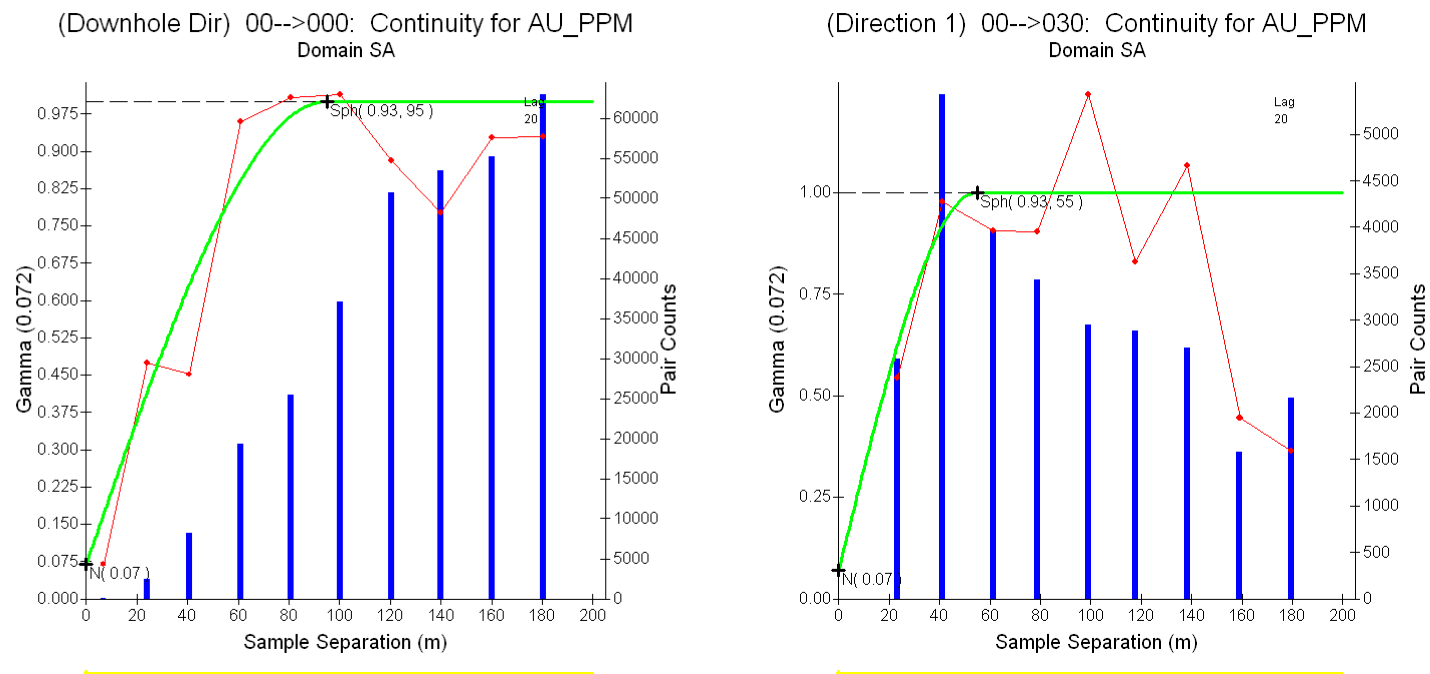


Figura 26 Modelo Matemático omnidireccional y Eje principal

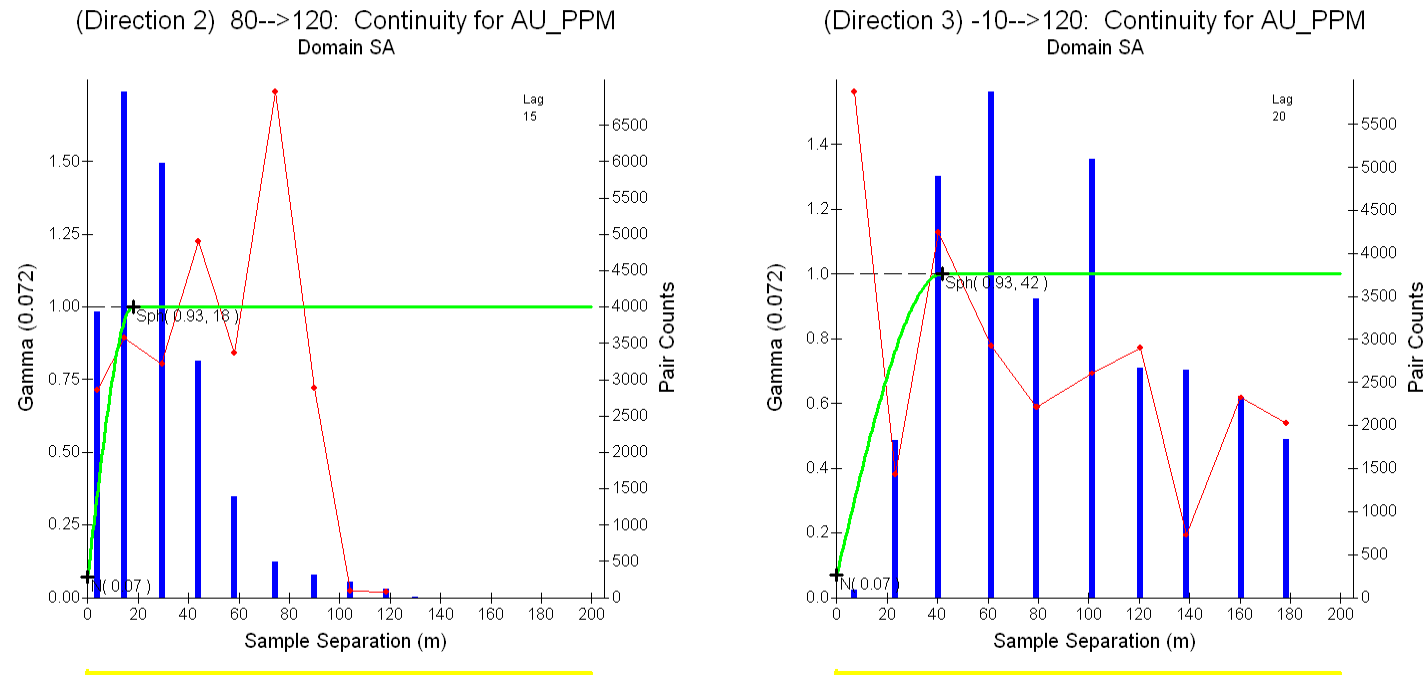


Figura 27 Modelo Matemático Eje Secundario y Eje menor

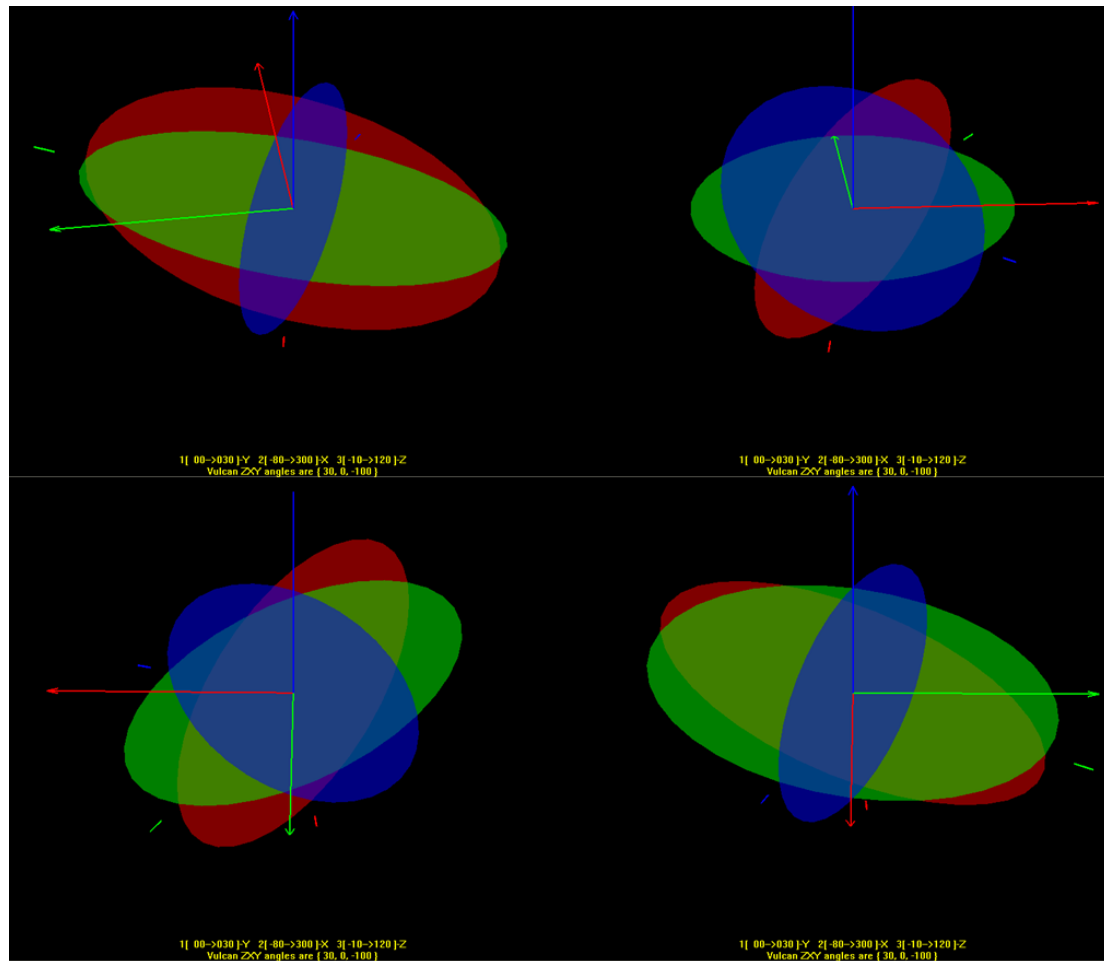


Figura 28 Ejes de Rotación (Eje X girando en sentido horario 90, 180, 270, 360).

CAPITULO V: ESTIMACION DE RECURSOS

Se procedió a estimar la ley de oro de acuerdo a la aureola de estimación y a los parámetros observados en los variogramas experimentales, usando las técnicas geoestadísticas del Kriging ordinario y calculando por cada bloque el grado de confiabilidad de la estimación.

En esta etapa de Modelamiento no se considera parámetros económicos, ni geotécnicos.

Se han hecho variogramas de acuerdo a los diferentes tipos de alteración, la litología no controla la mineralización más si la alteración.

La interpolación de las leyes se realizó se ha hecho siguiendo los siguientes estándares:

- No se ha realizado extracción de los valores anómalos (altos) pues son escasos.
- Interpolación por cuadrantes
- Número mínimo de compósitos de un taladro: 2
- Número máximo de compósitos de un bloque: 16
- Se ha hecho la interpolación usando límites geológicos duros y en algunos casos límite geológico suave. (Silica Masiva con Argilico Avanzado y Silica Residual) (Argilico Avanzado con Silica Residual).
- Se ha utilizado para cada tipo de alteración el valor de densidad de la tabla adjunta.

TIPO DE ALTERACION	SIMBOLO	DENSIDAD
SILICA RESIDUAL	SG	2.00
SILICA MASIVA	SM	2.40
ARGILICO AVANZADO ESTE	SA-E	2.18
ARGILICO	C	2.20
ROCA FRESCA	RF	2.40
OPALO	OPAL	2.40
SILICA ARCILLA	SC	2.44
ARGILICO AVANZADO OESTE	SA-W	2.43

Tabla 9 Densidad (Tm/m3) por tipo de Alteración

5.1. Distribución de los compósitos que participan en el proceso de estimación

Los compósitos a usar son de 6m por banco.

ID	NIVEL	NUMERO	ID	NIVEL	NUMERO
1	4953	2	22	4827	192
2	4947	1	23	4821	180
3	4941	1	24	4815	168
4	4935	3	25	4809	167
5	4929	9	26	4803	152
6	4923	9	27	4797	122
7	4917	18	28	4791	103
8	4911	31	29	4785	86
9	4905	38	30	4779	60
10	4899	64	31	4773	49
11	4893	73	32	4767	28
12	4887	95	33	4761	26
13	4881	109	34	4755	23
14	4875	140	35	4749	20
15	4869	140	36	4743	11
16	4863	135	37	4737	11
17	4857	169	38	4731	6
18	4851	181	39	4725	1
19	4845	171	40	4719	3
20	4839	178	41	4713	1
21	4833	187			3163

Tabla 10 Numero de compósitos de 6m por nivel

5.2. Estimación de las leyes para el modelo de bloques; Kriging Ordinario.

Usando el software Vulcan se procede a la estimación de las leyes de oro para cada bloque unitario, usando la técnica geoestadística del Kriging.

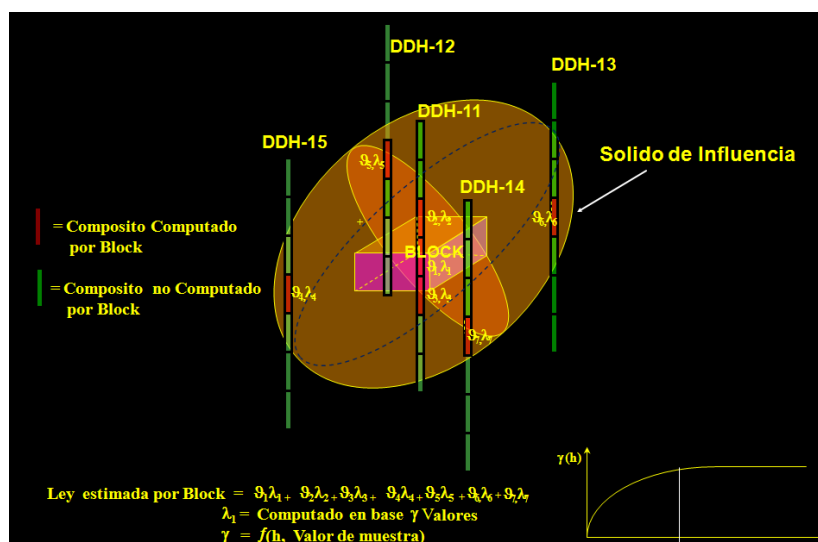


Figura 29 Método de Estimación: Kriging ordinario

En la comparación de las curvas probabilísticas de los composites vs los bloques estimados, se aprecia cierta correspondencia.

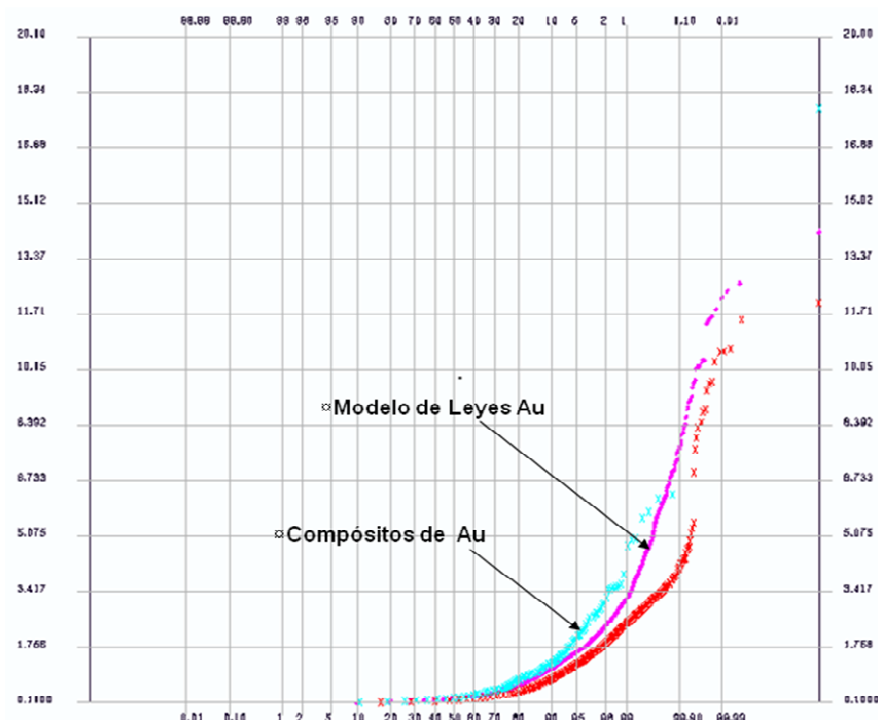


Figura 30 Curvas de Probabilidad: compuesto y bloques estimados

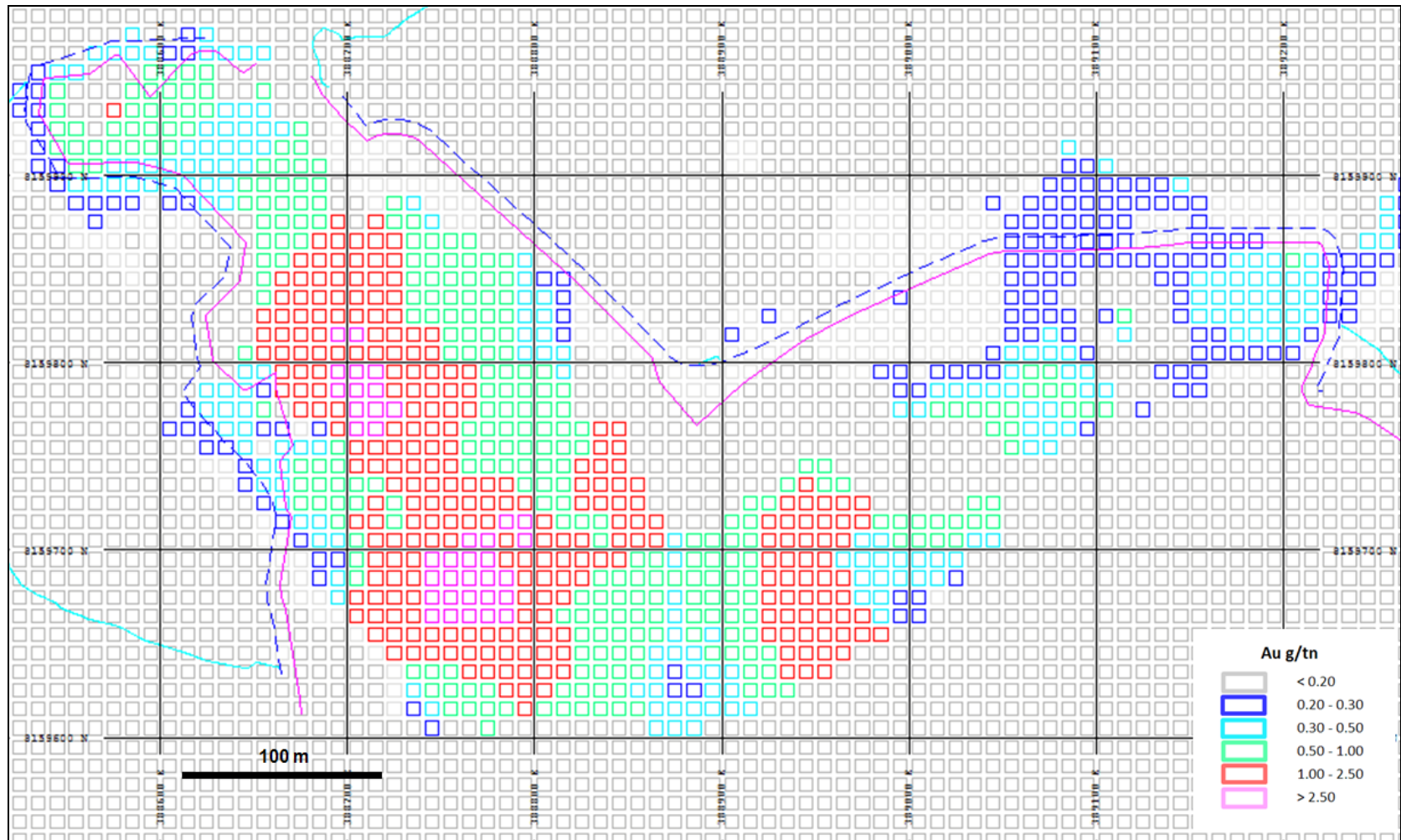


Figura 31 Modelo de Leyes por Au g/tn: Nivel 4887

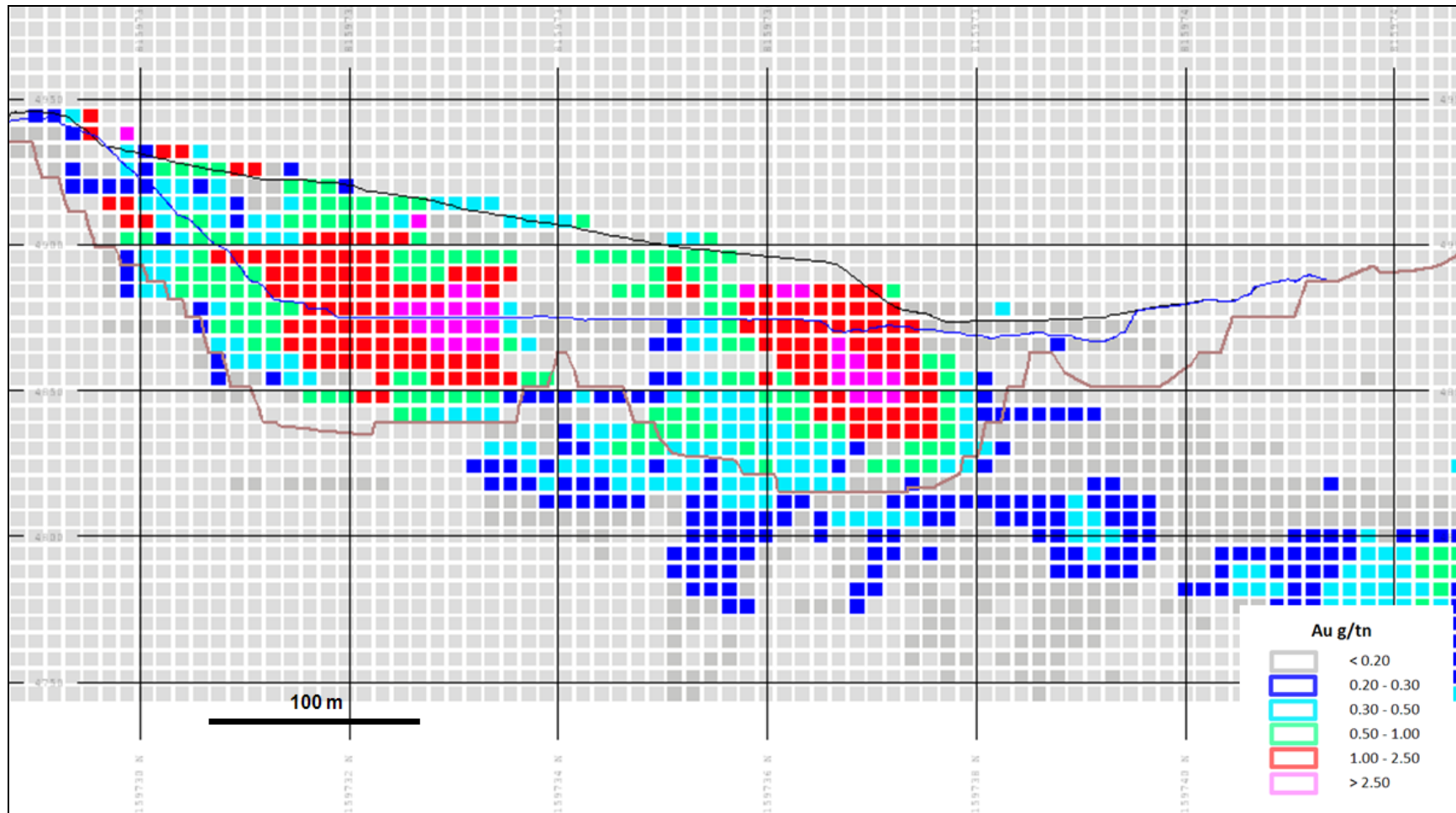


Figura 32 Modelo de Leyes por Au g/tn: Sección E-W (mirando al norte)

5.3. Tablas y curvas Tonelaje – Ley de Corte en función de la ley estimada

A partir de los resultados del proceso de estimación de leyes y confiabilidad de cada uno de los bloques, se ha procedido a construir las tablas y curvas Tonelaje-Ley de Corte tomando como referencia al Au y usando un incremento de ley de corte de 0.1g/t Au, las cuales se presentan a continuación.

Ley de Corte (\$/oz)	Tons (x1000)	Ley (gr/tm)	Cont. Fino (Oz)
0.00	26,284	0.393	332,190
0.05	26,145	0.391	328,703
0.10	26,198	0.392	330,037
0.15	19,978	0.474	304,595
0.20	15,261	0.567	278,326
0.25	11,891	0.664	253,762
0.30	9,620	0.753	232,909
0.35	8,095	0.845	219,975
0.40	6,943	0.919	205,154
0.45	6,019	0.990	191,578
0.50	5,169	1.068	177,479
0.55	4,547	1.152	168,332
0.60	4,003	1.225	157,607
0.65	3,513	1.322	149,297
0.70	3,107	1.398	139,629
0.75	2,792	1.463	131,318
0.80	2,481	1.556	124,115
0.85	2,190	1.656	116,631
0.90	1,995	1.743	111,815
0.95	1,810	1.827	106,347
1.00	1,662	1.897	101,362

Tabla 11 Recursos: Probado y Probable

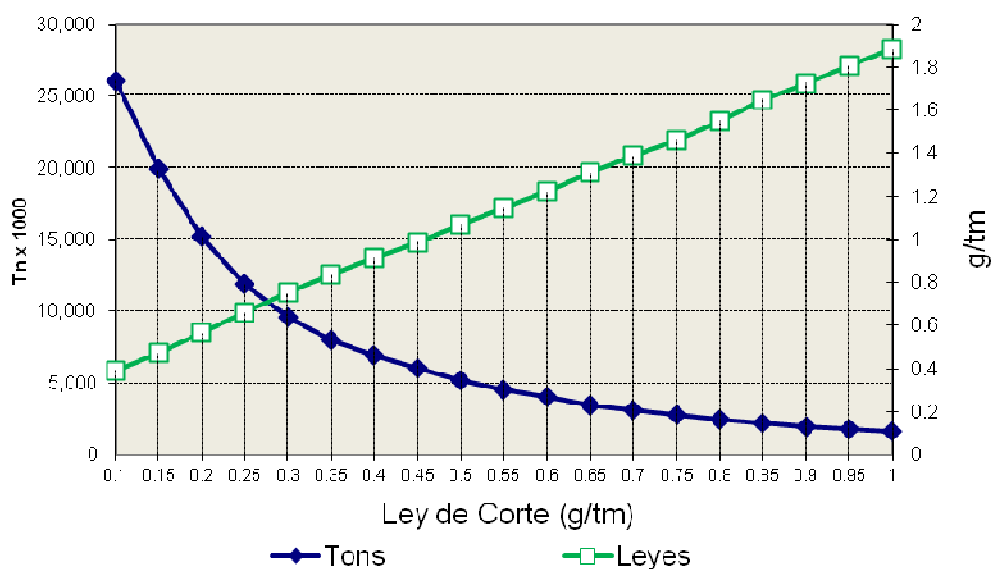


Figura 33 Gráfico cruzado tonELAJE-ley vs Ley de Corte

Para categorizar se hace uso de la hipótesis de distribución gaussiana en función de los porcentajes de confiabilidad.

Categorización	Tons (x1000)	Ley (gr/tm)	Cont.Fino (Oz)
Probado > 80.6%	19,990	0.48	310,361
Probable 80.6% a 72.0%	2,756	0.12	10,694
Posible < 72.0%	3,537	0.10	11,111

Tabla 12 Categorización de los Recursos

5.4. Comprobación manual de la estimación de un bloque unitario

En esta parte busca comprobar el valor estimado de un bloque unitario por el software, para ello se selecciono las muestras compósito en el entorno del bloque a comprobar.

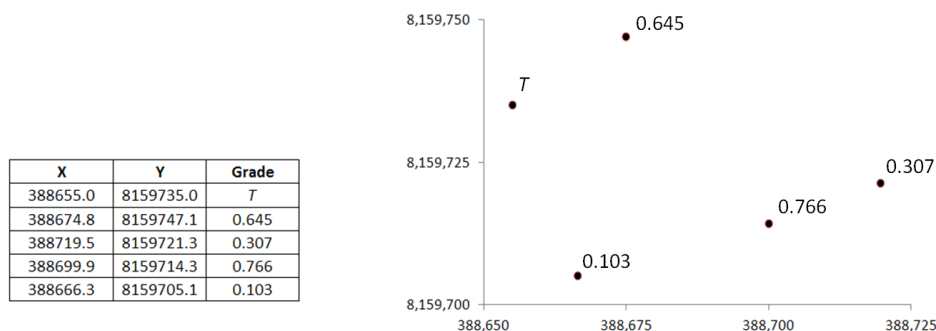


Tabla 13 Ubicación de las muestras compósitas y centro del bloque unitario (T)

Datos:

Ley del bloque a comprobar: 0.424 Au g/t

Formula del modelo esférico:

$$\gamma(h) = C_0 + C \left\{ \frac{3}{2} \left(\frac{h}{a} \right) - \frac{1}{2} \left(\frac{h}{a} \right)^3 \right\}, \quad h < a$$

$$\gamma(h) = C_0 + C \quad h \geq a$$

$$\gamma(h) = 0 \quad h = a$$

Efecto Pepita = $C_0 = 0.07$

Rango de influencia (a) = 95

Meseta (C) = 0.93

Condiciones KO:

$$T = \omega_1 g_1 + \omega_2 g_2 + \omega_3 g_3 + \omega_4 g_4$$

donde

$$\sum_{i=1}^4 \omega_i = 1$$

La ecuación del KO es la siguiente:

$$\omega_1 \gamma(g_1, g_1) + \omega_2 \gamma(g_1, g_2) + \omega_3 \gamma(g_1, g_3) + \omega_4 \gamma(g_1, g_4) + \lambda = \gamma(T, g_1)$$

$$\omega_1 \gamma(g_2, g_1) + \omega_2 \gamma(g_2, g_2) + \omega_3 \gamma(g_2, g_3) + \omega_4 \gamma(g_2, g_4) + \lambda = \gamma(T, g_2)$$

$$\omega_1 \gamma(g_3, g_1) + \omega_2 \gamma(g_3, g_2) + \omega_3 \gamma(g_3, g_3) + \omega_4 \gamma(g_3, g_4) + \lambda = \gamma(T, g_3)$$

$$\omega_1 \gamma(g_4, g_1) + \omega_2 \gamma(g_4, g_2) + \omega_3 \gamma(g_4, g_3) + \omega_4 \gamma(g_4, g_4) + \lambda = \gamma(T, g_4)$$

$$\omega_1 + \omega_2 + \omega_3 + \omega_4 = 1$$

$\gamma(g_i, g_j)$ representa la distancia entre los puntos i y j, de ahí tenemos:

$$\omega_1 \gamma(0) + \omega_2 \gamma(51.6) + \omega_3 \gamma(41.3) + \omega_4 \gamma(42.8) + \lambda = \gamma(23.2)$$

$$\omega_1 \gamma(51.6) + \omega_2 \gamma(0) + \omega_3 \gamma(20.8) + \omega_4 \gamma(55.6) + \lambda = \gamma(65.9)$$

$$\omega_1 \gamma(41.3) + \omega_2 \gamma(20.8) + \omega_3 \gamma(0) + \omega_4 \gamma(34.8) + \lambda = \gamma(49.4)$$

$$\omega_1 \gamma(42.8) + \omega_2 \gamma(55.6) + \omega_3 \gamma(34.8) + \omega_4 \gamma(0) + \lambda = \gamma(31.9)$$

$$\omega_1 + \omega_2 + \omega_3 + \omega_4 = 1$$

La ecuación del modelo esférico:

$$\gamma(h) = C_0 + C \left\{ \frac{3}{2} \left(\frac{h}{a} \right) - \frac{1}{2} \left(\frac{h}{a} \right)^3 \right\}, \quad h < a$$

$$\gamma(h) = 0.07 + 0.93 \left\{ \frac{3}{2} \left(\frac{h}{95} \right) - \frac{1}{2} \left(\frac{h}{95} \right)^3 \right\}, \quad h < a$$

$$\omega_1 0 + \omega_2 0.753 + \omega_3 0.638 + \omega_4 0.656 + \lambda = 0.404$$

$$\omega_1 0.753 + \omega_2 0 + \omega_3 0.370 + \omega_4 0.793 + \lambda = 0.883$$

$$\omega_1 0.638 + \omega_2 0.370 + \omega_3 0 + \omega_4 0.559 + \lambda = 0.730$$

$$\omega_1 0.656 + \omega_2 0.793 + \omega_3 0.559 + \omega_4 0 + \lambda = 0.521$$

$$\omega_1 + \omega_2 + \omega_3 + \omega_4 = 1$$

Resolviendo las 5 ecuaciones con 5 variables ($\omega_1, \omega_2, \omega_3, \omega_4, \lambda$) tendremos los pesos promedio por tipo de estimador, donde la estimación de la variancia es:

$$\sigma^2_{o\kappa} = \omega_1\gamma(T, g_1) + \omega_2\gamma(T, g_2) + \omega_3\gamma(T, g_3) + \omega_4\gamma(T, g_4) + \lambda$$

Que en nuestro ejemplo es:

$$\sigma^2_{o\kappa} = 23.2\omega_1 + 65.9\omega_2 + 49.4\omega_3 + 31.9\omega_4 + \lambda$$

Resolviendo la ecuación, produce la siguiente solución.

$$\omega_1 = 0.580$$

$$\omega_2 = 0.019$$

$$\omega_3 = -0.003$$

$$\omega_4 = 0.404$$

$$\lambda = 0.127$$

$$\sigma^2_{o\kappa} = 27.59$$

$$\sigma_{o\kappa} = 5.25$$

$$T = 0.419$$

Comparando el resultado obtenido para un punto unitario (0.419 g/t) con el estimado en el modelo de bloques (0.394 g/t), la variabilidad es aceptable, teniéndose en cuenta que se ha tomado 4 muestras en el banco 4,887 que son las más próximas y no las muestras de bancos superiores e inferiores.

CAPITULO VI: CONCLUSIONES Y RECOMENDACIONES

6.1. Conclusiones

1. En cuanto a la Geología; el rasgo estructural más importante que se aprecia en el yacimiento y al cual se asocian los cuerpos de mineral de mayor ley lo constituye una Falla Normal (Falla Cotañani) de rumbo N30W con buzamiento de 45° al Este, cortando el centro hidrotermal Cotañani y el control estructural subvertical de dirección E – W (Falla Mauruma), las cuales forman una zona de debilidad importante por donde aprovecharon los fluidos hidrotermales alteran y mineralizan las rocas hospedantes del tipo volcánico.
2. En cuanto al Análisis de Datos; se desprende que poseen una ley de distribución Log-Normal directa, caracterizado por el hecho de que la mayor cantidad de muestras están debajo de la ley media.

El variograma experimental del oro tiene un comportamiento estacionario en la dirección de los taladros, lo que ha permitido inferir una aureola máxima de estimación de 77.5 metros en la dirección horizontal y 51 metros en la dirección vertical.
3. En cuanto a la estimación de recursos; la profundidad mejor reconocida por la campaña de taladros esta alrededor de los niveles 4,830 a 4,890. Las leyes estimadas de oro más altas están entre los niveles 4,854 a 4,872 quedando zonas de sulfuros debajo de los niveles 4,872.

6.2. Recomendaciones

1. Realizar perforaciones en la base del tajo, para poder calcular e inferir la profundidad de la mineralización en sulfuros, con ello en un futuro que mejore la metalurgia y los precios se evalué la factibilidad de reabrir la mina.
2. Realizar perforaciones en el sector del Anfiteatro y Norte de la falla Cotañani donde se presenta derrames volcánicos post-mineralización, que podrían cubrir la continuidad de la mineralización.
3. Con los datos de las exploraciones futuras recalculer los parámetros estadísticos y geoestadísticos obtenidos del presente estudio.
4. Usar los controles estructurales estudiados en el área próxima para ubicación de yacimientos contemporáneos

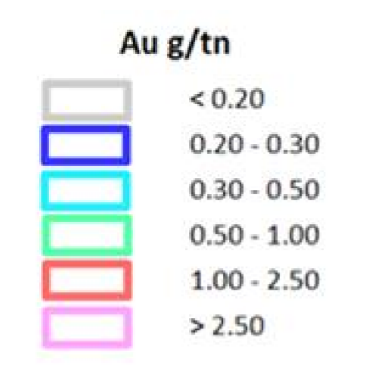
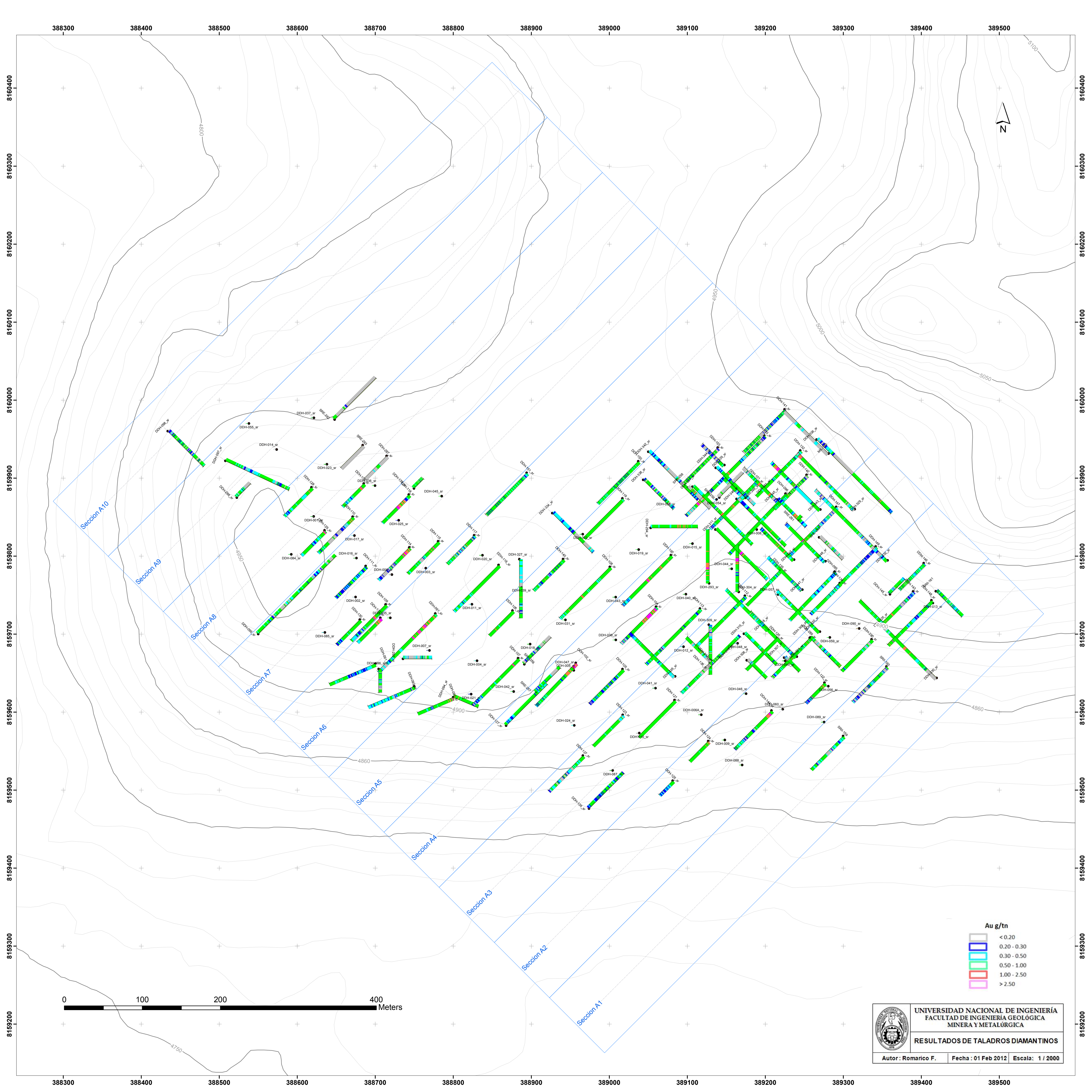
CAPITULO VII:

REFERENCIAS BIBLIOGRAFICAS

- Bradford, J., 1999. Geology and exploration potential of the Cacachara epithermal silver – gold district, southern Peru. - Confidential Report for Minera Del Hill S.A. and Minera Del Suroeste S.A., 31 p.
- Chouinard, A., 2003. Alteration assessment of the high-sulphidation epithermal gold deposit and prospects in the Aruntani district, Puno, Peru. Unpublished report for MDH S.A.C., August 2003.
- Galdos H., J., y Ticona T., P., 2000. Mapa geológico del cuadrángulo de Huaitire (34 V), escala 1:50,000 – versión digital. - INGEMMET, Lima, Peru.
- García M., W., y Guevara R., C., 1975. Geología de los cuadrángulos de Puquina, Omate, Huaitire, Mazo Cruz, y Pizacoma. – Boletín Servicio Geológico y Minería 29, Lima, Peru, 63 p.
- Hedenquist, J. W., 2002b. Recent advances in assessment of the Tucari (Aruntani) high-sulfidation epithermal gold deposit, Puno Department, Perú. - Unpublished report for MDH S.A.C., July, 14 p.
- Johnson, P., 1986. The Cacachara epithermal silver deposit, Puno Department, southernmost Peru. – Unpublished M.Sc. Thesis, Queen’s University, Kingston, Ontario, Canada, 171 p.
- Lewis, P., 2003. Evaluation of structural controls on epithermal gold mineralization, Aruntani Project, S. Peru. Unpublished report for MDH S.A.C., July 2003.
- Loayza, D., 1998. Proyecto Santa Rosa: Estimado reservas geológicas. - Internal report for MdH S.A.C.
- Machare J. 2009. Analisis estructural de la region de Aruntani, relacion con la mineralización. Reporte interno para Aruntani SAC.
- Morche, W., 2008. Late Miocene high-sulfidation epithermal gold deposits of the Aruntani district, Southern Peru, unpublished report for MDH S.A.C, December, 21 p.

APENDICE A

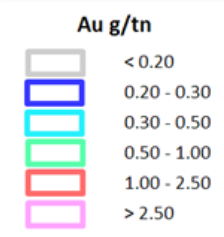
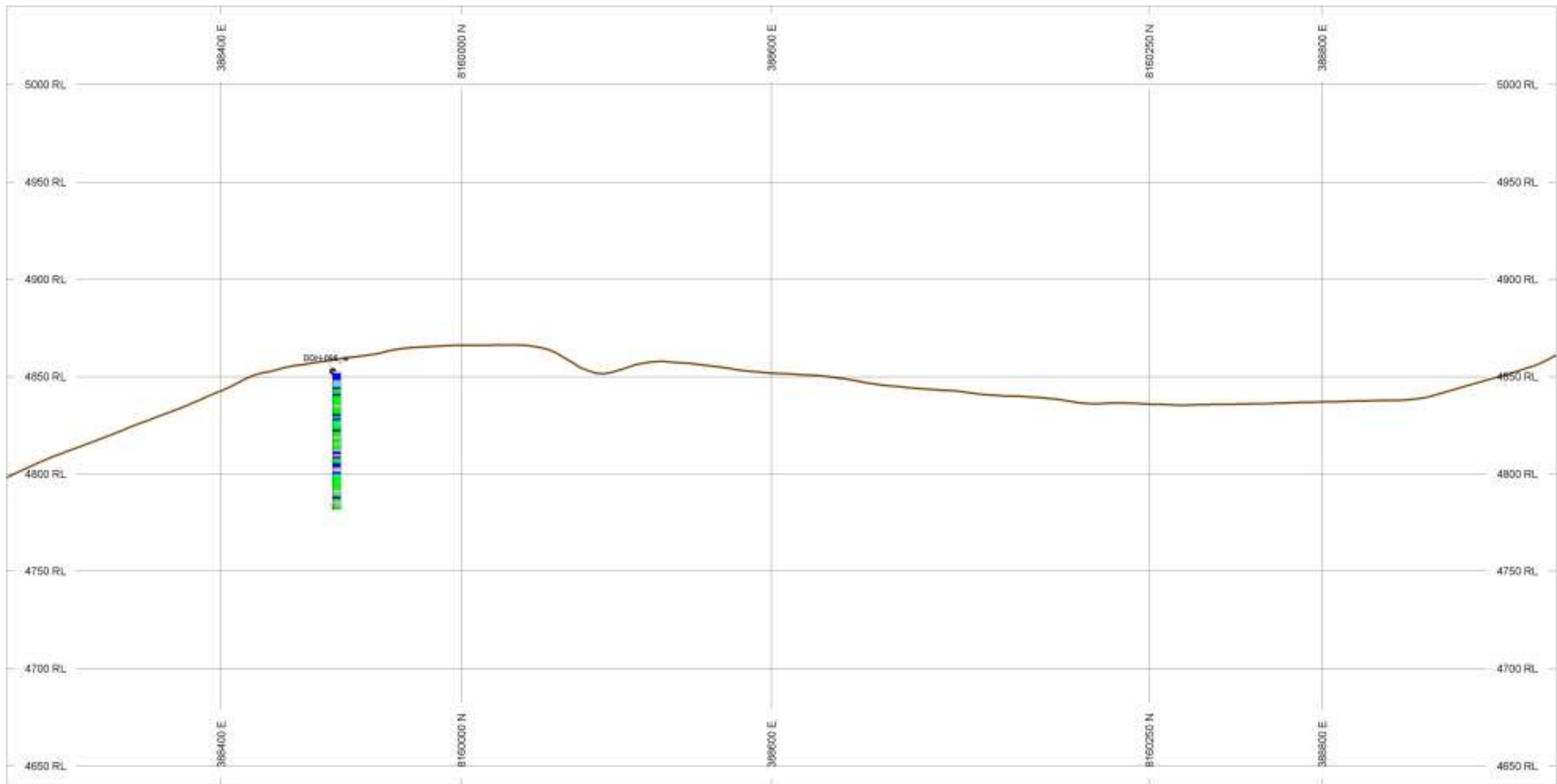
PLANOS Y SECCIONES




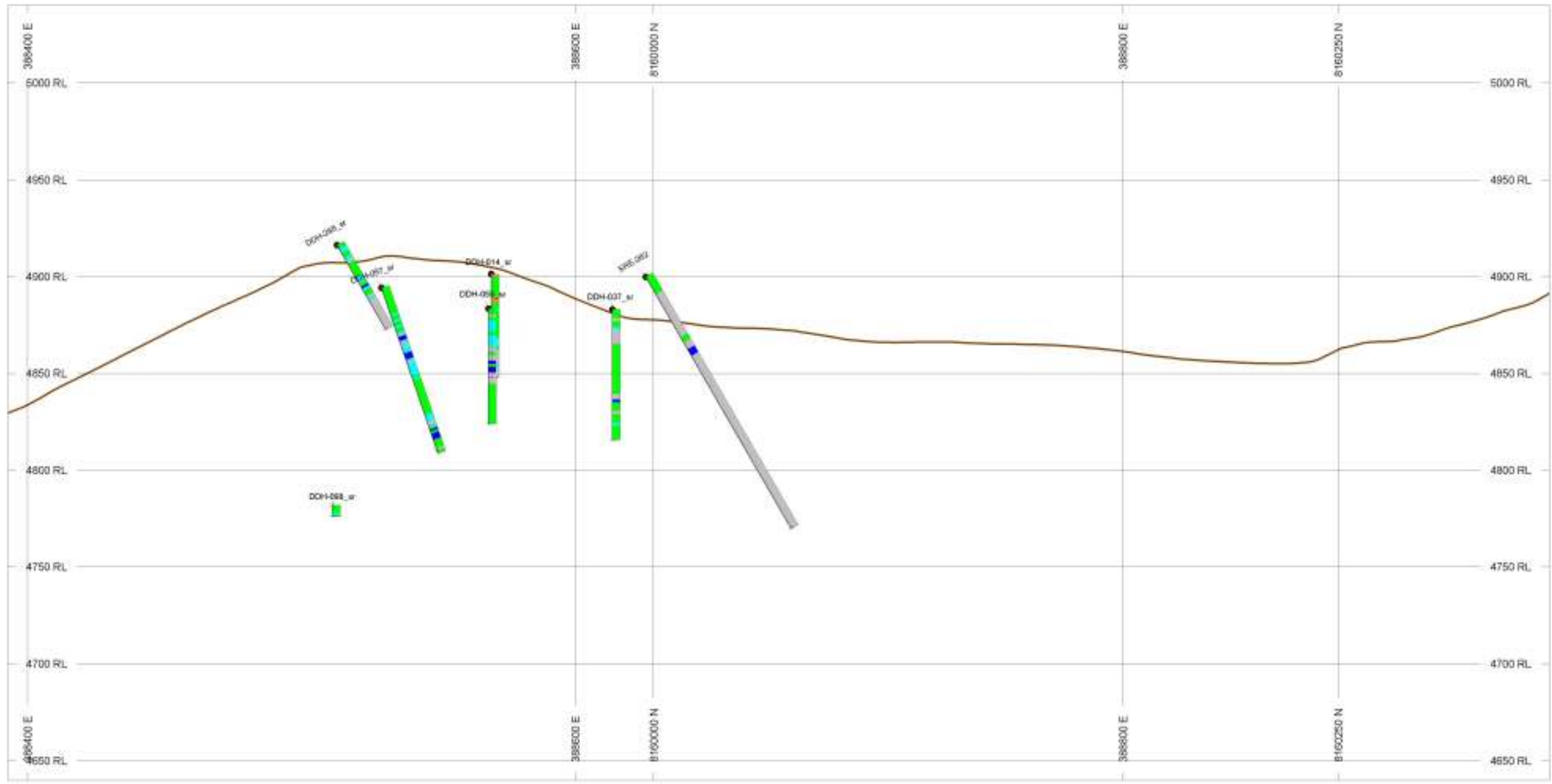
 UNIVERSIDAD NACIONAL DE INGENIERÍA
FACULTAD DE INGENIERÍA GEOLÓGICA
MINERA Y METALÚRGICA

RESULTADOS DE TALADROS DIAMANTINOS

Autor: Romarico F. Fecha : 01 Feb 2012 Escala: 1 / 2000



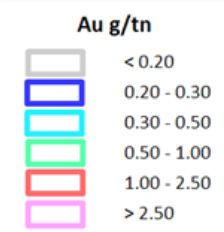
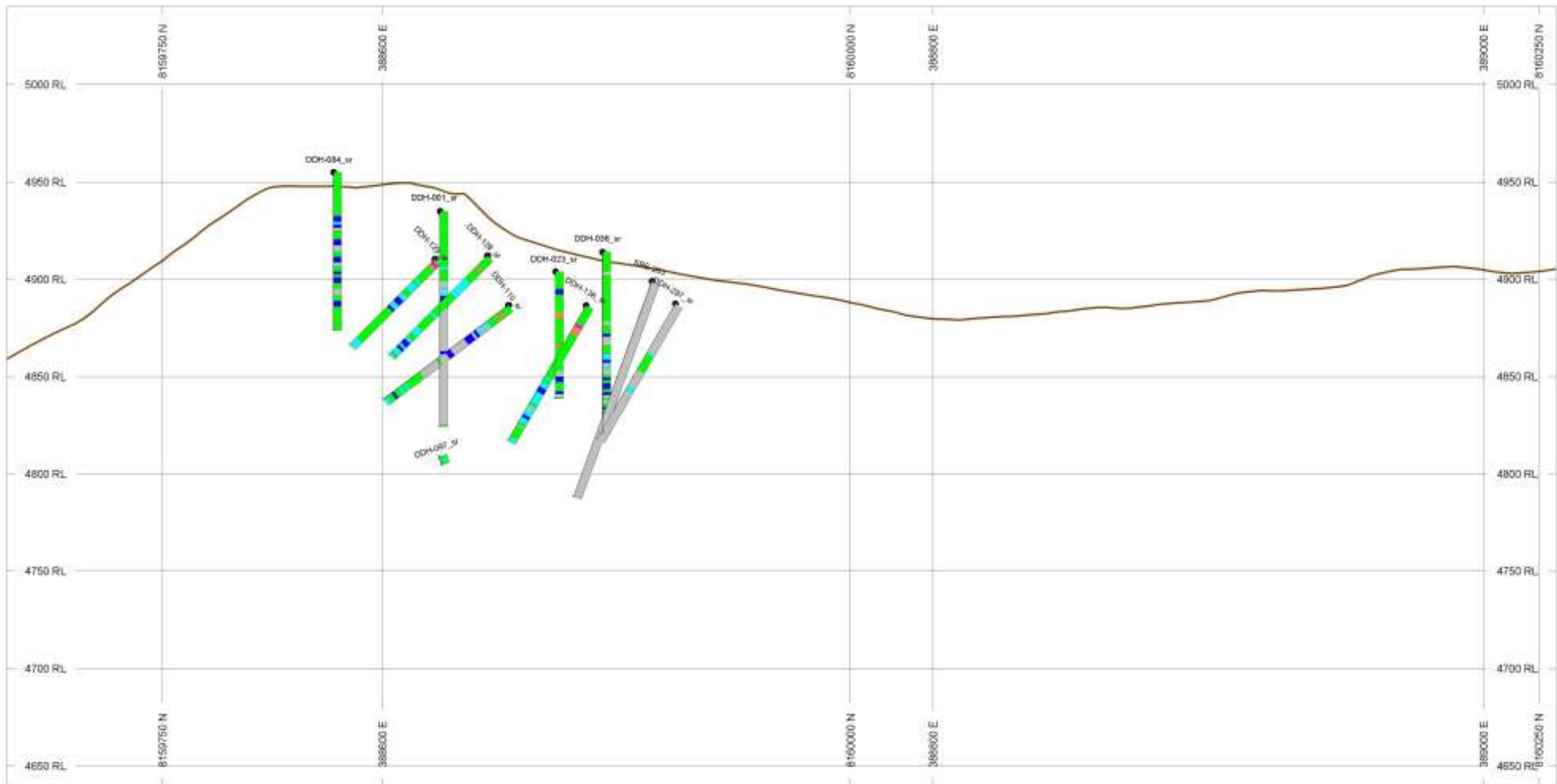
	UNIVERSIDAD NACIONAL DE INGENIERÍA FACULTAD DE INGENIERÍA GEOLÓGICA MINERA Y METALÚRGICA		
	SECCION A10		
Autor : Romarico F.	Fecha : 01 Feb 2012	Escala: 1 / 2000	



UNIVERSIDAD NACIONAL DE INGENIERÍA
 FACULTAD DE INGENIERÍA GEOLÓGICA
 MINERA Y METALÚRGICA

SECCION A9

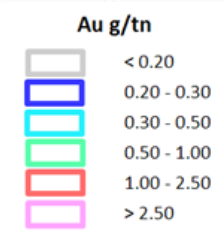
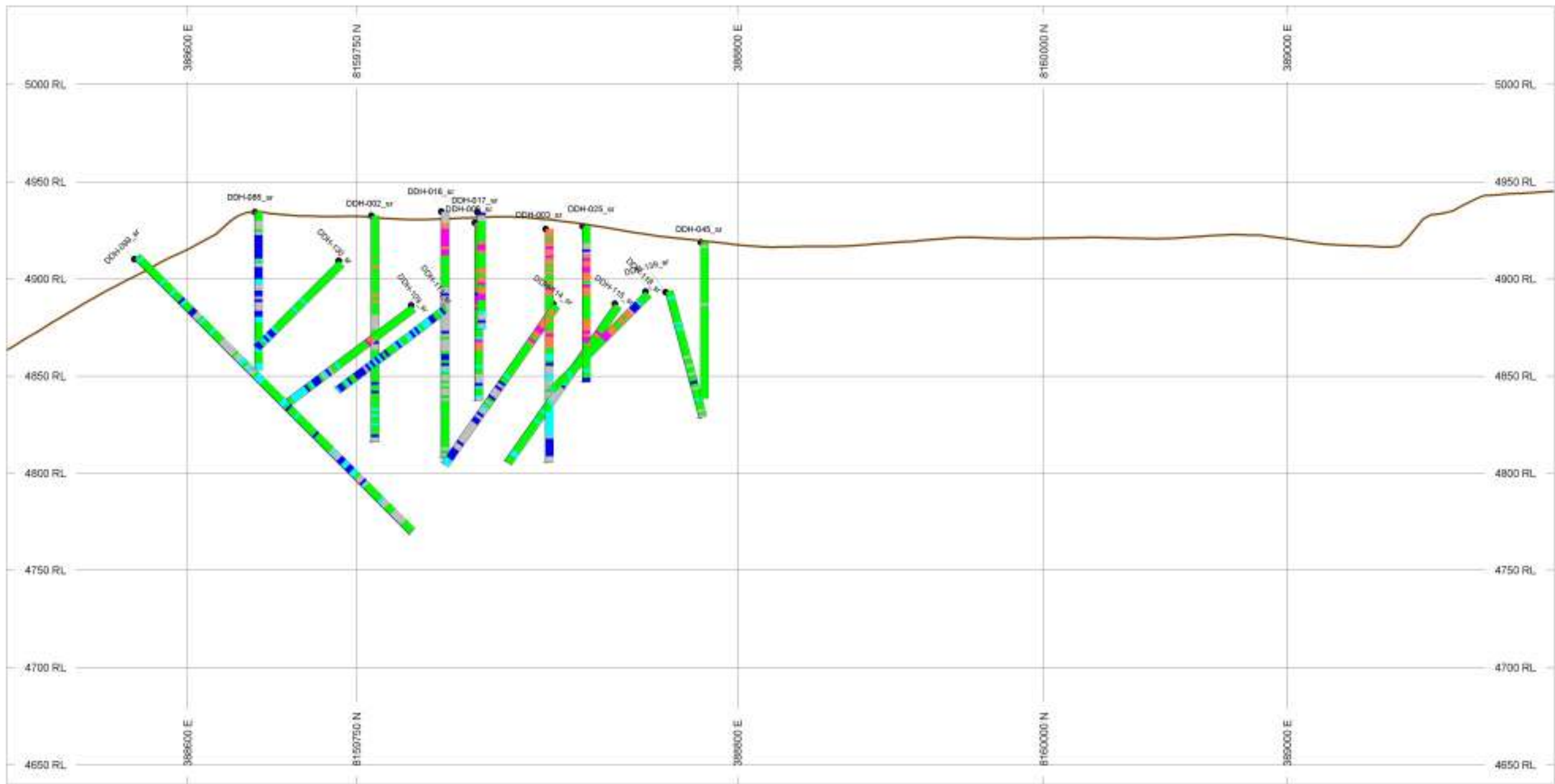
Autor : Romarico F. Fecha : 01 Feb 2012 Escala: 1 / 2000




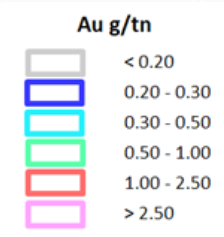
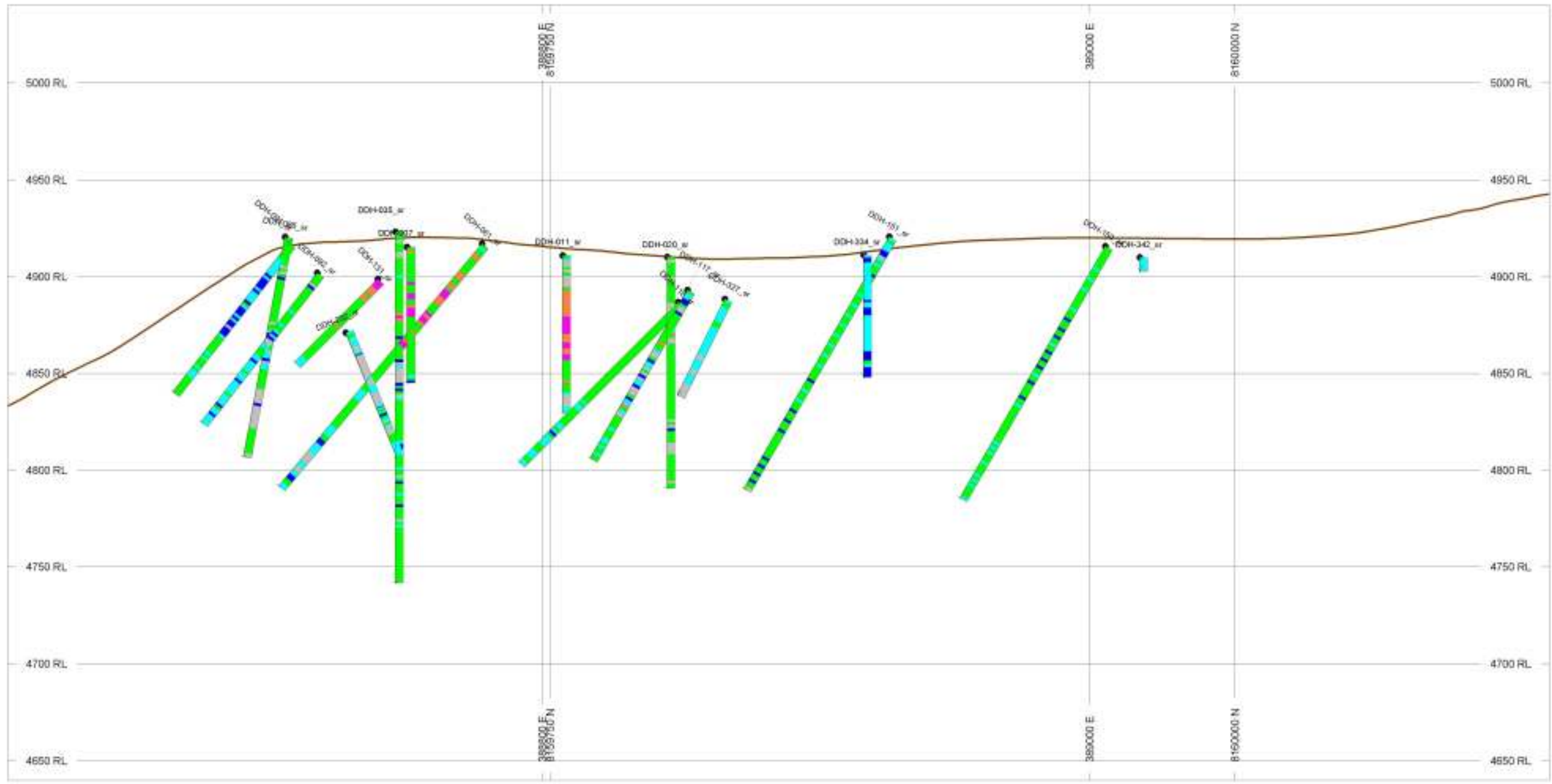
UNIVERSIDAD NACIONAL DE INGENIERÍA
 FACULTAD DE INGENIERÍA GEOLÓGICA
 MINERA Y METALÚRGICA


SECCION A8

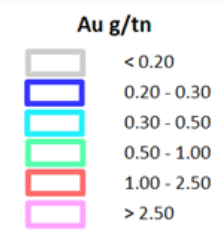
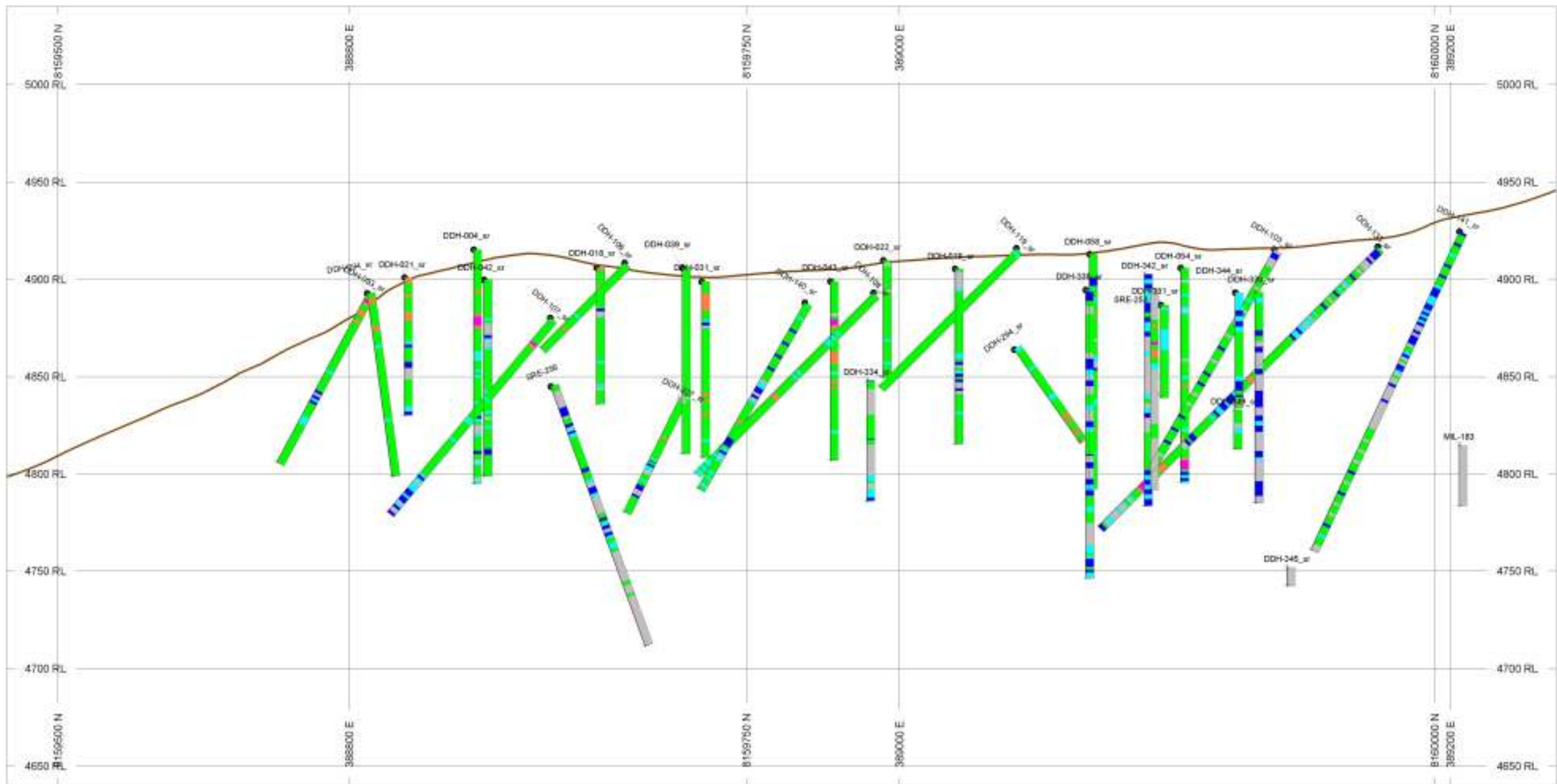
Autor : Romarico F. Fecha : 01 Feb 2012 Escala: 1 / 2000



	UNIVERSIDAD NACIONAL DE INGENIERÍA FACULTAD DE INGENIERÍA GEOLÓGICA MINERA Y METALÚRGICA		
	SECCION A7		
Autor : Romarico F.	Fecha : 01 Feb 2012	Escala : 1 / 2000	



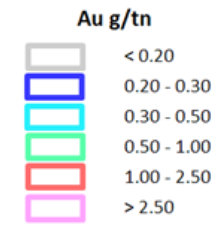
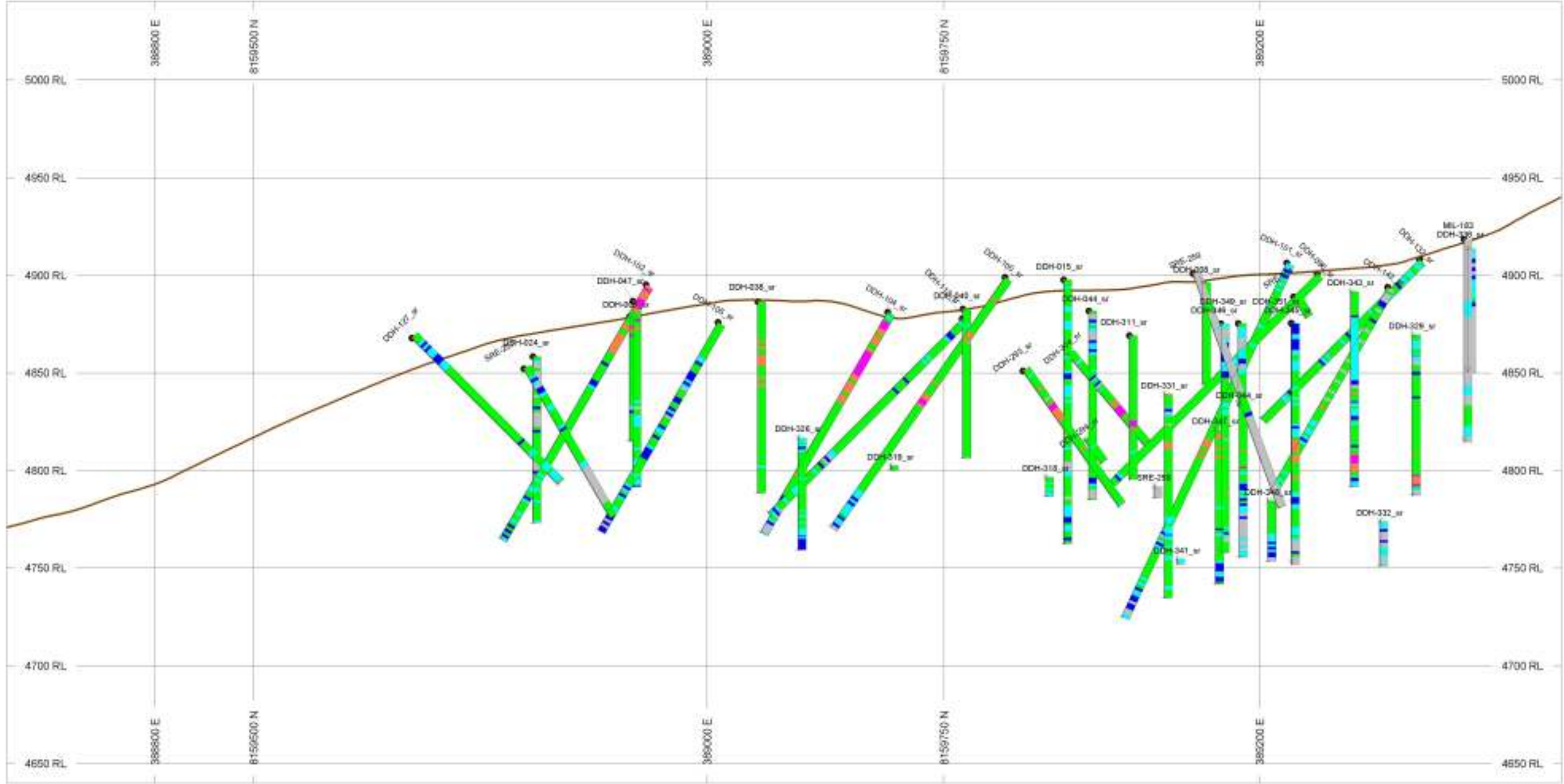
	UNIVERSIDAD NACIONAL DE INGENIERÍA FACULTAD DE INGENIERÍA GEOLÓGICA MINERA Y METALÚRGICA		
	SECCION A6		
Autor : Romarico F.	Fecha : 01 Feb 2012	Escala: 1 / 2000	



UNIVERSIDAD NACIONAL DE INGENIERÍA
 FACULTAD DE INGENIERÍA GEOLÓGICA
 MINERA Y METALÚRGICA

SECCION A5

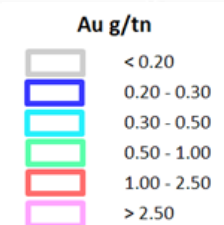
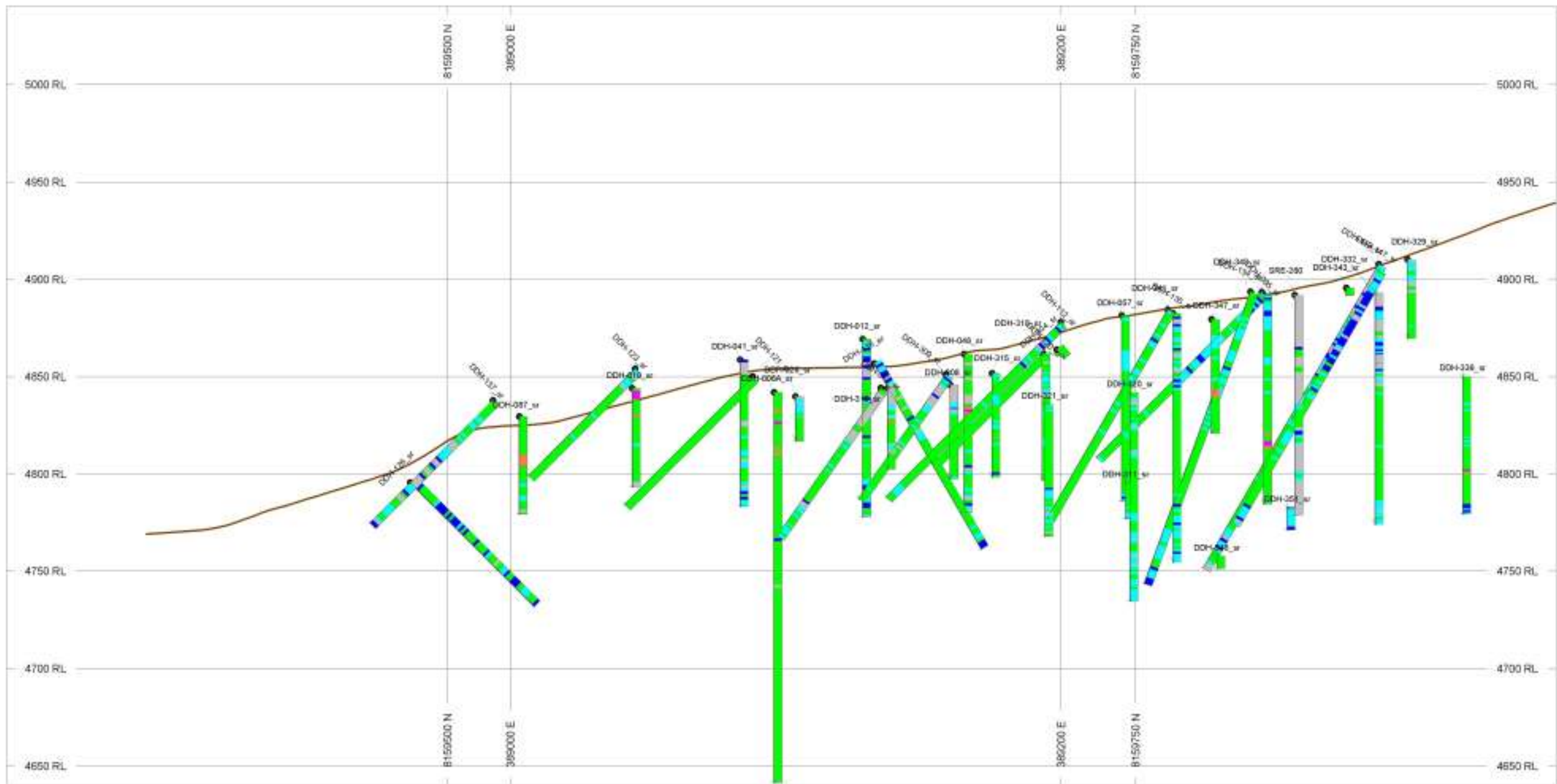
Autor : Romarico F. Fecha : 01 Feb 2012 Escala: 1 / 2000




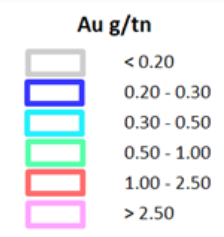
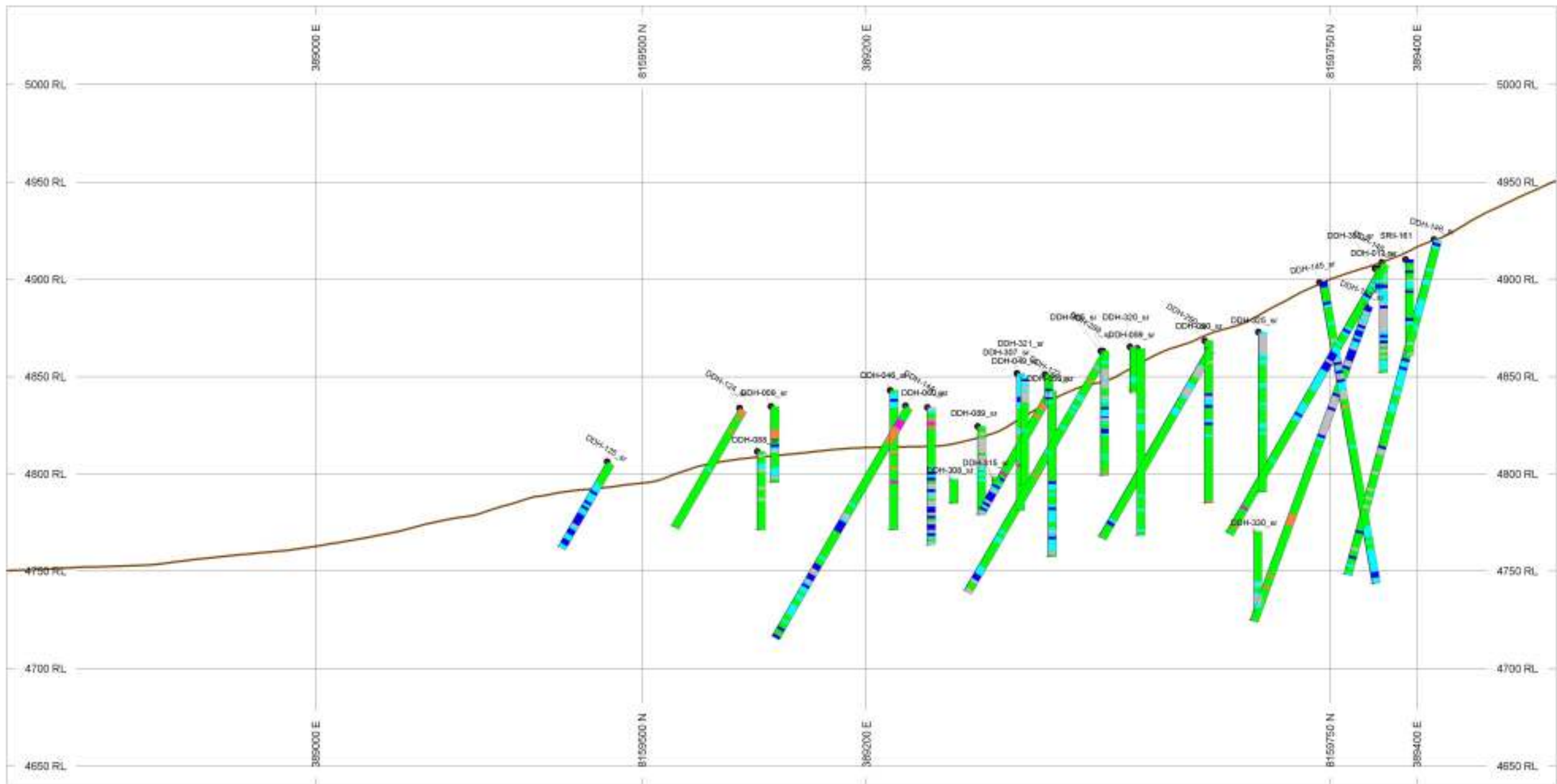
UNIVERSIDAD NACIONAL DE INGENIERÍA
FACULTAD DE INGENIERÍA GEOLÓGICA
MINERA Y METALÚRGICA


SECCION A4

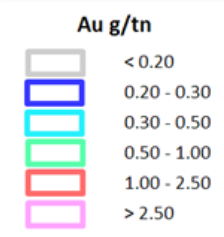
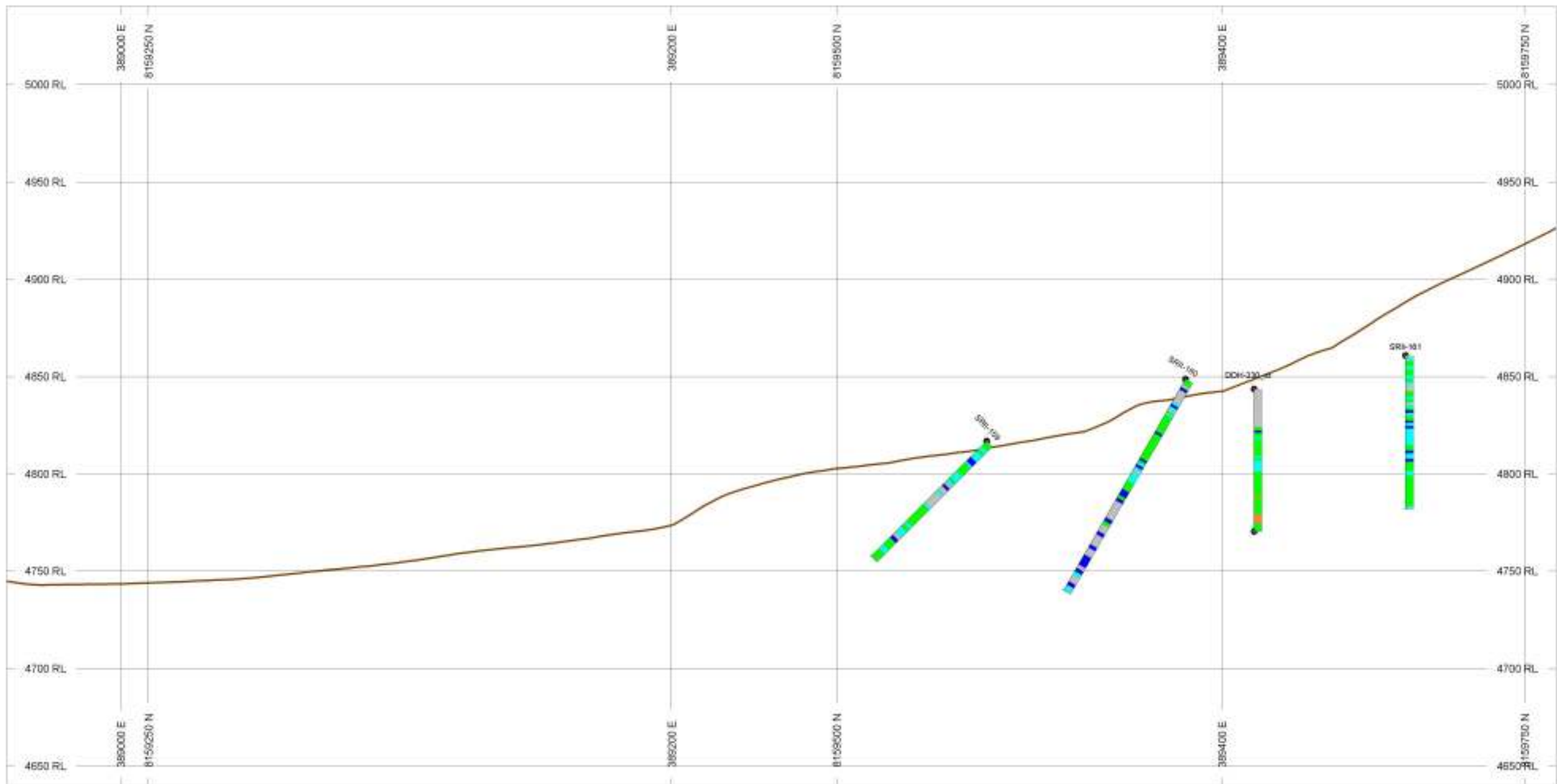
Autor : Romarico F. Fecha : 01 Feb 2012 Escala : 1 / 2000




	UNIVERSIDAD NACIONAL DE INGENIERÍA FACULTAD DE INGENIERÍA GEOLÓGICA MINERA Y METALÚRGICA		
	SECCION A3		
Autor : Romarico F.	Fecha : 01 Feb 2012	Escala: 1 / 2000	



	UNIVERSIDAD NACIONAL DE INGENIERÍA FACULTAD DE INGENIERÍA GEOLÓGICA MINERA Y METALÚRGICA	
	SECCION A2	
Autor : Romarico F.	Fecha : 01 Feb 2012	Escala: 1 / 2000



	UNIVERSIDAD NACIONAL DE INGENIERÍA FACULTAD DE INGENIERÍA GEOLÓGICA MINERA Y METALÚRGICA		
	SECCION A1		
Autor : Romarico F.	Fecha : 01 Feb 2012	Escala: 1 / 2000	

APENDICE B

Listado de Leyes Compósito

Hole_Id	From	To	Length	AU_PPM	ALT
DDH-001	0.00	0.01	1.5	0.860	SA
DDH-001	0.01	6.01	1.5	0.467	SA
DDH-001	6.01	12.01	1.5	0.180	SM
DDH-001	12.01	18.01	1.5	0.155	SM
DDH-001	18.01	24.01	1.5	0.199	SM
DDH-001	24.01	30.01	1.5	0.307	SG
DDH-001	30.01	36.01	1.5	0.117	SA
DDH-001	36.01	42.01	1.5	0.025	SC
DDH-001	42.01	48.01	1.5	0.027	SC
DDH-001	48.01	54.01	1.5	0.017	SC
DDH-001	54.01	60.01	1.5	0.013	SA
DDH-001	60.01	66.01	1.5	0.015	SOP
DDH-001	66.01	72.01	1.5	0.013	SOP
DDH-001	72.01	78.01	1.5	0.011	SOP
DDH-001	78.01	84.01	1.5	0.010	SA
DDH-001	84.01	90.01	1.5	0.005	RF
DDH-001	90.01	96.01	1.5	0.005	RF
DDH-001	96.01	102.01	1.5	0.006	SM
DDH-001	102.01	108.01	1.5	0.018	SM
DDH-001	108.01	110.40	1.3	0.033	SC
DDH-002	0.00	3.51	1.5	0.161	SM
DDH-002	3.51	9.51	1.5	0.522	SM
DDH-002	9.51	15.51	1.5	0.402	SM
DDH-002	15.51	21.51	1.5	0.307	SM
DDH-002	21.51	27.51	1.5	0.535	SM
DDH-002	27.51	33.51	1.5	0.242	SA
DDH-002	33.51	39.51	1.5	0.351	SM
DDH-002	39.51	45.51	1.5	0.645	SA
DDH-002	45.51	51.51	1.5	0.344	SOP
DDH-002	51.51	57.51	1.5	0.015	SC
DDH-002	63.51	69.51	1.5	0.013	SC
DDH-002	75.51	81.51	3.0	0.086	SOP
DDH-002	81.51	87.51	2.3	0.058	SOP
DDH-002	87.51	93.51	2.4	0.067	SC
DDH-002	111.51	116.50	2.1	0.024	RF
DDH-003	0.00	2.81	1.5	1.965	SA
DDH-003	2.81	8.81	1.5	1.277	SA
DDH-003	8.81	14.81	1.5	2.864	SA
DDH-003	14.81	20.81	1.5	1.605	SA
DDH-003	20.81	26.81	1.5	1.053	SA
DDH-003	26.81	32.81	1.5	1.763	SA
DDH-003	32.81	38.81	1.5	1.006	SA
DDH-003	38.81	44.81	1.5	0.673	SA
DDH-003	44.81	50.81	1.5	0.810	SG
DDH-003	50.81	56.81	1.5	2.090	SG
DDH-003	56.81	62.81	1.5	1.312	SG
DDH-003	62.81	68.81	1.5	0.070	SM
DDH-003	68.81	74.81	1.5	0.024	SC
DDH-003	74.81	80.81	2.3	0.033	SC
DDH-003	80.81	86.81	1.5	0.028	SC
DDH-003	86.81	92.81	3.0	0.069	SC
DDH-003	92.81	98.81	3.0	0.045	SC
DDH-003	98.81	104.81	3.0	0.045	SC
DDH-003	104.81	110.81	2.3	0.030	SC
DDH-003	110.81	116.81	3.0	0.030	SC

Hole_Id	From	To	Length	AU_PPM	ALT
DDH-003	116.81	120.20	1.7	0.013	SM
DDH-004	0.00	4.31	1.5	0.507	SA
DDH-004	4.31	10.31	1.5	0.443	SA
DDH-004	10.31	16.31	1.5	0.213	SA
DDH-004	16.31	22.31	1.5	0.773	SA
DDH-004	22.31	28.31	1.5	0.328	SG
DDH-004	28.31	34.31	1.5	0.788	SG
DDH-004	34.31	40.31	1.5	5.632	SG
DDH-004	40.31	46.31	1.5	0.523	SM
DDH-004	46.31	52.31	1.5	0.160	SG
DDH-004	52.31	58.31	1.5	0.052	SG
DDH-004	58.31	64.31	1.5	0.102	SG
DDH-004	64.31	70.31	1.5	0.164	SG
DDH-004	70.31	76.31	1.5	0.175	SG
DDH-004	76.31	82.31	1.5	0.076	SG
DDH-004	82.31	88.31	1.5	0.064	SA
DDH-004	88.31	94.31	1.5	0.032	SA
DDH-004	94.31	100.31	1.5	0.128	SG
DDH-004	100.31	106.31	1.5	0.074	SG
DDH-004	106.31	112.31	1.5	0.047	SA
DDH-004	112.31	118.31	1.5	0.069	SA
DDH-004	118.31	120.10	1.6	0.047	SA
DDH-005	0.00	3.91	1.5	1.574	SG
DDH-005	3.91	9.91	1.5	2.276	SG
DDH-005	9.91	15.91	1.5	0.669	SA
DDH-005	15.91	21.91	1.5	0.439	SG
DDH-005	21.91	27.91	1.5	0.326	SG
DDH-005	27.91	33.91	1.5	0.197	SG
DDH-005	33.91	39.91	1.5	0.169	SG
DDH-005	39.91	45.91	1.5	0.261	SG
DDH-005	45.91	51.91	1.5	0.051	SA
DDH-006	0.00	5.91	1.5	1.081	SA
DDH-006	5.91	11.91	1.5	0.480	SA
DDH-006	11.91	17.91	1.5	0.754	SA
DDH-006	17.91	23.91	1.5	0.195	SA
DDH-006	23.91	29.91	1.5	1.003	SG
DDH-006	29.91	35.91	1.5	1.299	SM
DDH-006	35.91	41.91	1.5	3.948	SM
DDH-006	41.91	47.91	1.5	1.555	SA
DDH-006	47.91	53.91	1.5	0.189	SA
DDH-006	53.91	59.91	1.5	0.113	SA
DDH-006	59.91	65.91	1.5	2.217	SG
DDH-006	65.91	71.91	1.5	0.475	SG
DDH-006	71.91	77.91	1.5	0.135	SA
DDH-006	77.91	83.91	1.5	0.015	SA
DDH-006	83.91	89.91	1.5	0.070	SA
DDH-006	89.91	91.40	1.4	0.022	SM
DDH-006A	0.00	2.96	1.5	0.243	SM
DDH-006A	2.96	8.96	1.5	0.382	SM
DDH-006A	8.96	14.96	1.5	0.726	SM
DDH-006A	14.96	20.96	1.5	1.160	SG
DDH-006A	20.96	26.96	1.5	0.454	SG
DDH-006A	26.96	32.96	1.5	0.969	SG
DDH-006A	32.96	38.96	1.5	0.533	SM
DDH-006A	38.96	44.96	1.5	0.142	SA

Hole_Id	From	To	Length	AU_PPM	ALT
DDH-006A	44.96	50.96	1.5	0.216	SC
DDH-006A	50.96	56.96	1.5	0.083	SC
DDH-007	0.00	4.31	1.5	0.723	SG
DDH-007	4.31	10.31	1.5	0.411	SG
DDH-007	10.31	16.31	1.5	0.350	SG
DDH-007	16.31	22.31	1.5	1.380	SG
DDH-007	22.31	28.31	1.5	4.787	SG
DDH-007	28.31	34.31	1.5	3.511	SG
DDH-007	34.31	40.31	1.5	2.659	SG
DDH-007	40.31	46.31	1.5	0.442	SG
DDH-007	46.31	52.31	1.5	0.368	SA
DDH-007	52.31	58.31	1.5	0.118	SA
DDH-007	58.31	64.31	1.5	0.192	SA
DDH-007	64.31	70.10	1.4	0.057	SA
DDH-008	0.00	3.31	1.5	0.399	SA
DDH-008	3.31	9.31	1.5	0.620	SA
DDH-008	9.31	15.31	1.5	0.634	SG
DDH-008	15.31	21.31	1.5	0.513	SA
DDH-008	21.31	27.31	1.5	0.438	SA
DDH-008	27.31	33.31	1.5	0.317	SA
DDH-008	33.31	39.31	1.5	0.161	SA
DDH-008	39.31	45.31	1.5	0.202	SA
DDH-008	45.31	51.31	1.5	0.175	SA
DDH-008	51.31	51.90	0.9	0.090	SA
DDH-009	0.00	1.81	1.5	0.092	RF
DDH-009	1.81	7.81	1.5	0.155	SA
DDH-009	7.81	13.81	1.5	0.898	SG
DDH-009	13.81	19.81	1.5	0.988	SM
DDH-009	19.81	25.81	1.5	0.055	SA
DDH-009	25.81	31.81	1.5	0.128	SA
DDH-009	31.81	37.81	1.5	0.034	SA
DDH-009	37.81	39.10	1.6	0.060	SA
DDH-010	0.00	5.11	1.5	3.580	SG
DDH-010	5.11	11.11	1.5	1.280	SM
DDH-010	11.11	17.11	1.5	0.572	SM
DDH-010	17.11	23.11	1.5	0.276	SG
DDH-010	23.11	29.11	1.5	0.223	SG
DDH-010	29.11	35.11	1.5	0.223	SG
DDH-010	35.11	41.11	1.5	0.195	SG
DDH-010	41.11	47.11	1.5	0.317	SG
DDH-010	47.11	50.70	1.4	0.020	SG
DDH-011	0.00	5.91	1.5	0.077	SC
DDH-011	5.91	11.91	1.5	0.032	C
DDH-011	11.91	17.91	1.5	0.099	RF
DDH-011	17.91	23.91	1.5	1.436	SA
DDH-011	23.91	29.91	1.5	1.537	SA
DDH-011	29.91	35.91	1.5	5.801	SG
DDH-011	35.91	41.91	1.5	3.593	SG
DDH-011	41.91	47.91	1.5	3.499	SG
DDH-011	47.91	53.91	1.5	2.519	SG
DDH-011	53.91	59.91	1.5	0.761	SG
DDH-011	59.91	65.91	1.5	0.672	SG
DDH-011	65.91	71.91	1.5	0.414	SG
DDH-011	71.91	77.91	1.5	0.012	SC
DDH-011	77.91	81.20	1.6	0.049	SC

Hole_Id	From	To	Length	AU_PPM	ALT
DDH-012	0.00	0.31	1.5	0.090	SM
DDH-012	0.31	6.31	1.5	0.048	SM
DDH-012	6.31	12.31	1.5	0.032	SM
DDH-012	12.31	18.31	1.5	0.023	SA
DDH-012	30.31	36.31	2.3	0.061	SA
DDH-012	36.31	42.31	3.0	0.103	SA
DDH-012	42.31	48.31	2.9	0.132	SA
DDH-012	48.31	54.31	1.5	0.117	SA
DDH-012	54.31	60.31	1.5	0.142	SG
DDH-012	60.31	66.31	1.5	0.145	SG
DDH-012	66.31	72.31	1.5	0.103	SA
DDH-012	72.31	78.31	1.5	0.036	SA
DDH-012	78.31	84.31	2.3	0.036	SA
DDH-012	84.31	90.31	2.9	0.056	SA
DDH-012	90.31	91.30	1.3	0.040	SA
DDH-013	0.00	1.01	1.5	0.010	SA
DDH-013	1.01	7.01	1.5	0.024	SA
DDH-013	7.01	13.01	1.5	0.036	SA
DDH-013	13.01	19.01	1.5	0.037	SA
DDH-013	19.01	25.01	1.5	0.022	SA
DDH-013	25.01	31.01	1.5	0.018	SA
DDH-013	31.01	37.01	1.5	0.031	SA
DDH-013	37.01	43.01	1.5	0.044	SA
DDH-013	43.01	49.01	1.5	0.051	SA
DDH-013	49.01	53.80	1.4	0.048	SA
DDH-014	0.00	2.41	1.5	1.282	RF
DDH-014	2.41	8.41	1.5	0.400	SM
DDH-014	8.41	14.41	1.5	1.027	SG
DDH-014	14.41	20.41	1.5	0.336	SA
DDH-014	20.41	26.41	1.5	0.283	SA
DDH-014	26.41	32.41	1.5	0.111	SA
DDH-014	32.41	38.41	1.5	0.052	SA
DDH-014	38.41	44.41	1.5	0.014	SA
DDH-014	44.41	50.41	1.5	0.018	SM
DDH-014	50.41	53.60	1.4	0.013	RF
DDH-015	0.00	4.71	1.5	0.071	SG
DDH-015	4.71	10.71	1.5	0.122	SG
DDH-015	10.71	16.71	1.5	0.062	SG
DDH-015	16.71	22.71	1.5	0.069	SM
DDH-015	22.71	28.71	1.5	0.054	SG
DDH-015	28.71	34.71	1.5	0.098	SM
DDH-015	34.71	40.71	1.5	0.090	SA
DDH-015	40.71	46.71	1.5	0.085	SA
DDH-015	46.71	52.71	1.5	0.044	SA
DDH-015	52.71	58.71	1.5	0.054	SA
DDH-015	58.71	64.71	1.5	0.064	SA
DDH-015	64.71	70.71	1.5	0.480	SG
DDH-015	70.71	76.71	1.5	0.194	SG
DDH-015	76.71	82.71	1.5	0.682	SG
DDH-015	82.71	88.71	1.5	0.139	SA
DDH-015	88.71	94.71	1.5	0.074	SA
DDH-015	94.71	100.71	2.3	0.027	SA
DDH-015	100.71	106.71	3.0	0.086	SA
DDH-015	106.71	112.71	1.6	0.059	SA
DDH-015	112.71	118.71	3.0	0.073	SA

Hole_Id	From	To	Length	AU_PPM	ALT
DDH-015	118.71	124.71	3.0	0.035	SA
DDH-015	124.71	130.71	3.0	0.040	SC
DDH-015	130.71	135.00	1.5	0.045	SC
DDH-016	0.00	5.71	1.5	0.013	RF
DDH-016	5.71	11.71	1.5	13.821	SG
DDH-016	11.71	17.71	1.5	7.960	SM
DDH-016	17.71	23.71	1.5	4.966	SM
DDH-016	23.71	29.71	1.5	0.271	SM
DDH-016	29.71	35.71	1.5	0.237	SM
DDH-016	35.71	41.71	1.5	0.078	SM
DDH-016	41.71	47.71	1.5	0.011	SG
DDH-016	47.71	53.71	1.5	0.005	SG
DDH-016	53.71	59.71	1.5	0.005	SA
DDH-016	59.71	65.71	1.5	0.030	SA
DDH-016	65.71	71.71	1.5	0.018	SA
DDH-016	71.71	77.71	1.5	0.057	SOP
DDH-016	77.71	83.71	1.5	0.036	SOP
DDH-016	83.71	89.71	1.5	0.015	SC
DDH-016	89.71	95.71	1.5	0.013	SC
DDH-017	0.00	5.21	1.5	0.057	RF
DDH-017	5.21	11.21	1.5	0.236	SA
DDH-017	11.21	17.21	1.5	1.306	SA
DDH-017	17.21	23.21	1.5	1.789	SG
DDH-017	23.21	29.21	1.5	0.732	SG
DDH-017	29.21	35.21	1.5	1.213	SG
DDH-017	35.21	41.21	1.5	1.803	SG
DDH-017	41.21	47.21	1.5	3.649	SG
DDH-017	47.21	53.21	1.5	0.152	SA
DDH-017	53.21	59.21	1.5	0.022	SC
DDH-017	59.21	60.00	1.5	0.050	SC
DDH-018	0.00	1.01	1.5	1.140	SC
DDH-018	1.01	7.01	1.5	0.543	SM
DDH-018	7.01	13.01	1.5	0.744	SG
DDH-018	13.01	19.01	1.5	0.531	SG
DDH-018	19.01	25.01	1.5	0.060	SA
DDH-018	25.01	31.01	1.5	0.400	SA
DDH-018	31.01	37.01	1.5	0.160	SM
DDH-018	37.01	43.01	1.5	0.133	SM
DDH-018	43.01	49.01	1.5	0.117	SM
DDH-018	49.01	55.01	1.5	0.280	SM
DDH-018	55.01	61.01	1.5	0.165	SG
DDH-018	61.01	67.01	1.5	0.070	SA
DDH-018	67.01	70.00	1.3	0.119	SA
DDH-019	0.51	6.51	1.5	0.008	C
DDH-019	6.51	12.51	1.5	0.032	RF
DDH-019	12.51	18.51	1.5	0.103	SA
DDH-019	18.51	24.51	1.5	0.151	SA
DDH-019	24.51	30.51	1.5	0.186	SG
DDH-019	30.51	36.51	1.5	0.140	SA
DDH-019	36.51	42.51	1.5	0.088	SG
DDH-019	42.51	48.51	1.5	0.057	SG
DDH-019	48.51	54.51	1.5	0.038	SG
DDH-019	54.51	60.51	1.5	0.039	SG
DDH-019	60.51	66.51	1.5	0.053	SG
DDH-019	66.51	72.51	1.5	0.207	SG

Hole_Id	From	To	Length	AU_PPM	ALT
DDH-019	72.51	78.51	1.5	0.098	SG
DDH-019	78.51	84.51	1.5	0.379	SG
DDH-019	84.51	90.00	1.5	0.351	SG
DDH-020	23.21	29.21	1.5	0.122	C
DDH-020	29.21	35.21	1.5	0.336	SA
DDH-020	35.21	41.21	1.5	0.359	SA
DDH-020	41.21	47.21	1.5	0.146	RF
DDH-020	83.21	89.21	1.5	0.010	SC
DDH-020	95.21	101.21	1.5	0.008	SC
DDH-021	0.00	2.01	1.5	1.553	RF
DDH-021	2.01	8.01	1.5	0.977	SM
DDH-021	8.01	14.01	1.5	0.851	SG
DDH-021	14.01	20.01	1.5	1.014	SG
DDH-021	20.01	26.01	1.5	0.928	SG
DDH-021	26.01	32.01	1.5	0.283	SG
DDH-021	32.01	38.01	1.5	0.071	SM
DDH-021	38.01	44.01	1.5	0.105	SG
DDH-021	44.01	50.01	1.5	0.017	SM
DDH-021	50.01	56.01	1.5	0.060	SG
DDH-021	56.01	62.01	1.5	0.087	SG
DDH-021	62.01	68.01	1.5	0.065	SA
DDH-021	68.01	70.70	1.6	0.034	SA
DDH-022	16.81	22.81	1.5	0.130	C
DDH-022	28.81	34.81	1.5	0.119	SA
DDH-022	34.81	40.81	1.5	0.143	SA
DDH-022	40.81	46.81	1.5	0.104	SA
DDH-022	46.81	52.81	1.5	0.094	SA
DDH-022	52.81	58.81	1.5	0.151	SA
DDH-023	5.01	11.01	1.5	0.077	SC
DDH-023	11.01	17.01	1.5	0.175	RF
DDH-023	17.01	23.01	1.5	0.658	SA
DDH-023	23.01	29.01	1.5	0.914	SG
DDH-023	29.01	35.01	1.5	0.105	SM
DDH-023	35.01	41.01	1.5	0.604	SG
DDH-023	41.01	47.01	1.5	0.067	SG
DDH-023	47.01	53.01	1.5	0.067	SG
DDH-023	53.01	59.01	1.5	0.032	SM
DDH-023	59.01	65.00	1.5	0.032	RF
DDH-024	0.00	1.41	1.5	0.090	SC
DDH-024	1.41	7.41	1.5	0.029	SC
DDH-024	7.41	13.41	1.5	0.006	SC
DDH-024	13.41	19.41	1.5	0.005	SC
DDH-024	25.41	31.41	1.5	0.014	SC
DDH-024	31.41	37.41	1.5	0.007	SC
DDH-024	55.41	61.41	1.5	0.023	SM
DDH-024	61.41	67.41	1.5	0.035	SC
DDH-024	79.41	85.00	1.4	0.089	SA
DDH-025	10.21	16.21	1.5	0.370	C
DDH-025	16.21	22.21	1.5	1.914	SA
DDH-025	22.21	28.21	1.5	2.685	SA
DDH-025	28.21	34.21	1.5	1.792	SA
DDH-025	34.21	40.21	1.5	0.919	SA
DDH-025	40.21	46.21	1.5	0.492	SA
DDH-025	46.21	52.21	1.5	1.366	SA
DDH-025	52.21	58.21	1.5	2.526	SG

Hole_Id	From	To	Length	AU_PPM	ALT
DDH-025	58.21	64.21	1.5	0.988	SG
DDH-025	64.21	70.21	1.5	0.090	SG
DDH-025	70.21	76.21	1.5	0.085	SG
DDH-025	76.21	80.30	1.4	0.066	SOP
DDH-031	0.00	5.82	1.5	0.438	SG
DDH-031	5.82	11.82	1.5	2.000	SG
DDH-031	11.82	17.82	1.5	1.183	SG
DDH-031	17.82	23.82	1.5	0.046	SC
DDH-031	23.82	29.82	1.5	0.167	SA
DDH-031	29.82	35.82	1.5	0.118	SA
DDH-031	35.82	41.82	1.5	0.171	SA
DDH-031	41.82	47.82	1.5	0.211	SM
DDH-031	47.82	53.82	1.5	0.112	SA
DDH-031	53.82	59.82	1.5	0.595	SG
DDH-031	59.82	65.82	1.5	0.913	SG
DDH-031	65.82	71.82	1.5	0.956	SG
DDH-031	71.82	77.82	1.5	0.345	SG
DDH-031	77.82	83.82	1.5	0.081	SA
DDH-031	83.82	89.82	1.5	0.124	SA
DDH-035	12.21	18.21	1.5	0.253	SM
DDH-035	18.21	24.21	1.5	0.177	SM
DDH-035	24.21	30.21	1.5	0.164	SG
DDH-035	30.21	36.21	1.5	0.307	SM
DDH-035	36.21	42.21	1.5	0.268	SA
DDH-035	42.21	48.21	1.5	1.579	SA
DDH-035	48.21	54.21	1.5	0.091	SM
DDH-035	54.21	60.21	1.5	0.449	SM
DDH-035	60.21	66.21	1.5	0.948	SC
DDH-035	66.21	72.21	1.5	0.029	SC
DDH-035	72.21	78.21	1.5	0.011	SC
DDH-035	78.21	84.21	1.5	0.028	SC
DDH-035	90.21	96.21	1.5	0.084	SC
DDH-035	96.21	102.21	1.5	0.165	SM
DDH-035	102.21	108.21	1.5	0.153	SA
DDH-035	108.21	114.21	1.5	0.027	SC
DDH-035	144.21	150.21	1.5	0.060	SG
DDH-035	150.21	156.21	1.5	0.055	SG
DDH-036	33.05	39.05	1.5	0.082	C
DDH-036	39.05	45.05	1.5	0.161	SC
DDH-036	45.05	51.05	1.5	0.059	SA
DDH-036	51.05	57.05	1.5	0.049	SA
DDH-036	57.05	63.05	1.5	0.025	SA
DDH-036	63.05	69.05	1.5	0.050	SM
DDH-036	69.05	75.05	1.5	0.038	SM
DDH-036	75.05	81.05	1.5	0.025	SM
DDH-036	81.05	87.05	1.5	0.030	SM
DDH-036	87.05	93.00	1.5	0.020	SM
DDH-037	2.06	8.06	1.5	0.062	C
DDH-037	8.06	14.06	1.5	0.042	C
DDH-037	14.06	20.06	1.5	0.014	C
DDH-037	44.06	50.06	1.5	0.016	SM
DDH-038	0.00	5.56	1.5	0.495	SG
DDH-038	5.56	11.56	1.5	0.236	SG
DDH-038	11.56	17.56	1.5	0.609	SG
DDH-038	17.56	23.56	1.5	0.892	SG

Hole_Id	From	To	Length	AU_PPM	ALT
DDH-038	23.56	29.56	1.5	1.254	SG
DDH-038	29.56	35.56	1.5	1.139	SG
DDH-038	35.56	41.56	1.5	0.708	SG
DDH-038	41.56	47.56	1.5	0.711	SG
DDH-038	47.56	53.56	1.5	0.253	SG
DDH-038	53.56	59.56	1.5	0.137	SG
DDH-038	59.56	65.56	1.5	0.261	SA
DDH-038	65.56	71.56	1.5	0.267	SA
DDH-038	71.56	77.56	1.5	0.158	SA
DDH-038	77.56	83.56	1.5	0.120	SA
DDH-038	83.56	89.56	1.5	0.078	SA
DDH-038	89.56	95.56	1.5	0.195	SG
DDH-038	95.56	98.00	1.3	0.856	SG
DDH-039	66.68	72.68	1.5	0.192	SG
DDH-039	72.68	78.68	1.5	0.307	SG
DDH-039	78.68	84.68	1.5	0.273	SG
DDH-039	84.68	90.68	1.5	0.220	SA
DDH-039	90.68	95.10	1.5	0.074	SA
DDH-040	1.78	7.78	1.5	0.093	SA
DDH-040	13.78	19.78	1.5	0.014	SA
DDH-040	19.78	25.78	1.5	0.094	SM
DDH-040	25.78	31.78	1.5	0.125	SM
DDH-040	37.78	43.78	1.5	0.307	SM
DDH-040	43.78	49.78	1.5	0.183	SM
DDH-040	49.78	55.78	1.5	0.361	SG
DDH-040	55.78	61.78	1.5	0.172	SG
DDH-040	61.78	67.78	1.5	0.140	SA
DDH-040	67.78	73.78	1.5	0.097	SG
DDH-040	73.78	76.20	1.4	0.145	SG
DDH-041	0.00	1.65	1.5	0.028	RF
DDH-041	1.65	7.65	1.5	0.011	SC
DDH-041	25.65	31.65	1.5	0.067	SC
DDH-041	31.65	37.65	1.5	0.047	SM
DDH-041	37.65	43.65	1.5	0.095	SC
DDH-041	43.65	49.65	1.5	0.060	SA
DDH-041	49.65	55.65	1.5	0.057	SG
DDH-041	55.65	61.65	1.5	0.649	SG
DDH-041	61.65	67.65	1.5	0.080	SA
DDH-041	67.65	73.65	1.5	0.043	SA
DDH-041	73.65	75.20	1.5	0.040	SA
DDH-042	0.00	0.81	1.5	0.350	SA
DDH-042	0.81	6.81	1.5	0.137	SA
DDH-042	6.81	12.81	1.5	0.268	SM
DDH-042	12.81	18.81	1.5	0.164	SM
DDH-042	18.81	24.81	1.5	0.049	SM
DDH-042	24.81	30.81	1.5	0.023	SA
DDH-042	30.81	36.81	1.5	0.035	SA
DDH-042	36.81	42.81	1.5	0.149	SM
DDH-042	42.81	48.81	1.5	0.129	SG
DDH-042	48.81	54.81	1.7	0.180	SA
DDH-042	54.81	60.81	2.2	0.065	SA
DDH-042	60.81	66.81	1.5	0.070	SA
DDH-042	66.81	72.81	1.5	0.032	SA
DDH-042	72.81	78.81	1.5	0.053	SA
DDH-042	78.81	84.81	1.5	0.105	SC

Hole_Id	From	To	Length	AU_PPM	ALT
DDH-042	84.81	90.81	1.5	0.070	SA
DDH-042	90.81	96.81	1.5	0.129	SA
DDH-042	96.81	100.95	1.7	0.077	SA
DDH-043	17.90	23.90	1.5	2.043	SA
DDH-043	23.90	29.90	1.5	1.629	SA
DDH-043	29.90	35.90	1.5	0.410	SG
DDH-043	35.90	41.90	1.5	1.530	SG
DDH-043	41.90	47.90	1.5	0.381	SG
DDH-043	47.90	53.90	1.5	0.578	SG
DDH-043	53.90	59.90	1.5	0.522	SG
DDH-043	59.90	65.90	1.5	0.387	SM
DDH-043	65.90	71.90	1.5	0.203	SG
DDH-043	71.90	77.90	1.5	0.253	SG
DDH-043	77.90	83.90	1.5	0.185	SG
DDH-043	83.90	89.90	2.5	0.073	SA
DDH-043	89.90	91.90	1.6	0.099	SA
DDH-044	0.00	0.76	1.5	0.250	RF
DDH-044	0.76	6.76	1.5	0.055	SA
DDH-044	6.76	12.76	1.5	0.056	SA
DDH-044	12.76	18.76	1.5	0.031	SM
DDH-044	18.76	24.76	1.5	0.054	SA
DDH-044	24.76	30.76	1.5	0.079	SA
DDH-044	30.76	36.76	1.5	0.133	SA
DDH-044	36.76	42.76	1.5	0.162	SA
DDH-044	42.76	48.76	1.5	0.183	SA
DDH-044	48.76	54.76	1.5	0.335	SA
DDH-044	54.76	60.76	1.5	0.632	SG
DDH-044	60.76	66.76	1.5	0.395	SG
DDH-044	66.76	72.76	2.1	0.066	SA
DDH-044	72.76	78.76	3.0	0.085	SA
DDH-044	78.76	84.76	3.0	0.090	SA
DDH-044	84.76	90.76	2.4	0.050	SA
DDH-044	90.76	96.45	1.5	0.033	SA
DDH-046	0.00	4.09	3.0	0.050	SA
DDH-046	4.09	10.09	2.4	0.049	SA
DDH-046	10.09	16.09	1.5	0.141	SA
DDH-046	16.09	22.09	2.3	0.057	SA
DDH-046	22.09	28.09	1.5	0.297	SA
DDH-046	28.09	34.09	1.5	0.804	SG
DDH-046	34.09	40.09	1.5	0.540	SG
DDH-046	40.09	46.09	1.5	0.645	SG
DDH-046	46.09	52.09	1.5	0.821	SG
DDH-046	52.09	58.09	1.5	0.199	SG
DDH-046	58.09	64.09	1.5	0.278	SG
DDH-046	64.09	70.09	1.5	0.227	SG
DDH-046	70.09	71.80	1.3	0.087	SM
DDH-047	47.85	53.85	2.3	0.101	SA
DDH-047	53.85	59.85	2.6	0.071	SA
DDH-047	59.85	65.85	2.7	0.056	SA
DDH-047	65.85	71.85	1.5	0.229	SG
DDH-047	71.85	77.85	1.5	0.112	SG
DDH-047	77.85	83.85	1.5	0.074	SG
DDH-047	83.85	89.85	1.5	0.115	SA
DDH-047	89.85	95.10	1.4	0.047	SA
DDH-048	4.62	10.62	1.5	0.088	SA

Hole_Id	From	To	Length	AU_PPM	ALT
DDH-048	10.62	16.62	1.5	0.086	SA
DDH-048	16.62	22.62	1.5	0.058	SC
DDH-048	22.62	28.62	1.5	0.542	SA
DDH-048	28.62	34.62	1.5	1.582	SA
DDH-048	34.62	40.62	2.7	0.122	SA
DDH-048	40.62	46.62	3.0	0.094	SA
DDH-048	46.62	52.62	1.8	0.131	SA
DDH-048	52.62	58.62	1.5	0.095	SA
DDH-048	58.62	64.62	1.5	0.081	SA
DDH-048	64.62	70.62	1.5	0.102	SA
DDH-048	70.62	76.62	1.5	0.052	SA
DDH-048	76.62	81.30	1.4	0.031	SA
DDH-049	0.00	0.70	3.0	0.040	SA
DDH-049	0.70	6.70	3.0	0.040	SA
DDH-049	6.70	12.70	3.0	0.044	SA
DDH-049	12.70	18.70	2.8	0.039	SA
DDH-049	18.70	24.70	2.8	0.088	SA
DDH-049	24.70	30.70	2.5	0.068	SA
DDH-049	30.70	36.70	1.5	0.390	SA
DDH-049	36.70	42.70	1.5	0.174	SA
DDH-049	42.70	48.70	1.5	1.173	SG
DDH-049	48.70	54.70	1.5	0.512	SG
DDH-049	54.70	60.70	1.5	0.260	SA
DDH-049	60.70	66.70	1.5	0.177	SA
DDH-049	66.70	70.30	1.4	0.062	SA
DDH-054	6.89	12.89	1.5	0.169	SA
DDH-054	12.89	18.89	1.5	0.071	SA
DDH-054	18.89	24.89	1.5	0.038	SA
DDH-054	54.89	60.89	1.5	0.407	C
DDH-054	60.89	66.89	1.5	0.508	SA
DDH-054	66.89	72.89	1.5	0.141	SA
DDH-054	72.89	78.89	1.5	0.129	SA
DDH-054	78.89	84.89	1.5	0.084	SA
DDH-054	84.89	90.89	1.5	0.814	SG
DDH-054	90.89	96.89	1.5	0.815	SG
DDH-054	96.89	102.89	1.5	3.044	SG
DDH-054	102.89	108.89	1.5	0.390	SA
DDH-054	108.89	110.30	1.1	0.036	SA
DDH-055	2.50	8.50	1.5	0.061	SA
DDH-055	8.50	14.50	1.8	0.041	SOP
DDH-055	14.50	20.50	2.8	0.035	SC
DDH-055	20.50	26.50	1.5	0.023	SC
DDH-055	26.50	32.50	2.1	0.051	SM
DDH-055	32.50	38.50	3.0	0.021	SC
DDH-055	38.50	44.50	3.0	0.057	SC
DDH-056	0.00	3.80	1.5	0.090	SA
DDH-056	3.80	9.80	1.5	0.140	SA
DDH-056	9.80	15.80	1.5	0.256	SA
DDH-056	15.80	21.80	1.5	0.296	SA
DDH-056	21.80	27.80	1.5	0.133	SA
DDH-056	27.80	33.80	1.5	0.242	SM
DDH-056	33.80	39.80	1.5	0.154	SM
DDH-056	39.80	45.80	1.5	0.209	SA
DDH-056	45.80	51.80	1.5	0.048	SA
DDH-056	51.80	57.80	1.5	0.091	SA

Hole_Id	From	To	Length	AU_PPM	ALT
DDH-056	57.80	63.80	1.5	0.041	SA
DDH-056	63.80	69.80	1.5	0.058	SA
DDH-056	69.80	75.80	1.5	0.040	SA
DDH-056	75.80	81.80	1.5	0.045	SA
DDH-056	81.80	85.20	1.4	0.040	SA
DDH-057	0.44	6.44	2.3	0.057	SA
DDH-057	6.44	12.44	3.0	0.087	SA
DDH-057	12.44	18.44	3.0	0.115	SA
DDH-057	18.44	24.44	3.0	0.040	SA
DDH-057	24.44	30.44	2.1	0.064	SA
DDH-057	30.44	36.44	2.7	0.064	SA
DDH-057	36.44	42.44	3.0	0.056	SA
DDH-057	42.44	48.44	2.3	0.082	SA
DDH-057	48.44	54.44	1.8	0.140	SA
DDH-057	54.44	60.44	1.5	0.411	SA
DDH-057	60.44	66.44	1.5	0.101	SG
DDH-057	66.44	72.44	1.5	0.150	SG
DDH-057	72.44	78.44	1.5	0.101	SG
DDH-057	78.44	84.44	1.5	0.158	SG
DDH-057	84.44	90.44	1.5	0.101	SM
DDH-057	90.44	95.20	1.4	0.044	SA
DDH-058	8.01	14.01	3.0	0.204	C
DDH-058	14.01	20.01	1.7	0.120	SG
DDH-058	20.01	26.01	1.5	0.107	SA
DDH-058	26.01	32.01	1.5	0.422	SA
DDH-058	32.01	38.01	1.5	0.394	SA
DDH-058	38.01	44.01	1.5	0.322	SA
DDH-058	50.01	56.01	3.0	0.037	SC
DDH-058	56.01	62.01	2.1	0.059	SC
DDH-058	62.01	68.01	2.4	0.401	SA
DDH-058	68.01	74.01	2.1	0.289	SA
DDH-058	74.01	80.01	2.8	0.068	SA
DDH-058	80.01	86.01	2.5	0.109	SA
DDH-058	86.01	92.01	1.5	0.480	SA
DDH-058	92.01	98.01	1.5	0.418	SA
DDH-058	98.01	104.01	1.5	0.201	SG
DDH-059	7.49	13.49	1.5	0.145	SA
DDH-059	19.49	25.49	1.5	0.150	SA
DDH-059	25.49	31.49	1.5	0.212	SA
DDH-059	31.49	37.49	2.3	0.142	SA
DDH-059	37.49	43.49	1.9	0.145	SA
DDH-059	43.49	49.49	3.0	0.130	SA
DDH-059	49.49	55.49	1.9	0.135	SA
DDH-059	55.49	61.49	1.5	0.118	SG
DDH-059	61.49	67.49	1.5	0.153	SG
DDH-059	67.49	73.49	1.5	0.240	SG
DDH-059	73.49	79.49	1.5	0.070	SM
DDH-059	79.49	85.49	1.5	0.117	SG
DDH-059	85.49	91.49	1.5	0.255	SG
DDH-059	91.49	95.90	1.5	0.094	SG
DDH-060	0.00	1.12	1.5	0.020	SM
DDH-060	1.12	7.12	1.5	0.325	SM
DDH-060	7.12	13.12	1.5	2.087	SG
DDH-060	13.12	19.12	1.5	0.251	SM
DDH-060	19.12	25.12	1.5	0.226	SG

Hole_Id	From	To	Length	AU_PPM	ALT
DDH-060	25.12	31.12	1.5	0.124	SG
DDH-060	31.12	37.12	1.5	0.044	SM
DDH-060	37.12	43.12	1.5	0.049	SA
DDH-060	43.12	49.12	1.5	0.063	SC
DDH-060	49.12	55.12	1.5	0.025	SC
DDH-060	55.12	61.12	1.5	0.039	SC
DDH-060	61.12	67.12	1.5	0.031	SA
DDH-060	67.12	70.50	1.5	0.059	SA
DDH-061	0.00	0.01	1.5	0.060	SC
DDH-061	0.01	7.85	1.5	0.334	SA
DDH-121	32.70	41.18	1.5	0.142	SM
DDH-121	41.18	49.67	1.5	0.183	SM
DDH-121	49.67	58.15	1.5	0.430	SG
DDH-121	58.15	66.64	1.5	0.258	SG
DDH-121	66.64	75.12	1.5	0.235	SG
DDH-121	75.12	83.61	2.0	0.145	SG
DDH-121	83.61	92.09	2.6	0.133	SG
DDH-121	92.09	93.00	1.5	0.630	SG
DDH-122	0.00	4.88	1.5	0.117	SA
DDH-122	4.88	11.81	1.5	0.766	SM
DDH-122	11.81	18.74	1.5	0.629	SM
DDH-122	18.74	25.67	1.5	0.247	SM
DDH-122	25.67	32.60	1.5	0.095	SA
DDH-122	32.60	39.53	1.5	0.146	SA
DDH-122	39.53	46.45	1.5	0.519	SG
DDH-122	46.45	53.38	1.5	0.952	SG
DDH-122	53.38	60.31	1.5	0.037	SC
DDH-122	60.31	67.24	1.5	0.028	SC
DDH-122	67.24	70.20	1.4	0.035	SC
DDH-123	0.00	4.24	1.5	0.041	SA
DDH-123	4.24	12.73	1.5	0.043	SA
DDH-123	12.73	21.21	1.5	0.124	SA
DDH-123	21.21	29.70	1.5	0.106	SA
DDH-123	29.70	38.18	1.5	0.134	SA
DDH-123	38.18	46.67	1.5	0.209	SG
DDH-123	46.67	55.15	1.5	0.130	SG
DDH-123	55.15	63.64	1.5	0.210	SG
DDH-123	63.64	72.12	1.5	0.236	SG
DDH-123	72.12	77.50	1.4	0.196	SA
DDH-124	0.00	1.02	1.5	1.410	SM
DDH-124	1.02	7.94	1.5	0.794	SM
DDH-124	7.94	14.87	1.5	0.468	SG
DDH-124	14.87	21.80	1.5	0.317	SM
DDH-124	21.80	28.73	1.5	0.288	SG
DDH-124	28.73	35.66	1.5	0.100	SG
DDH-124	35.66	42.59	1.5	0.151	SM
DDH-124	42.59	49.51	1.5	0.188	SM
DDH-124	49.51	56.44	1.5	0.195	SM
DDH-124	56.44	63.37	1.5	0.287	SG
DDH-124	63.37	69.70	1.7	0.244	SG
DDH-125	0.00	3.79	1.5	0.281	SG
DDH-125	3.79	10.72	1.5	0.134	SM
DDH-125	10.72	17.64	1.5	0.050	SA
DDH-125	17.64	24.57	1.5	0.039	SA
DDH-125	24.57	31.50	1.5	0.038	SA

Hole_Id	From	To	Length	AU_PPM	ALT
DDH-125	31.50	38.43	1.5	0.029	SG
DDH-125	38.43	45.36	1.5	0.035	SM
DDH-125	45.36	50.00	1.7	0.034	SM
DDH-126	0.00	6.56	1.5	0.035	SG
DDH-126	6.56	15.05	1.5	0.099	SG
DDH-126	15.05	23.53	1.5	0.052	SA
DDH-126	23.53	32.02	1.9	0.058	SA
DDH-126	32.02	40.50	1.9	0.058	SC
DDH-126	40.50	48.99	2.6	0.082	SC
DDH-126	57.47	65.96	2.0	0.057	SC
DDH-126	65.96	74.44	2.6	0.036	SC
DDH-126	74.44	82.93	2.5	0.036	RF
DDH-126	82.93	90.00	1.5	0.062	RF
DDH-127	0.00	6.97	1.5	0.073	SC
DDH-127	6.97	15.46	1.5	0.039	SC
DDH-127	15.46	23.94	1.5	0.037	SA
DDH-127	23.94	32.43	1.5	0.086	SG
DDH-127	32.43	40.91	1.5	0.088	SM
DDH-127	40.91	49.40	1.5	0.193	SG
DDH-127	49.40	57.88	1.5	0.240	SG
DDH-127	57.88	66.37	1.5	0.213	SM
DDH-127	66.37	74.85	1.5	0.157	SA
DDH-127	74.85	83.34	1.5	0.072	SA
DDH-127	83.34	91.82	1.5	0.057	SA
DDH-127	91.82	100.31	1.5	0.053	SA
DDH-127	100.31	105.80	1.4	0.057	SA
DDH-128	0.00	1.67	1.5	0.063	SM
DDH-128	1.67	10.15	1.5	0.363	SM
DDH-128	10.15	18.64	1.5	0.114	SG
DDH-128	18.64	27.12	1.5	0.043	SA
DDH-128	27.12	35.61	1.5	0.072	SM
DDH-128	35.61	44.10	1.5	0.113	SC
DDH-128	44.10	52.58	1.5	0.091	SM
DDH-128	52.58	61.07	1.5	0.053	SC
DDH-128	61.07	69.55	1.5	0.065	SC
DDH-128	69.55	71.50	1.2	0.230	SC
DDH-129	0.00	7.61	1.5	1.429	SG
DDH-129	7.61	16.09	1.5	0.135	SG
DDH-129	16.09	24.58	1.5	0.053	SC
DDH-129	24.58	33.06	2.2	0.036	SC
DDH-129	50.03	58.52	1.5	0.070	RF
DDH-129	58.52	61.70	1.6	0.045	SM
DDH-130	0.00	6.17	1.5	0.355	SG
DDH-130	6.17	14.65	1.5	0.516	SG
DDH-130	14.65	23.14	1.5	0.227	SM
DDH-130	23.14	31.62	1.5	0.103	SM
DDH-130	31.62	40.11	1.5	0.090	SC
DDH-130	40.11	48.59	1.5	0.093	SM
DDH-130	48.59	57.08	1.5	0.039	SC
DDH-130	57.08	61.50	1.5	0.040	SC
DDH-131	0.00	8.26	1.5	2.676	SG
DDH-131	8.26	16.74	1.5	0.766	SM
DDH-131	16.74	25.23	1.5	0.245	SM
DDH-131	25.23	33.71	1.5	0.499	SG
DDH-131	33.71	42.20	1.5	0.110	SA

Hole_Id	From	To	Length	AU_PPM	ALT
DDH-131	42.20	50.69	1.5	0.121	SA
DDH-131	50.69	59.17	1.5	0.080	SA
DDH-131	59.17	60.70	1.1	0.045	SA
DDH-132	0.00	4.50	1.5	0.050	RF
DDH-132	4.50	12.98	1.5	0.069	SC
DDH-132	46.92	55.41	1.5	0.050	RF
DDH-132	55.41	63.89	1.5	0.255	SA
DDH-132	63.89	72.38	1.5	0.098	RF
DDH-132	72.38	80.86	1.5	0.166	SA
DDH-132	80.86	89.35	1.5	0.343	SM
DDH-132	89.35	97.84	1.5	0.174	SC
DDH-132	97.84	106.32	1.5	0.256	SG
DDH-132	106.32	114.81	1.5	0.273	SG
DDH-132	114.81	115.00	1.0	0.260	SG
DDH-133	0.00	8.06	1.5	0.056	RF
DDH-133	8.06	16.55	1.5	0.021	C
DDH-133	25.03	33.52	1.5	0.031	RF
DDH-133	50.49	58.97	2.6	0.035	RF
DDH-133	58.97	67.46	2.6	0.048	C
DDH-133	67.46	75.94	1.5	0.401	SA
DDH-133	75.94	84.43	1.5	0.526	SA
DDH-133	84.43	92.91	1.5	0.489	SA
DDH-133	92.91	101.40	1.5	0.652	SA
DDH-133	101.40	109.88	1.5	0.050	C
DDH-133	109.88	118.37	1.5	0.037	C
DDH-133	118.37	126.85	1.5	0.253	C
DDH-133	126.85	135.34	1.6	0.275	SA
DDH-133	135.34	143.83	2.7	0.026	C
DDH-133	143.83	152.31	1.5	0.163	SA
DDH-133	152.31	160.80	1.5	1.143	SG
DDH-133	160.80	169.28	1.5	0.860	SG
DDH-133	169.28	177.77	1.6	1.943	SG
DDH-133	177.77	186.25	1.9	0.051	SC
DDH-133	186.25	194.74	1.5	0.017	SC
DDH-133	194.74	203.00	1.6	0.038	SA
DDH-134	0.00	0.71	1.5	0.080	SG
DDH-134	0.71	7.10	1.5	0.102	SG
DDH-134	7.10	13.48	1.5	0.142	SG
DDH-134	13.48	19.87	1.6	0.055	SG
DDH-134	19.87	26.25	2.1	0.045	SA
DDH-134	26.25	32.64	2.5	0.078	SG
DDH-134	32.64	39.02	2.3	0.047	SA
DDH-134	39.02	45.41	1.8	0.044	SA
DDH-134	45.41	51.79	1.5	0.086	C
DDH-134	51.79	58.18	2.2	0.059	SM
DDH-134	58.18	64.56	1.5	0.074	SA
DDH-134	64.56	70.95	1.5	0.076	SM
DDH-134	70.95	77.33	1.5	0.065	SC
DDH-134	77.33	83.72	1.5	0.103	SM
DDH-134	83.72	90.10	2.2	0.285	SA
DDH-134	90.10	96.49	2.0	0.148	SA
DDH-134	96.49	102.87	1.7	0.151	SA
DDH-134	102.87	109.26	1.5	0.239	SG
DDH-134	109.26	115.64	1.5	0.341	SG
DDH-134	115.64	122.03	1.5	0.395	SG

Hole_Id	From	To	Length	AU_PPM	ALT
DDH-134	122.03	128.41	1.5	0.071	SM
DDH-134	128.41	134.80	1.5	0.044	SM
DDH-134	134.80	141.18	1.5	0.052	SM
DDH-134	141.18	147.57	1.5	0.050	SM
DDH-134	147.57	153.95	1.5	0.049	SM
DDH-134	153.95	159.50	1.7	0.034	SA
DDH-135	17.98	24.91	1.5	0.056	C
DDH-135	24.91	31.84	1.5	0.072	SG
DDH-135	31.84	38.76	1.5	0.075	SA
DDH-135	38.76	45.69	1.5	0.057	SA
DDH-135	45.69	52.62	1.5	0.137	SA
DDH-135	52.62	59.55	1.5	0.057	SA
DDH-135	59.55	66.48	1.5	0.202	SM
DDH-135	66.48	73.40	1.5	0.089	SA
DDH-135	73.40	80.33	1.5	0.229	SM
DDH-135	80.33	87.26	1.5	0.391	SA
DDH-135	87.26	94.19	1.5	0.258	SG
DDH-135	94.19	101.12	1.5	0.239	SG
DDH-061	7.85	15.68	1.5	0.963	SA
DDH-061	15.68	23.51	1.5	0.964	SG
DDH-061	23.51	31.34	1.5	1.926	SG
DDH-061	31.34	39.18	1.5	2.786	SG
DDH-061	39.18	47.01	1.5	2.765	SG
DDH-061	47.01	54.84	1.5	2.351	SM
DDH-061	54.84	62.67	1.5	0.634	SM
DDH-061	62.67	70.51	1.5	2.680	SG
DDH-061	94.00	101.83	3.0	0.040	SA
DDH-061	101.83	109.67	3.0	0.061	SC
DDH-061	109.67	117.50	3.0	0.115	SM
DDH-061	117.50	125.33	3.0	0.059	SM
DDH-061	125.33	133.16	3.0	0.056	SA
DDH-061	133.16	141.00	3.0	0.040	SA
DDH-061	141.00	148.83	3.0	0.028	SA
DDH-061	148.83	156.66	3.0	0.030	SA
DDH-061	156.66	163.20	2.9	0.062	SC
DDH-084	0.00	2.01	1.5	0.175	SM
DDH-084	2.01	8.01	1.5	0.230	SM
DDH-084	8.01	14.01	1.5	0.163	SM
DDH-084	14.01	20.01	1.5	0.637	SM
DDH-084	20.01	26.01	1.5	0.173	SOP
DDH-084	26.01	32.01	1.5	0.035	SOP
DDH-084	32.01	38.01	2.8	0.027	SA
DDH-084	44.01	50.01	2.4	0.022	SA
DDH-084	50.01	56.01	1.5	0.027	SC
DDH-085	5.51	11.51	1.5	0.007	SM
DDH-085	11.51	17.51	2.9	0.028	SM
DDH-085	17.51	23.51	3.0	0.030	SA
DDH-085	23.51	29.51	1.7	0.030	SA
DDH-085	29.51	35.51	3.0	0.032	SA
DDH-085	35.51	41.51	3.0	0.028	SA
DDH-085	41.51	47.51	2.0	0.023	SG
DDH-085	47.51	53.51	2.1	0.019	SA
DDH-085	53.51	59.51	3.0	0.064	SC
DDH-085	59.51	65.51	3.0	0.093	SA
DDH-085	65.51	71.51	3.0	0.047	SC

Hole_Id	From	To	Length	AU_PPM	ALT
DDH-085	71.51	77.51	3.0	0.073	SC
DDH-085	77.51	81.30	3.3	0.053	SC
DDH-086	0.00	3.63	1.5	0.404	SM
DDH-086	16.06	22.27	1.5	0.018	SM
DDH-086	47.12	53.33	2.6	0.037	SA
DDH-086	53.33	59.54	3.0	0.059	SA
DDH-086	59.54	65.75	2.3	0.039	SA
DDH-086	65.75	71.96	2.6	0.058	SA
DDH-086	71.96	78.17	3.0	0.162	SA
DDH-086	78.17	84.39	1.8	0.040	SA
DDH-086	84.39	90.60	1.5	0.017	SM
DDH-086	90.60	96.81	1.5	0.015	SA
DDH-086	96.81	103.02	1.5	0.025	SM
DDH-086	103.02	109.23	2.5	0.087	SA
DDH-086	109.23	115.44	2.6	0.067	SA
DDH-086	115.44	117.40	1.9	0.021	SA
DDH-087	0.00	2.51	1.5	0.214	RF
DDH-087	2.51	8.51	1.5	0.415	SM
DDH-087	8.51	14.51	1.5	0.097	SM
DDH-087	14.51	20.51	1.5	0.482	SG
DDH-087	20.51	26.51	1.5	1.214	SG
DDH-087	26.51	32.51	1.5	0.184	SG
DDH-087	32.51	38.51	1.5	0.086	SM
DDH-087	38.51	44.51	3.0	0.068	SG
DDH-087	44.51	50.00	2.1	0.102	SG
DDH-088	0.00	2.51	1.5	0.064	SC
DDH-088	2.51	8.51	2.3	0.066	SC
DDH-088	8.51	14.51	2.6	0.049	SC
DDH-088	14.51	20.51	2.3	0.060	SC
DDH-088	20.51	26.51	2.3	0.062	SC
DDH-088	26.51	32.51	2.4	0.097	SC
DDH-088	32.51	38.51	5.6	0.080	SC
DDH-088	38.51	40.10	5.6	0.080	SC
DDH-089	3.51	9.51	1.5	0.028	SA
DDH-089	9.51	15.51	1.5	0.021	SA
DDH-089	15.51	21.51	1.5	0.009	SC
DDH-090	5.51	11.51	1.5	0.095	SA
DDH-090	11.51	17.51	1.5	0.124	SG
DDH-090	17.51	23.51	1.5	0.267	SG
DDH-090	23.51	29.51	1.5	0.122	SA
DDH-090	29.51	35.51	1.5	0.052	SA
DDH-090	35.51	41.51	1.5	0.098	SA
DDH-090	41.51	47.51	1.5	0.063	SA
DDH-090	47.51	53.51	1.5	0.107	SM
DDH-090	53.51	59.51	1.5	0.427	SM
DDH-090	59.51	65.51	1.5	0.228	SA
DDH-090	65.51	71.51	1.5	0.252	SG
DDH-090	71.51	77.51	1.5	0.253	SG
DDH-090	77.51	83.30	1.4	0.587	SG
DDH-091	0.00	0.26	1.5	0.210	SM
DDH-091	0.26	8.09	1.5	0.221	SM
DDH-091	8.09	15.93	1.5	0.064	SM
DDH-091	15.93	23.76	1.5	0.038	SC
DDH-091	23.76	31.59	1.5	0.032	SC
DDH-091	31.59	39.42	1.5	0.043	SC

Hole_Id	From	To	Length	AU_PPM	ALT
DDH-091	39.42	47.26	1.5	0.037	SC
DDH-091	47.26	55.09	1.5	0.031	SM
DDH-091	55.09	62.92	1.5	0.066	SM
DDH-091	62.92	70.75	1.5	0.117	SC
DDH-091	70.75	78.59	1.5	0.070	SM
DDH-091	78.59	86.42	1.5	0.056	SM
DDH-091	86.42	94.25	1.5	0.078	SM
DDH-091	94.25	100.00	1.9	0.178	SA
DDH-092	0.00	3.92	1.5	0.060	C
DDH-092	3.92	11.75	1.5	0.111	C
DDH-092	11.75	19.58	1.5	0.324	SG
DDH-092	19.58	27.41	1.5	0.085	SM
DDH-092	27.41	35.25	1.5	0.075	SM
DDH-092	35.25	43.08	1.5	0.049	SM
DDH-092	43.08	50.91	1.5	0.035	SM
DDH-092	50.91	58.74	1.5	0.050	SA
DDH-092	58.74	66.58	1.5	0.049	SA
DDH-092	66.58	74.41	1.5	0.040	SA
DDH-092	74.41	82.24	1.5	0.048	SG
DDH-092	82.24	90.07	1.5	0.044	SG
DDH-092	90.07	97.91	1.5	0.044	SA
DDH-092	97.91	100.50	1.5	0.046	SA
DDH-093	0.00	6.70	1.5	1.490	SG
DDH-093	6.70	13.63	1.5	0.973	SG
DDH-093	13.63	20.55	1.5	1.070	SG
DDH-093	20.55	27.48	1.5	0.146	SA
DDH-093	27.48	34.41	1.5	0.186	SG
DDH-093	34.41	41.34	1.5	0.131	SG
DDH-093	41.34	48.27	1.5	0.075	SG
DDH-093	48.27	55.19	1.5	0.138	SG
DDH-093	55.19	62.12	1.5	0.050	SA
DDH-093	62.12	69.05	1.5	0.063	SA
DDH-093	69.05	75.98	1.5	0.063	SA
DDH-093	75.98	82.91	1.5	0.415	SA
DDH-093	82.91	89.84	1.5	0.242	SA
DDH-093	89.84	96.76	1.5	0.211	SA
DDH-093	96.76	100.00	1.3	0.146	SM
DDH-094	0.00	6.17	1.5	0.807	SM
DDH-094	6.17	12.56	1.5	0.734	SG
DDH-094	12.56	18.94	1.5	0.771	SG
DDH-094	18.94	25.33	1.5	0.673	SG
DDH-094	25.33	31.71	1.5	0.080	SA
DDH-094	31.71	38.10	1.5	0.112	SA
DDH-094	38.10	44.48	1.5	0.294	SM
DDH-094	44.48	50.87	1.5	0.194	SM
DDH-094	50.87	57.25	1.5	0.333	SM
DDH-094	57.25	63.64	1.5	0.151	SM
DDH-094	63.64	70.02	1.5	0.083	SA
DDH-094	70.02	76.41	1.5	0.098	SA
DDH-094	76.41	82.79	1.5	0.178	SM
DDH-094	82.79	89.18	1.5	0.231	SM
DDH-094	89.18	95.56	1.5	0.254	SM
DDH-094	95.56	100.00	1.4	0.086	SM
DDH-095	0.00	0.71	1.5	0.040	RF
DDH-095	0.71	9.19	1.5	0.042	RF

Hole_Id	From	To	Length	AU_PPM	ALT
DDH-095	9.19	17.68	1.5	0.038	C
DDH-095	17.68	26.16	1.5	0.060	SA
DDH-095	26.16	34.65	1.5	0.064	SG
DDH-095	34.65	43.13	1.5	0.045	SA
DDH-095	43.13	51.62	1.5	0.039	SA
DDH-095	51.62	60.10	1.5	0.050	SA
DDH-095	60.10	68.59	1.5	0.067	SA
DDH-095	68.59	77.07	1.5	0.093	SA
DDH-095	77.07	85.56	1.5	0.083	SA
DDH-095	85.56	94.05	1.5	0.113	SA
DDH-095	94.05	102.53	1.5	0.075	SA
DDH-095	102.53	111.02	1.5	0.258	SA
DDH-095	111.02	119.50	1.5	0.096	SA
DDH-095	119.50	120.00	1.5	0.040	SM
DDH-096	53.74	62.23	2.5	0.057	C
DDH-096	62.23	70.71	1.6	0.063	SA
DDH-096	70.71	79.20	1.5	0.078	SA
DDH-096	79.20	87.68	1.5	0.088	SA
DDH-096	87.68	96.17	1.5	0.083	SM
DDH-096	96.17	104.65	1.5	0.095	SM
DDH-096	104.65	113.14	1.5	0.080	SA
DDH-096	113.14	121.62	1.5	0.213	SA
DDH-096	121.62	130.11	1.5	0.121	SA
DDH-096	130.11	138.59	1.5	0.326	SG
DDH-096	138.59	147.08	1.5	0.222	SA
DDH-096	147.08	150.00	1.5	0.065	SA
DDH-097	0.00	1.70	1.5	0.147	SA
DDH-097	1.70	10.18	1.5	0.147	SA
DDH-097	10.18	18.67	1.5	0.069	SC
DDH-097	18.67	27.15	1.5	0.060	SA
DDH-097	27.15	35.64	1.5	0.054	SA
DDH-097	35.64	44.12	1.5	0.029	SA
DDH-097	44.12	52.61	1.5	0.036	SA
DDH-097	52.61	61.09	1.5	0.040	SC
DDH-097	61.09	69.58	1.5	0.043	SC
DDH-097	95.04	103.52	2.2	0.041	SC
DDH-097	103.52	112.01	2.1	0.036	SC
DDH-098	0.00	2.22	1.5	0.023	SC
DDH-098	2.22	10.05	1.5	0.029	C
DDH-098	49.21	57.05	1.5	0.023	SC
DDH-098	57.05	64.88	2.3	0.039	SC
DDH-098	64.88	72.71	2.0	0.052	SC
DDH-098	72.71	80.54	2.8	0.076	SC
DDH-098	80.54	88.38	2.1	0.041	SC
DDH-098	88.38	96.21	2.0	0.052	SC
DDH-099	0.00	7.35	1.5	0.070	SC
DDH-099	24.32	32.81	1.5	0.047	SOP
DDH-099	32.81	41.30	2.1	0.041	SOP
DDH-099	41.30	49.78	2.2	0.041	SA
DDH-099	58.27	66.75	3.0	0.020	SC
DDH-099	66.75	75.24	2.7	0.046	RF
DDH-099	75.24	83.72	2.2	0.044	C
DDH-099	83.72	92.21	1.9	0.037	RF
DDH-099	109.18	117.66	1.6	0.068	SA
DDH-099	143.12	151.60	1.5	0.031	SC

Hole_Id	From	To	Length	AU_PPM	ALT
DDH-099	151.60	160.09	1.5	0.042	SC
DDH-099	160.09	168.57	1.5	0.026	SC
DDH-099	177.06	185.54	1.5	0.026	SC
DDH-099	185.54	194.03	2.7	0.018	SC
DDH-100	0.00	0.12	1.5	0.070	RF
DDH-100	0.12	7.45	1.5	0.406	SA
DDH-100	7.45	14.77	1.5	0.609	SG
DDH-100	14.77	22.10	1.5	0.454	SA
DDH-100	22.10	29.42	1.5	0.667	SG
DDH-100	29.42	36.75	1.5	1.317	SG
DDH-100	36.75	44.07	1.5	0.631	SM
DDH-100	44.07	51.39	1.5	0.406	SA
DDH-100	51.39	58.72	1.5	0.281	SA
DDH-100	58.72	66.04	1.5	0.580	SG
DDH-100	66.04	73.37	1.5	0.693	SG
DDH-100	73.37	80.69	1.5	1.960	SG
DDH-100	80.69	88.02	1.5	0.337	SA
DDH-100	88.02	95.34	1.5	0.226	SA
DDH-100	95.34	102.67	1.5	0.229	SA
DDH-100	102.67	109.99	1.5	0.165	SA
DDH-100	109.99	117.32	1.5	0.118	SA
DDH-100	117.32	124.64	1.5	0.107	SA
DDH-100	124.64	131.97	1.5	0.248	SM
DDH-100	131.97	139.29	1.5	0.044	SA
DDH-100	139.29	146.62	1.5	0.039	SA
DDH-100	146.62	153.94	1.5	0.043	C
DDH-100	153.94	156.00	1.5	0.023	C
DDH-101	0.00	1.66	1.5	0.049	RF
DDH-101	1.66	8.28	1.5	0.035	RF
DDH-101	8.28	14.90	1.5	0.040	RF
DDH-101	61.24	67.86	1.5	0.280	SA
DDH-101	67.86	74.48	1.5	0.415	SA
DDH-101	74.48	81.10	1.5	0.176	SA
DDH-101	81.10	87.72	1.5	0.148	SA
DDH-101	87.72	94.34	1.5	0.148	SA
DDH-101	94.34	100.96	1.5	0.719	SG
DDH-101	100.96	107.58	1.5	1.091	SG
DDH-101	107.58	114.20	1.5	0.972	SG
DDH-101	114.20	120.82	1.5	0.487	SM
DDH-101	120.82	127.44	1.5	0.632	SG
DDH-101	127.44	134.06	1.5	0.202	SG
DDH-101	134.06	140.68	1.5	0.178	SA
DDH-101	140.68	147.30	1.5	0.061	SA
DDH-101	147.30	153.92	1.5	0.047	SA
DDH-101	153.92	160.54	1.5	0.043	SA
DDH-101	160.54	167.16	1.5	0.154	SA
DDH-101	167.16	173.78	1.5	0.111	SA
DDH-101	173.78	180.40	1.5	0.068	SA
DDH-101	180.40	187.02	1.5	0.044	SA
DDH-101	187.02	193.64	1.5	0.028	C
DDH-101	193.64	200.00	1.7	0.028	C
DDH-102	0.00	2.66	1.5	2.336	SG
DDH-102	2.66	9.58	1.5	2.595	SG
DDH-102	9.58	16.51	1.5	1.755	SG
DDH-102	16.51	23.44	1.5	0.953	SM

Hole_Id	From	To	Length	AU_PPM	ALT
DDH-102	23.44	30.37	1.5	1.243	SG
DDH-102	30.37	37.30	1.5	1.424	SG
DDH-102	37.30	44.23	1.5	0.439	SG
DDH-102	44.23	51.15	1.5	0.219	SA
DDH-102	51.15	58.08	1.5	0.141	SA
DDH-102	58.08	65.01	1.5	0.157	SA
DDH-102	65.01	71.94	1.5	0.207	SA
DDH-102	71.94	78.87	1.5	0.263	SA
DDH-102	78.87	85.79	1.5	0.193	SM
DDH-102	85.79	92.72	1.5	0.258	SG
DDH-102	92.72	99.65	1.5	0.135	SA
DDH-102	99.65	106.58	1.5	0.214	SA
DDH-102	106.58	113.51	1.5	0.120	SA
DDH-102	113.51	120.44	1.5	0.120	SA
DDH-102	120.44	127.36	1.5	0.119	SA
DDH-102	127.36	134.29	1.5	0.088	SA
DDH-102	134.29	141.22	1.5	0.072	SC
DDH-102	141.22	148.15	1.5	0.056	SC
DDH-102	148.15	150.00	1.5	0.046	SC
DDH-103	0.00	5.08	1.5	0.026	C
DDH-103	5.08	12.01	1.5	0.020	C
DDH-104	0.00	0.23	1.5	0.110	RF
DDH-104	0.23	7.16	1.5	2.259	SG
DDH-104	7.16	14.09	1.5	1.741	SG
DDH-104	14.09	21.02	1.5	1.174	SG
DDH-104	21.02	27.94	1.5	3.660	SG
DDH-104	27.94	34.87	1.5	6.509	SG
DDH-104	34.87	41.80	1.5	2.766	SG
DDH-104	41.80	48.73	1.5	1.419	SG
DDH-104	48.73	55.66	1.5	0.863	SG
DDH-104	55.66	62.58	1.5	0.103	SA
DDH-104	62.58	69.51	1.5	0.315	SG
DDH-104	69.51	76.44	1.5	0.289	SG
DDH-104	76.44	83.37	1.5	0.456	SG
DDH-104	83.37	90.30	1.5	0.115	SA
DDH-104	90.30	97.23	1.5	0.425	SG
DDH-104	97.23	104.15	1.5	0.163	SA
DDH-104	104.15	111.08	1.5	0.068	SA
DDH-104	111.08	118.01	1.5	0.034	SA
DDH-104	118.01	124.94	1.5	0.036	SA
DDH-104	124.94	130.00	1.4	0.026	SA
DDH-105	0.00	1.15	1.5	0.360	SA
DDH-105	1.15	8.08	1.5	0.142	SA
DDH-105	8.08	15.01	1.5	0.112	SA
DDH-105	15.01	21.94	1.5	0.072	SA
DDH-105	21.94	28.87	1.5	0.052	SA
DDH-105	28.87	35.80	1.5	0.032	SM
DDH-105	35.80	42.72	1.5	0.060	SM
DDH-105	42.72	49.65	1.5	0.056	SA
DDH-105	49.65	56.58	1.5	0.035	SC
DDH-105	56.58	63.51	1.5	0.052	SA
DDH-105	63.51	70.44	1.5	0.057	SM
DDH-105	70.44	77.36	1.5	0.087	SM
DDH-105	77.36	84.29	1.5	0.062	SC
DDH-105	84.29	91.22	1.5	0.086	SG

Hole_Id	From	To	Length	AU_PPM	ALT
DDH-105	91.22	98.15	1.5	0.072	SA
DDH-105	98.15	105.08	1.5	0.057	SA
DDH-105	105.08	112.01	1.5	0.049	SA
DDH-105	112.01	118.93	1.5	0.027	SA
DDH-105	118.93	122.70	1.4	0.027	SA
DDH-106	30.41	38.89	1.5	0.057	SC
DDH-106	38.89	47.38	1.5	0.282	SA
DDH-106	47.38	55.86	1.5	0.146	SA
DDH-106	55.86	61.40	1.5	0.120	SM
DDH-107	0.00	6.85	1.5	0.369	SG
DDH-107	6.85	14.69	1.5	0.338	SM
DDH-107	14.69	22.52	1.5	0.975	SM
DDH-107	22.52	30.35	1.5	0.462	SG
DDH-107	30.35	38.18	1.5	0.464	SG
DDH-107	38.18	46.02	1.5	0.205	SA
DDH-107	46.02	53.85	1.5	0.120	SA
DDH-107	53.85	61.68	1.5	0.173	SA
DDH-107	61.68	69.51	1.5	0.066	SA
DDH-107	69.51	77.35	1.5	0.110	SA
DDH-107	77.35	85.18	1.5	0.103	SG
DDH-107	85.18	93.01	1.5	0.140	SG
DDH-107	93.01	100.84	1.5	0.077	SG
DDH-107	100.84	108.68	1.5	0.043	SA
DDH-107	108.68	116.51	1.5	0.035	SA
DDH-107	116.51	124.34	2.1	0.032	SA
DDH-107	124.34	130.00	1.9	0.026	SA
DDH-108	0.00	0.07	1.5	0.300	RF
DDH-108	8.56	17.04	1.5	0.127	SG
DDH-108	17.04	25.53	1.5	0.079	SM
DDH-108	25.53	34.01	1.5	0.062	SA
DDH-108	34.01	42.50	1.5	0.081	SA
DDH-108	42.50	50.98	1.5	0.079	C
DDH-108	50.98	59.47	1.5	0.061	C
DDH-108	59.47	67.95	1.5	0.243	SG
DDH-108	67.95	76.44	1.5	0.764	SG
DDH-108	76.44	84.92	1.5	0.286	SG
DDH-108	84.92	93.41	1.5	0.192	SM
DDH-108	93.41	101.89	1.5	0.204	SM
DDH-108	101.89	110.38	1.5	0.546	SM
DDH-108	110.38	118.86	1.5	0.149	SA
DDH-108	118.86	127.35	1.5	0.059	SA
DDH-108	127.35	130.00	1.3	0.051	C
DDH-109	0.00	8.96	1.5	0.470	SM
DDH-109	8.96	18.93	1.5	0.459	SA
DDH-109	18.93	28.90	1.5	0.907	SM
DDH-109	28.90	38.87	1.5	0.533	SC
DDH-109	38.87	48.84	1.5	0.089	SC
DDH-109	48.84	58.81	1.5	0.048	SC
DDH-109	58.81	68.78	1.5	0.050	SC
DDH-109	68.78	78.75	2.4	0.046	SC
DDH-109	78.75	80.00	2.0	0.060	SC
DDH-110	0.00	9.42	1.5	0.936	SG
DDH-110	9.42	19.39	1.5	0.058	SG
DDH-110	19.39	29.36	1.5	0.029	SC
DDH-110	29.36	39.33	1.5	0.022	SC

Hole_Id	From	To	Length	AU_PPM	ALT
DDH-110	39.33	49.30	1.5	0.021	SC
DDH-110	49.30	59.27	1.5	0.020	RF
DDH-110	69.24	79.21	1.6	0.048	SC
DDH-110	79.21	80.00	2.0	0.040	SC
DDH-111	0.00	8.87	1.5	0.047	SA
DDH-111	8.87	18.84	1.5	0.042	SA
DDH-111	18.84	28.81	1.5	0.048	SA
DDH-111	28.81	38.78	1.5	0.055	SG
DDH-111	38.78	48.75	1.5	0.041	SC
DDH-111	48.75	58.72	1.5	0.031	SC
DDH-111	58.72	68.69	2.0	0.058	SC
DDH-111	68.69	70.00	1.1	0.038	SC
DDH-112	0.00	4.45	1.5	0.043	RF
DDH-112	4.45	12.94	1.5	0.135	SA
DDH-112	12.94	21.43	1.5	0.039	SA
DDH-112	21.43	29.91	1.5	0.057	SA
DDH-112	29.91	38.40	1.5	0.135	SA
DDH-112	38.40	46.88	1.5	0.092	SA
DDH-112	46.88	55.37	1.5	0.297	SM
DDH-112	55.37	63.85	1.5	0.191	SA
DDH-112	63.85	72.34	1.5	0.120	SA
DDH-112	72.34	80.82	1.5	0.119	SA
DDH-112	80.82	89.31	1.5	0.125	SA
DDH-112	89.31	97.79	1.5	0.235	SA
DDH-112	97.79	106.28	1.5	0.127	SA
DDH-112	106.28	114.76	1.5	0.107	SA
DDH-112	114.76	123.25	1.5	0.067	SA
DDH-112	123.25	127.00	1.4	0.072	SA
DDH-113	0.00	3.99	1.5	0.059	SA
DDH-113	3.99	12.47	1.5	0.065	SA
DDH-113	12.47	20.96	1.5	0.132	SA
DDH-113	20.96	29.44	1.5	0.097	SA
DDH-113	29.44	37.93	1.5	0.126	SA
DDH-113	37.93	46.41	1.5	0.103	SA
DDH-113	46.41	54.90	1.5	0.112	SA
DDH-113	54.90	63.39	1.5	0.241	SG
DDH-113	63.39	71.87	1.5	0.252	SG
DDH-113	71.87	80.36	1.5	0.142	SA
DDH-113	80.36	88.84	1.5	0.121	SG
DDH-113	88.84	97.33	1.5	0.094	SA
DDH-113	97.33	105.81	1.5	0.036	SA
DDH-113	105.81	114.30	1.5	0.097	SA
DDH-113	114.30	122.78	1.5	0.061	SA
DDH-113	122.78	131.27	1.5	0.056	SA
DDH-113	131.27	139.75	1.5	0.071	SA
DDH-113	139.75	140.50	1.0	0.060	SA
DDH-114	0.00	0.32	1.5	0.840	SG
DDH-114	0.32	7.64	1.5	1.020	SG
DDH-114	7.64	14.97	1.5	2.253	SM
DDH-114	14.97	22.29	1.5	2.462	SM
DDH-114	22.29	29.62	1.5	0.996	SM
DDH-114	29.62	36.94	1.5	0.201	SA
DDH-114	36.94	44.27	1.5	0.106	SA
DDH-114	44.27	51.59	1.5	0.052	SA
DDH-114	51.59	58.91	1.5	0.026	SA

Hole_Id	From	To	Length	AU_PPM	ALT
DDH-114	58.91	66.24	1.5	0.036	SA
DDH-114	66.24	73.56	1.5	0.024	SC
DDH-114	73.56	80.89	1.5	0.016	SA
DDH-114	80.89	88.21	1.5	0.020	SC
DDH-114	88.21	95.54	1.5	0.028	SC
DDH-114	95.54	99.80	1.4	0.044	SC
DDH-115	0.00	0.32	1.5	0.700	SA
DDH-115	0.32	7.64	1.5	0.403	SA
DDH-115	7.64	14.97	1.5	0.552	SG
DDH-115	14.97	22.29	1.5	2.125	SG
DDH-115	22.29	29.62	1.5	0.864	SG
DDH-115	29.62	36.94	1.5	0.566	SG
DDH-115	36.94	44.27	1.5	0.155	SG
DDH-115	44.27	51.59	1.5	0.041	SA
DDH-115	51.59	58.91	1.5	0.014	SA
DDH-115	58.91	66.24	1.5	0.052	SA
DDH-115	66.24	73.56	1.5	0.055	SA
DDH-115	73.56	80.89	1.5	0.076	SA
DDH-115	80.89	88.21	1.5	0.090	SA
DDH-115	88.21	95.54	1.5	0.060	SA
DDH-115	95.54	98.70	1.4	0.082	SA
DDH-116	59.13	67.61	1.9	0.191	SG
DDH-116	67.61	76.10	1.5	0.085	C
DDH-116	76.10	84.58	1.5	0.063	SC
DDH-116	84.58	93.07	1.5	0.051	SG
DDH-116	93.07	101.55	1.5	0.048	SC
DDH-116	101.55	110.04	1.5	0.059	SG
DDH-116	110.04	116.40	1.4	0.059	SC
DDH-117	0.00	0.06	1.5	0.150	RF
DDH-117	0.06	6.99	1.5	0.059	RF
DDH-117	6.99	13.91	1.5	0.065	RF
DDH-117	13.91	20.84	1.5	0.218	SG
DDH-117	20.84	27.77	1.5	0.316	SG
DDH-117	27.77	34.70	1.5	0.791	SG
DDH-117	34.70	41.63	1.5	0.049	RF
DDH-117	41.63	48.56	1.5	0.040	RF
DDH-117	48.56	55.48	1.5	0.033	C
DDH-117	55.48	62.41	1.5	0.035	C
DDH-117	62.41	69.34	2.1	0.392	C
DDH-117	69.34	76.27	1.6	0.132	C
DDH-117	76.27	83.20	1.5	0.075	SA
DDH-117	83.20	90.12	1.5	0.075	SA
DDH-117	90.12	97.05	1.5	0.064	SA
DDH-117	97.05	100.20	1.4	0.059	SA
DDH-118	0.00	0.85	1.5	0.170	RF
DDH-118	9.33	17.82	1.5	0.575	RF
DDH-118	17.82	26.30	1.5	1.333	SA
DDH-118	26.30	34.79	1.5	2.727	SG
DDH-118	34.79	43.27	1.5	0.224	SG
DDH-118	43.27	51.76	1.5	0.094	SM
DDH-118	51.76	60.25	1.5	0.061	SM
DDH-118	68.73	70.00	1.0	0.050	SC
DDH-119	0.00	7.04	1.5	0.063	C
DDH-119	7.04	15.53	1.5	0.075	C
DDH-119	24.01	32.50	1.5	0.131	SA

Hole_Id	From	To	Length	AU_PPM	ALT
DDH-119	32.50	40.98	1.5	0.132	SA
DDH-119	40.98	49.47	1.5	0.205	SG
DDH-119	49.47	57.95	1.5	0.212	SG
DDH-119	57.95	66.44	1.5	0.183	SA
DDH-119	66.44	74.93	1.5	0.103	SA
DDH-119	74.93	83.41	1.5	0.159	SA
DDH-119	83.41	91.90	1.5	0.210	SA
DDH-119	91.90	100.00	1.4	0.168	SA
DDH-120	0.00	7.38	1.5	0.093	SM
DDH-120	7.38	15.87	1.5	0.103	SM
DDH-120	15.87	24.35	1.5	0.142	SM
DDH-120	24.35	32.84	1.5	0.192	SC
DDH-120	32.84	41.32	1.5	0.133	C
DDH-120	41.32	49.81	1.6	0.163	SC
DDH-120	49.81	58.29	2.7	0.112	SA
DDH-120	58.29	66.78	1.6	0.118	SA
DDH-120	66.78	75.26	1.6	0.175	SG
DDH-120	75.26	80.00	1.7	0.216	SG
DDH-121	0.00	7.24	1.5	0.100	SM
DDH-121	7.24	15.73	1.5	0.194	SM
DDH-121	15.73	24.21	1.5	0.531	SG
DDH-121	24.21	32.70	1.5	0.239	SG
DDH-135	101.12	108.05	1.5	0.477	SG
DDH-135	108.05	114.97	1.5	0.231	SG
DDH-135	114.97	121.90	1.5	0.206	SA
DDH-135	121.90	124.10	1.3	0.085	SA
DDH-136	0.00	6.67	1.5	0.039	SM
DDH-136	6.67	13.60	1.5	0.030	SM
DDH-136	13.60	20.53	2.5	0.061	SC
DDH-136	41.32	48.24	1.5	0.048	SA
DDH-136	48.24	55.17	1.5	0.106	SM
DDH-136	55.17	62.10	1.5	0.092	SA
DDH-136	62.10	69.03	1.5	0.237	SG
DDH-136	69.03	75.96	1.5	0.124	SG
DDH-136	75.96	82.88	1.5	0.210	SG
DDH-136	82.88	89.81	1.5	0.087	SA
DDH-136	89.81	96.74	1.5	0.094	SM
DDH-136	96.74	103.67	1.5	0.075	SA
DDH-136	103.67	110.00	1.7	0.049	SA
DDH-137	0.00	6.90	1.5	0.156	RF
DDH-137	6.90	15.39	1.5	0.080	SA
DDH-137	15.39	23.87	1.5	0.086	SA
DDH-137	23.87	32.36	1.5	0.040	SA
DDH-137	32.36	40.84	1.5	0.040	SA
DDH-137	40.84	49.33	1.5	0.032	SA
DDH-137	49.33	57.81	1.5	0.043	SC
DDH-137	57.81	66.30	1.5	0.034	SC
DDH-137	66.30	74.78	1.5	0.063	SC
DDH-137	74.78	83.27	1.5	0.052	SC
DDH-137	83.27	89.20	1.8	0.036	SC
DDH-138	0.00	6.51	1.5	0.455	SG
DDH-138	6.51	13.44	1.5	1.521	SG
DDH-138	13.44	20.37	1.5	0.904	SG
DDH-138	20.37	27.30	1.5	0.392	SG
DDH-138	27.30	34.23	1.5	0.197	SG

Hole_Id	From	To	Length	AU_PPM	ALT
DDH-138	34.23	41.15	1.5	0.075	SA
DDH-138	41.15	48.08	1.5	0.054	SC
DDH-138	48.08	55.01	1.5	0.039	SOP
DDH-138	55.01	61.94	1.5	0.052	SA
DDH-138	61.94	68.87	1.5	0.039	SC
DDH-139	0.00	0.27	3.0	0.070	RF
DDH-139	0.27	6.48	2.2	0.062	RF
DDH-139	62.39	67.10	1.3	0.014	RF
DDH-140	0.00	1.26	1.5	0.060	C
DDH-140	42.83	49.76	2.5	0.033	C
DDH-140	49.76	56.68	2.1	0.026	C
DDH-140	56.68	63.61	1.5	0.186	SG
DDH-140	63.61	70.54	1.5	0.522	SG
DDH-140	70.54	77.47	1.5	0.311	SG
DDH-140	77.47	84.40	1.5	0.047	C
DDH-140	84.40	91.33	1.5	0.039	SA
DDH-140	91.33	98.25	1.5	0.067	SA
DDH-140	98.25	105.18	1.5	0.059	SC
DDH-140	105.18	110.00	1.7	0.062	SC
DDH-141	0.00	1.84	1.5	0.030	RF
DDH-141	28.32	34.94	1.5	0.036	RF
DDH-141	34.94	41.56	1.5	0.039	RF
DDH-141	41.56	48.18	1.5	0.037	RF
DDH-141	48.18	54.80	1.5	0.029	C
DDH-141	54.80	61.43	1.5	0.027	C
DDH-141	61.43	68.05	1.5	0.081	C
DDH-141	68.05	74.67	1.5	0.066	C
DDH-141	74.67	81.29	1.5	0.032	C
DDH-141	81.29	87.91	1.5	0.033	SC
DDH-141	87.91	94.53	1.5	0.020	RF
DDH-141	94.53	101.15	1.5	0.022	C
DDH-141	101.15	107.77	1.5	0.018	C
DDH-141	173.97	180.30	3.3	0.020	C
DDH-142	0.00	1.15	1.5	0.020	RF
DDH-142	1.15	8.08	1.5	0.110	RF
DDH-142	8.08	15.01	1.5	0.026	RF
DDH-142	63.51	70.44	1.5	0.578	SA
DDH-142	70.44	77.36	1.5	0.281	SA
DDH-142	77.36	84.29	1.5	0.055	SA
DDH-142	84.29	91.22	1.5	0.050	SC
DDH-142	91.22	98.15	1.5	0.109	SM
DDH-142	98.15	105.08	1.5	0.078	SM
DDH-142	105.08	112.01	1.5	0.068	SA
DDH-142	112.01	118.93	1.5	0.073	SA
DDH-142	118.93	120.20	1.7	0.330	SM
DDH-143	0.00	6.39	1.5	0.029	RF
DDH-143	6.39	12.77	1.5	0.029	SA
DDH-143	12.77	19.16	1.5	0.033	SA
DDH-143	19.16	25.54	1.5	0.035	SM
DDH-143	25.54	31.93	1.5	0.027	SM
DDH-143	31.93	38.31	1.5	0.052	SA
DDH-143	38.31	44.70	1.5	0.051	SA
DDH-143	44.70	51.08	1.5	0.050	SA
DDH-143	51.08	57.47	1.5	0.022	SC
DDH-143	57.47	63.85	1.5	0.020	SA

Hole_Id	From	To	Length	AU_PPM	ALT
DDH-143	63.85	70.24	1.5	0.020	SA
DDH-143	70.24	76.62	1.5	0.047	SA
DDH-143	76.62	83.01	1.5	0.070	SA
DDH-143	83.01	89.39	1.5	0.086	SA
DDH-143	89.39	95.78	1.5	0.082	SA
DDH-143	95.78	102.16	1.5	0.136	SA
DDH-143	102.16	108.55	1.5	0.191	SA
DDH-143	108.55	114.93	1.5	0.331	SA
DDH-143	114.93	121.32	1.5	1.147	SG
DDH-143	121.32	127.70	1.5	0.429	SG
DDH-143	127.70	134.09	1.5	0.365	SG
DDH-143	134.09	140.47	1.5	0.395	SG
DDH-143	140.47	146.86	1.5	0.714	SG
DDH-143	146.86	153.24	1.5	0.695	SG
DDH-143	153.24	159.63	1.3	1.032	SM
DDH-143	159.63	166.01	1.4	0.174	SM
DDH-143	166.01	172.30	1.5	0.084	SM
DDH-144	0.00	2.31	1.5	0.133	RF
DDH-144	2.31	9.24	1.5	1.381	SA
DDH-144	9.24	16.17	1.5	3.245	SG
DDH-144	16.17	23.09	1.5	1.344	SG
DDH-144	23.09	30.02	1.5	0.474	SA
DDH-144	30.02	36.95	1.5	0.266	SA
DDH-144	36.95	43.88	1.5	0.126	SA
DDH-144	43.88	50.81	1.5	0.079	SC
DDH-144	50.81	57.74	1.5	0.097	SC
DDH-144	57.74	64.66	2.1	0.041	SC
DDH-144	64.66	71.59	2.7	0.032	SC
DDH-144	92.38	99.30	1.5	0.025	SA
DDH-144	99.30	106.23	1.5	0.030	SA
DDH-144	106.23	113.16	1.5	0.046	SA
DDH-144	113.16	120.09	1.5	0.051	SA
DDH-144	120.09	127.02	1.5	0.044	SA
DDH-144	133.95	136.50	1.5	0.030	SC
DDH-145	0.00	5.56	1.5	0.059	SA
DDH-145	5.56	11.66	1.5	0.065	SA
DDH-145	11.66	17.75	1.5	0.063	SG
DDH-145	17.75	23.84	1.5	0.058	SA
DDH-145	23.84	29.93	1.5	0.067	SC
DDH-145	29.93	36.03	1.5	0.041	SA
DDH-145	36.03	42.12	1.5	0.035	SC
DDH-145	42.12	48.21	1.5	0.030	SA
DDH-145	48.21	54.31	1.5	0.028	SA
DDH-145	54.31	60.40	1.5	0.029	SM
DDH-145	60.40	66.49	1.5	0.356	SG
DDH-145	66.49	72.58	1.5	0.112	SM
DDH-145	72.58	78.68	1.5	0.079	SA
DDH-145	78.68	84.77	1.5	0.080	SA
DDH-145	84.77	90.86	1.5	0.075	SA
DDH-145	90.86	96.95	1.5	0.094	SA
DDH-145	96.95	103.05	1.5	0.149	SA
DDH-145	103.05	109.14	2.2	0.151	SA
DDH-145	109.14	115.23	2.5	0.100	SA
DDH-145	115.23	121.32	2.6	0.108	SA
DDH-145	121.32	127.42	2.3	0.088	SA

Hole_Id	From	To	Length	AU_PPM	ALT
DDH-145	127.42	133.51	3.0	0.046	SA
DDH-145	133.51	139.60	2.5	0.057	SA
DDH-145	139.60	145.69	3.0	0.040	SA
DDH-145	145.69	151.79	3.0	0.044	SA
DDH-145	151.79	157.20	2.9	0.035	SA
DDH-146	0.00	3.73	1.5	0.036	RF
DDH-146	3.73	9.94	1.5	0.079	C
DDH-146	9.94	16.15	1.5	0.068	SA
DDH-146	16.15	22.36	1.5	0.060	SA
DDH-146	22.36	28.57	1.5	0.069	SG
DDH-146	28.57	34.79	1.5	0.052	SA
DDH-146	34.79	41.00	1.5	0.057	SA
DDH-146	41.00	47.21	1.4	0.093	SA
DDH-146	47.21	53.42	1.5	0.064	SA
DDH-146	53.42	59.63	1.5	0.057	SA
DDH-146	59.63	65.84	1.5	0.068	SA
DDH-146	65.84	72.06	1.5	0.043	SA
DDH-146	72.06	78.27	1.5	0.048	SA
DDH-146	78.27	84.48	1.5	0.056	SA
DDH-146	84.48	90.69	1.5	0.070	SA
DDH-146	90.69	96.90	1.5	0.079	SA
DDH-146	96.90	103.11	1.5	0.083	SA
DDH-146	103.11	109.33	1.5	0.123	SA
DDH-146	109.33	115.54	1.5	0.036	SC
DDH-146	115.54	121.75	3.0	0.107	SC
DDH-146	121.75	127.96	2.5	0.085	SA
DDH-146	127.96	134.17	2.4	0.111	SA
DDH-146	134.17	140.38	2.6	0.092	SA
DDH-146	140.38	146.60	2.4	0.089	SA
DDH-146	146.60	152.81	2.5	0.100	SA
DDH-146	152.81	159.02	2.6	0.079	SC
DDH-146	159.02	165.23	1.8	0.062	SA
DDH-146	165.23	171.44	2.6	0.065	SA
DDH-146	171.44	177.65	2.4	0.074	SA
DDH-146	177.65	178.00	1.0	0.040	SA
DDH-147	0.00	3.28	2.2	0.040	RF
DDH-147	3.28	10.21	1.6	0.019	RF
DDH-147	10.21	17.14	1.5	0.021	RF
DDH-147	17.14	24.06	1.5	0.024	SC
DDH-147	24.06	30.99	1.5	0.023	SC
DDH-147	30.99	37.92	1.5	0.053	SC
DDH-147	37.92	44.85	1.5	0.036	SC
DDH-147	44.85	51.78	2.0	0.025	SC
DDH-147	51.78	58.70	1.7	0.029	SC
DDH-147	58.70	65.63	2.1	0.032	SC
DDH-147	65.63	72.56	1.5	0.068	SC
DDH-147	72.56	79.49	1.5	0.101	SC
DDH-147	79.49	86.42	1.5	0.048	SA
DDH-147	86.42	93.35	1.5	0.067	SA
DDH-147	93.35	100.27	1.5	0.276	SM
DDH-147	100.27	107.20	1.5	0.403	SA
DDH-147	107.20	114.13	1.5	0.301	SA
DDH-147	114.13	121.06	1.5	0.731	SM
DDH-147	121.06	127.99	1.5	0.122	SM
DDH-147	127.99	134.92	1.5	0.293	SC

Hole_Id	From	To	Length	AU_PPM	ALT
DDH-147	134.92	141.84	1.5	0.136	SC
DDH-147	141.84	148.77	1.5	0.134	SM
DDH-147	148.77	155.70	1.5	0.116	SC
DDH-147	155.70	162.63	1.5	0.036	SC
DDH-147	162.63	169.56	1.5	0.037	SC
DDH-147	169.56	176.48	1.5	0.063	SC
DDH-147	176.48	180.30	1.6	0.023	SC
DDH-148	0.00	4.38	1.5	0.200	SA
DDH-148	4.38	11.30	1.5	0.094	SA
DDH-148	11.30	18.23	1.5	0.054	SG
DDH-148	18.23	25.16	1.5	0.059	SA
DDH-148	25.16	32.09	1.5	0.069	SA
DDH-148	32.09	39.02	1.5	0.177	SA
DDH-148	39.02	45.95	1.5	0.049	SA
DDH-148	45.95	52.87	1.5	0.048	SA
DDH-148	52.87	59.80	1.5	0.028	SA
DDH-148	59.80	66.73	1.5	0.038	SA
DDH-148	66.73	73.66	1.5	0.042	SC
DDH-148	73.66	80.59	1.5	0.067	SA
DDH-148	80.59	87.51	1.5	0.050	SA
DDH-148	87.51	94.44	1.5	0.057	SA
DDH-148	94.44	101.37	1.5	0.083	SG
DDH-148	101.37	108.30	1.5	0.112	SA
DDH-148	108.30	115.23	1.5	0.216	SA
DDH-148	115.23	122.16	1.5	0.069	SA
DDH-148	122.16	129.08	1.5	0.087	SA
DDH-148	129.08	136.01	1.5	0.136	SA
DDH-148	136.01	142.94	1.5	0.167	SA
DDH-148	142.94	149.87	1.5	0.886	SG
DDH-148	149.87	156.80	1.5	0.585	SG
DDH-148	156.80	160.00	1.3	0.298	SG
DDH-149	0.00	6.62	1.5	0.048	RF
DDH-149	6.62	13.54	1.5	0.039	SC
DDH-149	13.54	20.47	1.5	0.029	SC
DDH-149	20.47	27.40	1.5	0.029	SC
DDH-149	27.40	34.33	1.5	0.028	SA
DDH-149	34.33	41.26	1.5	0.028	SM
DDH-149	41.26	48.19	1.5	0.032	SM
DDH-149	48.19	55.11	1.5	0.039	SC
DDH-149	55.11	62.04	1.5	0.046	SM
DDH-149	62.04	68.97	1.5	0.061	SM
DDH-149	68.97	75.90	1.5	0.050	SA
DDH-149	75.90	82.83	1.5	0.226	SG
DDH-149	82.83	89.75	1.5	0.136	SA
DDH-149	89.75	96.68	1.5	0.060	SA
DDH-149	96.68	103.61	1.5	0.051	SA
DDH-149	103.61	110.54	1.5	0.057	SA
DDH-149	110.54	117.47	1.5	0.164	SA
DDH-149	117.47	124.40	1.5	0.203	SG
DDH-149	124.40	131.32	1.5	0.177	SG
DDH-149	131.32	138.25	1.5	0.183	SG
DDH-149	138.25	145.18	1.5	0.044	SM
DDH-149	145.18	150.00	1.5	0.034	SM
DDH-150	116.38	123.31	1.5	0.044	C
DDH-151	0.00	4.18	1.5	0.047	RF

Hole_Id	From	To	Length	AU_PPM	ALT
DDH-151	4.18	11.11	1.5	0.036	RF
DDH-151	11.11	18.04	1.5	0.035	RF
DDH-151	121.96	128.89	1.5	0.207	SM
DDH-151	149.67	150.00	1.5	0.020	RF
DDH-287	0.00	0.54	1.2	0.020	COB
DDH-287	0.54	7.47	4.0	0.020	RF
DDH-287	7.47	14.40	3.4	0.020	PRO
DDH-287	14.40	21.33	2.6	0.020	PRO
DDH-287	21.33	28.26	3.1	0.020	SAC
DDH-287	28.26	35.18	2.7	0.051	SC
DDH-287	35.18	42.11	1.9	0.047	SC
DDH-287	42.11	49.04	1.7	0.021	SAC
DDH-287	49.04	55.97	1.5	0.024	SC
DDH-287	55.97	62.90	2.0	0.020	PRO
DDH-287	62.90	69.82	4.1	0.020	RF
DDH-287	69.82	76.75	3.2	0.020	PRO
DDH-287	76.75	80.00	1.2	0.020	RF
DDH-288	0.00	6.20	2.0	0.065	COB
DDH-288	6.20	13.13	1.9	0.043	SM
DDH-288	13.13	20.05	1.7	0.055	SC
DDH-288	20.05	26.98	1.7	0.044	SC
DDH-288	26.98	33.91	1.2	0.040	SC
DDH-288	33.91	40.84	1.5	0.020	SC
DDH-288	40.84	47.77	1.3	0.020	SC
DDH-288	47.77	50.20	1.9	0.020	RF
DDH-289	0.00	0.30	2.0	0.070	COB
DDH-289	0.30	7.22	1.4	0.091	SA
DDH-289	7.22	14.15	1.1	0.409	SA
DDH-289	14.15	21.08	1.3	0.314	SA
DDH-289	21.08	28.01	1.5	0.055	SA
DDH-289	28.01	34.94	1.3	0.090	SA
DDH-289	34.94	41.86	1.5	0.106	SA
DDH-289	41.86	48.79	1.3	0.329	SA
DDH-289	48.79	55.72	1.4	0.197	SA
DDH-289	55.72	62.65	1.3	0.145	SA
DDH-289	62.65	69.58	1.2	0.532	SG
DDH-289	69.58	76.51	1.4	0.724	SG
DDH-289	76.51	83.43	1.4	0.477	SG
DDH-289	83.43	90.36	1.6	0.374	SG
DDH-289	90.36	97.29	1.9	0.096	SA
DDH-289	97.29	104.22	1.6	0.081	SG
DDH-289	104.22	111.15	1.8	0.055	SG
DDH-289	111.15	118.08	1.5	0.064	SG
DDH-289	118.08	125.00	1.5	0.098	SG
DDH-289	125.00	131.93	1.4	0.073	SA
DDH-289	131.93	138.86	1.8	0.036	SC
DDH-289	138.86	142.00	1.9	0.038	SC
DDH-290	0.00	1.78	2.0	0.160	COB
DDH-290	1.78	8.71	2.5	0.062	COB
DDH-290	8.71	15.64	1.9	0.024	C
DDH-290	15.64	22.57	1.4	0.045	SA
DDH-290	22.57	29.49	1.5	0.029	SA
DDH-290	29.49	36.42	1.3	0.059	SA
DDH-290	36.42	43.35	1.3	0.080	SA
DDH-290	43.35	50.28	1.5	0.148	SA

Hole_Id	From	To	Length	AU_PPM	ALT
DDH-290	50.28	57.21	1.5	0.155	SM
DDH-290	57.21	64.13	1.2	0.129	SA
DDH-290	64.13	71.06	1.4	0.302	SM
DDH-290	71.06	77.99	1.5	0.318	SM
DDH-290	77.99	84.92	1.6	0.226	SG
DDH-290	84.92	91.85	1.5	0.175	SG
DDH-290	91.85	98.78	2.1	0.130	SG
DDH-290	98.78	105.70	1.5	0.089	SA
DDH-290	105.70	111.40	2.4	0.149	SG
DDH-292	0.00	2.38	1.9	0.039	-1
DDH-292	2.38	9.31	1.3	0.043	-1
DDH-292	9.31	16.23	1.4	0.026	-1
DDH-292	16.23	23.16	1.5	0.020	-1
DDH-292	23.16	30.09	1.1	0.023	-1
DDH-292	30.09	37.02	1.1	0.030	-1
DDH-292	37.02	43.95	1.1	0.021	-1
DDH-292	43.95	50.87	1.1	0.042	-1
DDH-292	50.87	57.80	0.8	0.044	-1
DDH-292	57.80	64.73	1.3	0.036	-1
DDH-292	64.73	71.66	1.1	0.047	-1
DDH-292	71.66	74.10	1.2	0.043	-1
DDH-293	0.00	8.49	1.2	0.105	SA
DDH-293	8.49	16.97	1.4	0.611	SM
DDH-293	16.97	25.46	1.2	0.383	SA
DDH-293	25.46	33.94	1.4	2.519	SM
DDH-293	33.94	42.43	1.7	1.278	SM
DDH-293	42.43	50.91	1.4	0.172	SG
DDH-293	50.91	59.40	1.6	0.307	SA
DDH-293	59.40	67.88	1.3	0.131	SA
DDH-293	67.88	76.37	1.3	0.091	SA
DDH-293	76.37	84.85	1.3	0.194	SA
DDH-293	84.85	93.34	1.6	0.100	SA
DDH-293	93.34	98.10	1.1	0.104	SA
DDH-294	0.00	1.28	2.6	0.046	SA
DDH-294	1.28	9.77	1.5	0.124	SA
DDH-294	9.77	18.25	1.2	0.086	SA
DDH-294	18.25	26.74	1.3	0.116	SA
DDH-294	26.74	35.23	1.1	0.093	SA
DDH-294	35.23	43.71	1.2	0.144	SA
DDH-294	43.71	52.20	1.1	0.614	SA
DDH-294	52.20	60.68	1.1	0.797	SM
DDH-294	60.68	69.17	1.1	0.910	SM
DDH-294	69.17	77.65	1.0	0.205	SA
DDH-294	77.65	85.20	1.1	0.112	SA
DDH-304	0.00	1.56	1.4	0.081	SA
DDH-304	1.56	10.89	1.1	0.134	SA
DDH-304	10.89	20.22	1.1	0.107	SA
DDH-304	20.22	29.56	1.3	0.151	SA
DDH-304	29.56	38.89	1.3	0.072	SA
DDH-304	38.89	48.23	1.5	0.556	SA
DDH-304	48.23	57.56	1.3	3.959	SM
DDH-304	57.56	66.90	1.1	0.537	SA
DDH-304	66.90	76.23	1.2	0.337	SA
DDH-304	76.23	78.80	1.5	0.155	SA
DDH-305	0.00	0.33	0.7	0.134	SA

Hole_Id	From	To	Length	AU_PPM	ALT
DDH-305	0.33	8.17	1.1	0.084	SA
DDH-305	8.17	16.00	1.3	0.038	SA
DDH-305	16.00	23.83	1.3	0.025	SA
DDH-305	23.83	31.66	1.2	0.068	SM
DDH-305	31.66	39.50	1.2	0.045	SA
DDH-305	39.50	47.33	1.2	0.034	SM
DDH-305	47.33	55.16	1.4	0.047	SA
DDH-305	55.16	62.99	1.3	0.064	SA
DDH-305	62.99	70.83	1.1	0.261	SM
DDH-305	70.83	78.66	1.2	0.122	SM
DDH-305	78.66	83.45	1.4	0.660	SM
DDH-307	0.00	5.74	1.5	0.032	SA
DDH-307	5.74	12.36	1.3	0.023	SA
DDH-307	12.36	18.98	1.3	0.072	SA
DDH-307	18.98	25.60	1.4	0.103	SA
DDH-307	25.60	32.22	1.3	0.082	SA
DDH-307	32.22	38.84	1.3	0.140	SA
DDH-307	38.84	45.46	1.3	0.477	SM
DDH-307	45.46	52.08	1.5	0.550	SM
DDH-307	52.08	58.71	1.2	0.422	SA
DDH-307	58.71	62.00	1.0	0.414	SG
DDH-308	0.00	0.84	1.5	0.020	SA
DDH-308	0.84	7.70	1.5	0.020	SA
DDH-308	7.70	14.56	1.1	0.027	SA
DDH-308	14.56	21.42	1.3	0.118	SA
DDH-308	21.42	28.28	1.4	0.472	SV
DDH-308	28.28	35.14	1.3	0.143	SA
DDH-308	35.14	42.00	1.3	0.314	SM
DDH-308	42.00	48.86	1.5	0.377	SV
DDH-308	48.86	55.72	1.5	0.127	SG
DDH-308	55.72	62.58	1.5	0.102	SM
DDH-308	62.58	69.40	1.5	0.202	-1
DDH-309	0.00	0.36	1.5	0.034	SA
DDH-309	0.36	8.85	1.5	0.037	SA
DDH-309	8.85	17.33	1.5	0.022	SA
DDH-309	17.33	25.82	1.5	0.030	SA
DDH-309	25.82	34.30	1.5	0.084	SA
DDH-309	34.30	42.79	1.5	0.066	SA
DDH-309	42.79	51.28	1.5	0.065	SA
DDH-309	51.28	59.76	1.4	0.086	SA
DDH-309	59.76	68.25	1.6	0.163	SC
DDH-309	68.25	76.73	1.3	0.154	SC
DDH-309	76.73	85.22	1.5	0.088	SAC
DDH-309	85.22	90.15	1.6	0.131	SC
DDH-311	0.00	0.29	1.6	0.228	COB
DDH-311	0.29	8.78	1.5	0.354	SAC
DDH-311	8.78	17.26	1.5	0.252	SAC
DDH-311	17.26	25.75	1.3	0.282	SAC
DDH-311	25.75	34.23	1.5	0.204	SAC
DDH-311	34.23	42.72	1.5	0.093	SAC
DDH-311	42.72	51.20	1.5	0.183	SAC
DDH-311	51.20	59.69	1.5	0.192	SM
DDH-311	59.69	68.17	1.4	2.432	SG
DDH-311	68.17	76.66	1.4	0.538	SG
DDH-311	76.66	85.14	1.5	0.120	SG

Hole_Id	From	To	Length	AU_PPM	ALT
DDH-311	85.14	93.63	1.5	0.209	SA
DDH-311	93.63	102.11	1.5	0.173	SA
DDH-311	102.11	110.60	1.5	0.107	SA
DDH-311	110.60	119.08	1.5	0.127	SA
DDH-311	119.08	127.57	1.5	0.062	SM
DDH-311	127.57	130.30	1.4	0.045	SM
DDH-312	0.00	6.28	3.2	0.093	C
DDH-312	6.28	13.60	2.8	0.020	C
DDH-312	13.60	20.93	2.3	0.020	C
DDH-312	20.93	28.25	3.0	0.077	C
DDH-312	28.25	35.58	1.6	0.038	SM
DDH-312	35.58	42.90	1.4	0.155	SG
DDH-312	42.90	50.23	1.6	0.103	SG
DDH-312	50.23	57.55	1.5	0.292	SG
DDH-312	57.55	64.88	1.5	0.209	SG
DDH-312	64.88	72.20	1.6	0.078	SM
DDH-312	72.20	79.52	1.5	0.043	SV
DDH-312	79.52	86.85	1.4	0.070	SV
DDH-312	86.85	92.45	1.6	0.061	SC
DDH-315	0.00	1.04	1.0	0.087	COB
DDH-315	1.04	9.52	1.4	0.067	SC
DDH-315	9.52	18.01	1.4	0.058	SA
DDH-315	18.01	26.50	1.7	0.066	SC
DDH-315	26.50	34.98	1.4	0.132	SM
DDH-315	34.98	43.47	1.5	0.056	SM
DDH-315	43.47	51.95	1.3	0.232	SM
DDH-315	51.95	60.44	1.3	0.115	SM
DDH-315	60.44	68.92	1.5	0.250	SM
DDH-315	68.92	77.41	1.5	0.384	SM
DDH-315	77.41	80.90	1.5	0.199	-1
DDH-318	0.00	6.87	1.6	0.075	SA
DDH-318	6.87	15.35	1.5	0.053	SA
DDH-318	15.35	23.84	1.5	0.043	SA
DDH-318	23.84	32.32	1.5	0.036	SA
DDH-318	32.32	40.81	1.4	0.097	SA
DDH-318	40.81	49.30	1.5	0.078	SA
DDH-318	49.30	57.78	1.4	0.181	SM
DDH-318	57.78	66.27	1.5	0.101	SA
DDH-318	66.27	74.75	1.4	0.114	SA
DDH-318	74.75	83.24	1.4	0.275	SAC
DDH-318	83.24	91.72	1.7	0.284	SG
DDH-318	91.72	100.21	1.5	0.073	SA
DDH-318	100.21	106.05	2.0	0.052	SC
DDH-319	0.00	7.35	1.9	0.020	SC
DDH-319	7.35	15.83	1.7	0.026	SC
DDH-319	15.83	24.32	1.5	0.102	SA
DDH-319	24.32	32.80	1.5	0.313	SA
DDH-319	32.80	41.29	1.3	0.169	SA
DDH-319	41.29	49.77	1.7	0.037	SM
DDH-319	49.77	58.26	1.3	0.129	SC
DDH-319	58.26	62.00	1.8	0.073	SC
DDH-320	0.00	2.69	1.2	0.170	SA
DDH-320	2.69	9.62	1.3	0.207	SAC
DDH-320	9.62	16.55	1.4	0.076	SA
DDH-320	16.55	23.48	1.3	0.078	SA

Hole_Id	From	To	Length	AU_PPM	ALT
DDH-320	23.48	30.41	1.5	0.099	SA
DDH-320	30.41	37.33	1.6	0.033	SA
DDH-320	37.33	44.26	1.4	0.056	SA
DDH-320	44.26	51.19	1.4	0.042	SA
DDH-320	51.19	58.12	1.5	0.115	SAC
DDH-320	58.12	65.05	1.5	0.066	SAC
DDH-320	65.05	71.97	1.3	0.128	SM
DDH-320	71.97	78.90	1.5	0.218	SCP
DDH-320	78.90	85.83	1.5	0.149	SCP
DDH-320	85.83	92.76	1.3	0.109	SM
DDH-320	92.76	99.69	1.5	0.083	SM
DDH-320	99.69	106.62	1.5	0.052	SM
DDH-320	106.62	113.54	1.6	0.049	SM
DDH-320	113.54	120.47	1.6	0.050	SM
DDH-320	120.47	127.40	1.5	0.037	SM
DDH-320	127.40	134.33	1.5	0.049	SM
DDH-320	134.33	141.26	1.5	0.044	SM
DDH-320	141.26	148.19	1.5	0.041	SM
DDH-320	148.19	150.80	1.2	0.038	SM
DDH-321	0.00	0.16	0.6	0.158	SG
DDH-321	0.16	8.65	1.4	0.066	SAC
DDH-321	8.65	17.13	1.5	0.039	SAC
DDH-321	17.13	25.62	1.5	0.047	SC
DDH-321	25.62	34.11	1.5	0.080	SC
DDH-321	34.11	42.59	1.4	0.120	SAC
DDH-321	42.59	51.08	1.1	0.121	SM
DDH-321	51.08	59.56	1.7	0.082	SA
DDH-321	59.56	68.05	1.3	0.166	SA
DDH-321	68.05	76.53	1.5	0.142	-1
DDH-321	76.53	85.02	1.5	0.057	-1
DDH-321	85.02	93.50	1.5	0.047	-1
DDH-321	93.50	101.99	1.3	0.044	-1
DDH-321	101.99	110.47	1.5	0.046	-1
DDH-321	110.47	117.50	1.2	0.049	-1
DDH-325	0.00	4.55	1.6	0.026	SAC
DDH-325	4.55	11.48	1.6	0.020	SAC
DDH-325	11.48	18.41	1.2	0.052	SC
DDH-325	18.41	25.34	1.3	0.064	SC
DDH-325	25.34	32.26	1.3	0.069	SA
DDH-325	32.26	39.19	1.3	0.077	SA
DDH-325	39.19	46.12	1.4	0.066	SA
DDH-325	46.12	53.05	1.4	0.102	SA
DDH-325	53.05	59.98	1.4	0.054	SAC
DDH-325	59.98	66.91	1.5	0.075	SAC
DDH-325	66.91	73.83	1.5	0.111	SAC
DDH-325	73.83	80.76	1.5	0.136	SAC
DDH-325	80.76	87.69	1.5	0.218	-1
DDH-325	87.69	94.62	1.3	0.211	-1
DDH-325	94.62	94.80	1.8	0.168	-1
DDH-326	0.00	1.12	1.5	0.020	-1
DDH-326	1.12	9.60	1.7	0.035	-1
DDH-326	9.60	18.09	1.4	0.056	-1
DDH-326	18.09	26.57	1.3	0.173	-1
DDH-326	26.57	35.06	1.5	0.085	-1
DDH-326	35.06	43.54	1.4	0.048	-1

Hole_Id	From	To	Length	AU_PPM	ALT
DDH-326	43.54	52.03	1.5	0.085	-1
DDH-326	52.03	60.51	1.4	0.182	-1
DDH-326	60.51	69.00	1.4	0.085	-1
DDH-326	69.00	77.48	1.4	0.172	-1
DDH-326	77.48	85.97	1.2	0.254	-1
DDH-326	85.97	94.46	1.3	0.066	-1
DDH-326	94.46	102.94	1.2	0.055	-1
DDH-326	102.94	111.43	1.6	0.033	-1
DDH-326	111.43	113.65	1.8	0.030	-1
DDH-327	0.00	1.83	1.8	0.044	C
DDH-327	1.83	9.16	4.0	0.047	C
DDH-327	9.16	16.48	4.1	0.057	C
DDH-327	16.48	23.81	3.6	0.049	C
DDH-327	23.81	31.13	3.9	0.041	PRO
DDH-327	31.13	38.45	3.0	0.028	PRO
DDH-327	38.45	45.78	3.0	0.029	C
DDH-327	45.78	53.10	3.0	0.039	C
DDH-327	53.10	60.43	2.5	0.020	C
DDH-327	60.43	67.75	1.6	0.090	SA
DDH-327	67.75	75.08	1.5	0.218	SA
DDH-327	75.08	82.40	1.4	0.148	SA
DDH-327	82.40	89.73	1.2	0.843	SG
DDH-327	89.73	97.05	1.4	0.176	SA
DDH-327	97.05	104.38	1.3	0.053	SA
DDH-327	104.38	111.70	1.3	0.047	SAC
DDH-327	111.70	119.03	1.4	0.038	SAC
DDH-327	119.03	126.35	2.5	0.051	C
DDH-327	126.35	131.45	2.2	0.065	C
DDH-329	0.00	6.92	2.2	0.032	RF
DDH-329	6.92	14.75	3.6	0.051	RF
DDH-329	14.75	22.58	2.6	0.032	RF
DDH-329	22.58	30.41	1.2	0.183	SV
DDH-329	30.41	38.25	1.5	0.293	SG
DDH-329	38.25	46.08	1.1	0.195	SA
DDH-329	46.08	53.91	1.2	0.080	SAC
DDH-329	53.91	61.74	2.3	0.059	C
DDH-329	61.74	69.58	2.1	0.043	C
DDH-329	69.58	77.41	3.5	0.041	C
DDH-329	77.41	85.24	1.8	0.101	SA
DDH-329	85.24	93.07	1.1	0.302	SA
DDH-329	93.07	100.91	1.2	0.147	SAC
DDH-329	100.91	108.74	1.5	0.099	SC
DDH-329	108.74	116.57	1.1	0.255	SAC
DDH-329	116.57	124.40	1.5	0.209	SAC
DDH-329	124.40	132.24	1.2	0.196	SA
DDH-329	132.24	140.07	1.0	0.520	SA
DDH-329	140.07	147.90	1.4	0.912	SV
DDH-329	147.90	155.73	1.4	1.617	SM
DDH-329	155.73	160.30	1.4	0.058	SC
DDH-330	0.00	6.10	1.5	0.020	SC
DDH-330	6.10	13.93	1.7	0.020	C
DDH-330	13.93	21.76	2.8	0.020	C
DDH-330	21.76	29.59	1.6	0.040	C
DDH-330	29.59	37.43	1.2	0.088	SAC
DDH-330	37.43	45.26	1.4	0.076	SA

Hole_Id	From	To	Length	AU_PPM	ALT
DDH-330	45.26	53.09	1.5	0.050	SA
DDH-330	53.09	60.92	1.1	0.114	SA
DDH-330	60.92	68.76	1.5	0.113	SG
DDH-330	68.76	76.59	1.4	0.443	SG
DDH-330	76.59	84.42	1.5	0.466	SG
DDH-330	84.42	92.25	1.5	1.224	SG
DDH-330	92.25	100.09	1.5	0.502	SG
DDH-330	100.09	107.92	1.3	0.202	SG
DDH-330	107.92	115.75	1.4	0.215	SG
DDH-330	115.75	123.58	2.2	0.172	SAC
DDH-330	123.58	131.42	1.5	0.058	SAC
DDH-330	131.42	139.25	1.5	0.050	SC
DDH-330	139.25	147.08	1.5	0.028	SC
DDH-330	147.08	150.00	1.5	0.055	SC
DDH-331	0.00	7.10	1.9	0.113	C
DDH-331	7.10	14.42	1.1	0.406	SA
DDH-331	14.42	21.75	4.0	0.101	C
DDH-331	21.75	29.07	4.5	0.042	C
DDH-331	29.07	36.40	4.5	0.064	RF
DDH-331	36.40	43.72	3.3	0.057	C
DDH-331	43.72	51.05	1.7	0.097	C
DDH-331	51.05	58.37	1.3	0.517	SA
DDH-331	58.37	65.69	1.3	0.486	SA
DDH-331	65.69	73.02	1.4	0.037	SC
DDH-331	73.02	80.34	1.6	0.065	SC
DDH-331	80.34	87.67	1.3	0.362	SV
DDH-331	87.67	94.99	1.1	1.000	SAC
DDH-331	94.99	102.32	1.2	0.462	SAC
DDH-331	102.32	109.64	1.1	0.318	SAC
DDH-331	109.64	116.97	1.2	0.278	SG
DDH-331	116.97	124.29	1.4	0.132	SA
DDH-331	124.29	131.62	1.3	0.121	SC
DDH-331	131.62	138.94	1.4	0.065	C
DDH-331	138.94	146.27	1.5	0.044	SAC
DDH-331	146.27	153.59	1.4	0.062	SC
DDH-331	153.59	160.92	1.1	0.069	SC
DDH-331	160.92	168.24	1.5	0.086	SA
DDH-331	168.24	175.56	1.3	0.094	SA
DDH-331	175.56	182.89	2.5	0.061	SA
DDH-331	182.89	185.35	4.9	0.052	-1
DDH-332	0.00	0.75	1.5	0.090	COB
DDH-332	0.75	8.58	2.9	0.095	RF
DDH-332	8.58	16.41	3.0	0.040	RF
DDH-332	16.41	24.24	3.0	0.020	CP
DDH-332	24.24	32.08	3.0	0.032	CP
DDH-332	32.08	39.91	2.3	0.027	CP
DDH-332	39.91	47.74	1.4	0.038	SA
DDH-332	47.74	55.57	1.3	0.036	SA
DDH-332	55.57	63.40	1.4	0.026	SA
DDH-332	63.40	71.24	1.5	0.030	SA
DDH-332	71.24	79.07	1.4	0.031	SA
DDH-332	79.07	86.90	1.2	0.097	SG
DDH-332	86.90	94.73	1.3	0.131	SA
DDH-332	94.73	102.57	1.3	0.072	SA
DDH-332	102.57	110.40	1.2	0.079	SA

Hole_Id	From	To	Length	AU_PPM	ALT
DDH-332	110.40	118.23	1.5	0.072	SA
DDH-332	118.23	126.06	1.2	0.293	SA
DDH-332	126.06	133.90	1.0	0.282	SA
DDH-332	133.90	141.73	1.1	0.526	SA
DDH-332	141.73	149.56	1.1	0.161	SA
DDH-332	149.56	157.39	1.2	0.131	SA
DDH-332	157.39	165.23	1.4	0.036	SA
DDH-332	165.23	173.06	1.2	0.039	SA
DDH-332	173.06	180.89	1.4	0.028	SA
DDH-332	180.89	188.72	1.4	0.022	SG
DDH-332	188.72	196.56	1.6	0.039	SAC
DDH-332	196.56	201.30	0.9	0.025	SC
DDH-334	0.00	0.23	1.5	0.032	COB
DDH-334	0.23	7.16	2.2	0.034	COB
DDH-334	7.16	14.09	3.0	0.041	RF
DDH-334	14.09	21.02	3.2	0.042	RF
DDH-334	21.02	27.94	4.0	0.040	RF
DDH-334	27.94	34.87	3.7	0.031	RF
DDH-334	34.87	41.80	4.5	0.042	CP
DDH-334	41.80	48.73	3.6	0.040	CP
DDH-334	48.73	55.66	3.7	0.038	CP
DDH-334	55.66	62.58	3.0	0.030	CP
DDH-334	62.58	69.51	2.2	0.048	CP
DDH-334	69.51	76.44	4.4	0.067	CP
DDH-334	76.44	83.37	4.5	0.042	CP
DDH-334	83.37	90.30	4.5	0.020	CP
DDH-334	90.30	97.23	1.7	0.150	SA
DDH-334	97.23	104.15	1.5	0.560	SA
DDH-334	104.15	111.08	2.0	0.216	CP
DDH-334	111.08	118.01	3.0	0.020	CP
DDH-334	118.01	124.94	3.0	0.020	CP
DDH-334	124.94	131.87	3.3	0.028	CP
DDH-334	131.87	138.80	1.5	0.032	SC
DDH-334	138.80	144.70	1.2	0.037	-1
DDH-336	0.00	3.89	3.1	0.030	COB
DDH-336	3.89	12.38	2.6	0.026	CP
DDH-336	12.38	20.87	2.6	0.024	CP
DDH-336	20.87	29.35	2.5	0.037	RF
DDH-336	29.35	37.84	2.8	0.047	RF
DDH-336	37.84	46.32	3.0	0.029	RF
DDH-336	46.32	54.81	3.0	0.020	CP
DDH-336	54.81	63.29	3.0	0.020	RF
DDH-336	63.29	71.78	3.0	0.020	CP
DDH-336	71.78	80.26	3.0	0.020	CP
DDH-336	80.26	88.75	3.0	0.020	CP
DDH-336	88.75	97.23	2.8	0.166	CP
DDH-336	97.23	105.72	2.0	0.279	SA
DDH-336	105.72	114.20	1.5	0.075	SA
DDH-336	114.20	122.69	1.5	0.095	SA
DDH-336	122.69	131.17	1.5	0.096	-1
DDH-336	131.17	139.66	1.4	0.063	-1
DDH-336	139.66	148.14	1.5	0.074	-1
DDH-336	148.14	156.63	1.4	0.082	-1
DDH-336	156.63	165.12	1.5	1.118	-1
DDH-336	165.12	173.60	1.5	0.116	-1

Hole_Id	From	To	Length	AU_PPM	ALT
DDH-336	173.60	182.09	1.3	0.071	-1
DDH-336	182.09	189.95	2.2	0.034	-1
DDH-338	0.00	1.61	1.4	0.036	COB
DDH-338	1.61	8.00	2.8	0.038	RF
DDH-338	8.00	14.38	2.1	0.039	RF
DDH-338	14.38	20.77	1.6	0.118	SA
DDH-338	20.77	27.15	1.5	0.129	SA
DDH-338	27.15	33.54	1.5	0.149	SA
DDH-338	33.54	39.92	2.9	0.028	CP
DDH-338	39.92	46.31	3.0	0.032	CP
DDH-338	46.31	52.69	3.0	0.024	CP
DDH-338	52.69	59.08	2.2	0.032	CP
DDH-338	59.08	65.46	1.9	0.068	SA
DDH-338	65.46	71.85	3.0	0.023	PRO
DDH-338	71.85	78.23	2.8	0.035	CP
DDH-338	78.23	84.62	1.2	0.284	SA
DDH-338	84.62	91.00	1.2	0.227	SM
DDH-338	91.00	97.39	2.5	0.025	RF
DDH-338	97.39	103.77	3.0	0.021	RF
DDH-338	103.77	110.16	3.0	0.032	RF
DDH-338	110.16	116.54	3.0	0.051	RF
DDH-338	116.54	122.93	3.0	0.061	SA
DDH-338	122.93	129.31	2.9	0.070	CP
DDH-338	129.31	135.70	1.8	0.020	SA
DDH-338	135.70	142.08	1.5	0.029	SA
DDH-338	142.08	148.47	1.5	0.039	SCP
DDH-338	148.47	154.85	1.5	0.036	-1
DDH-338	154.85	157.50	1.5	0.035	-1
DDH-339	0.00	0.47	3.0	0.052	RF
DDH-339	0.47	6.86	3.0	0.051	RF
DDH-339	6.86	13.24	3.0	0.068	RF
DDH-339	13.24	19.63	3.0	0.067	RF
DDH-339	19.63	26.01	3.0	0.086	RF
DDH-339	26.01	32.40	3.0	0.047	RF
DDH-339	32.40	38.78	3.0	0.021	RF
DDH-339	38.78	45.17	3.0	0.025	RF
DDH-339	45.17	51.55	3.0	0.020	RF
DDH-339	51.55	57.94	3.9	0.025	RF
DDH-339	57.94	64.32	4.5	0.028	RF
DDH-339	64.32	70.71	3.7	0.025	RF
DDH-339	70.71	77.09	3.0	0.030	PRO
DDH-339	77.09	83.48	2.5	0.020	PRO
DDH-339	83.48	89.86	3.1	0.024	PRO
DDH-339	89.86	96.25	2.1	0.025	SAC
DDH-339	96.25	102.63	3.3	0.020	RF
DDH-339	102.63	109.02	4.4	0.027	RF
DDH-339	109.02	115.05	3.5	0.024	RF
DDH-341	1.60	8.22	1.4	0.026	SA
DDH-341	8.22	14.84	1.5	0.049	SA
DDH-341	14.84	21.46	1.5	0.045	SA
DDH-341	21.46	28.08	1.3	0.049	SA
DDH-341	28.08	34.70	1.3	0.054	SA
DDH-341	34.70	41.32	1.5	0.045	SA
DDH-341	41.32	47.94	1.5	0.063	SA
DDH-341	47.94	54.56	1.5	0.087	SA

Hole_Id	From	To	Length	AU_PPM	ALT
DDH-341	54.56	61.18	1.5	0.224	SA
DDH-341	61.18	67.80	1.3	0.401	SA
DDH-341	67.80	74.42	1.3	0.226	SA
DDH-341	74.42	81.04	1.3	0.178	SA
DDH-341	81.04	87.66	1.5	0.269	SA
DDH-341	87.66	94.28	1.5	0.384	SA
DDH-341	94.28	100.90	1.3	0.177	SA
DDH-341	100.90	107.52	1.5	0.062	SA
DDH-341	107.52	114.14	1.3	0.050	SA
DDH-341	114.14	120.76	1.3	0.039	SA
DDH-341	120.76	127.38	1.4	0.042	SA
DDH-341	127.38	134.00	1.5	0.062	SA
DDH-341	134.00	140.62	2.4	0.040	CP
DDH-341	140.62	143.65	2.0	0.036	CP
DDH-342	0.00	6.02	2.8	0.038	RF
DDH-342	6.02	13.35	3.2	0.034	RF
DDH-342	13.35	20.67	3.0	0.034	RF
DDH-342	20.67	28.00	3.0	0.034	RF
DDH-342	28.00	35.32	3.0	0.038	RF
DDH-342	35.32	42.65	3.0	0.038	RF
DDH-342	42.65	49.97	3.0	0.029	RF
DDH-342	49.97	57.30	3.0	0.021	RF
DDH-342	57.30	64.62	3.0	0.027	C
DDH-342	64.62	71.95	3.0	0.020	C
DDH-342	71.95	79.27	3.0	0.020	C
DDH-342	79.27	86.60	3.0	0.026	RF
DDH-342	86.60	93.92	3.0	0.038	SCP
DDH-342	93.92	101.24	3.0	0.030	SCP
DDH-342	101.24	108.57	3.0	0.025	SCP
DDH-342	108.57	115.89	3.0	0.109	CP
DDH-342	115.89	123.22	3.0	0.069	CP
DDH-342	123.22	130.54	3.0	0.069	CP
DDH-342	130.54	137.87	3.0	0.043	RF
DDH-342	137.87	145.19	3.0	0.033	CP
DDH-342	145.19	152.52	3.4	0.031	CP
DDH-342	152.52	154.10	4.1	0.030	CP
DDH-343	0.00	3.47	1.5	0.479	SV
DDH-343	3.47	11.30	1.3	0.256	SV
DDH-343	11.30	19.13	1.3	0.197	SM
DDH-343	19.13	26.97	1.8	0.046	CP
DDH-343	26.97	34.80	3.0	0.040	CP
DDH-343	34.80	42.63	3.0	0.042	CP
DDH-343	42.63	50.46	3.0	0.040	RF
DDH-343	50.46	58.30	3.0	0.042	RF
DDH-343	58.30	66.13	3.0	0.034	CP
DDH-343	66.13	73.96	1.8	0.225	CP
DDH-343	73.96	81.79	1.1	0.205	SA
DDH-343	81.79	89.63	2.2	0.045	CP
DDH-343	89.63	97.46	1.8	0.056	CP
DDH-343	97.46	105.29	1.4	0.076	CP
DDH-343	105.29	113.12	1.3	0.121	SA
DDH-343	113.12	120.96	1.4	3.270	SM
DDH-343	120.96	128.79	1.5	0.873	SM
DDH-343	128.79	135.50	2.8	0.035	CP
DDH-344	0.00	0.25	1.5	0.040	-1

Hole_Id	From	To	Length	AU_PPM	ALT
DDH-344	0.25	6.96	2.7	0.035	-1
DDH-344	6.96	13.66	3.0	0.038	-1
DDH-344	13.66	20.37	3.0	0.039	-1
DDH-344	20.37	27.07	2.0	0.444	-1
DDH-344	27.07	33.78	1.6	0.573	-1
DDH-344	33.78	40.48	1.5	0.654	-1
DDH-344	40.48	47.19	2.1	0.176	-1
DDH-344	47.19	53.89	3.0	0.038	-1
DDH-344	53.89	60.59	2.1	0.110	-1
DDH-344	60.59	67.30	1.5	0.772	-1
DDH-344	67.30	74.00	1.6	0.188	-1
DDH-344	74.00	80.71	1.5	0.153	-1
DDH-344	80.71	87.41	1.2	0.301	-1
DDH-344	87.41	94.12	1.1	0.343	-1
DDH-344	94.12	100.82	1.3	0.517	-1
DDH-344	100.82	107.53	1.4	0.651	-1
DDH-344	107.53	114.23	2.0	0.045	-1
DDH-344	114.23	120.93	1.5	0.040	-1
DDH-344	120.93	127.64	1.5	0.043	-1
DDH-344	127.64	134.34	1.5	0.026	-1
DDH-344	134.34	141.05	1.5	0.020	-1
DDH-344	141.05	147.75	1.5	0.024	-1
DDH-344	147.75	153.75	1.8	0.030	-1
DDH-345	0.00	0.65	3.0	0.034	RF
DDH-345	0.65	7.27	3.0	0.030	RF
DDH-345	7.27	13.89	3.0	0.025	RF
DDH-345	13.89	20.51	3.0	0.020	RF
DDH-345	20.51	27.13	3.6	0.050	RF
DDH-345	27.13	33.75	2.0	0.967	SM
DDH-345	33.75	40.37	1.5	0.606	SA
DDH-345	40.37	46.99	1.6	0.070	SA
DDH-345	46.99	53.61	2.3	0.073	SA
DDH-345	53.61	60.23	1.6	0.163	SA
DDH-345	60.23	66.85	1.6	0.174	SA
DDH-345	66.85	73.47	1.4	0.156	SA
DDH-345	73.47	80.09	1.6	1.330	SA
DDH-345	80.09	86.71	1.7	0.740	SA
DDH-345	86.71	93.33	2.1	0.071	CP
DDH-345	93.33	99.95	3.0	0.048	CP
DDH-345	99.95	106.57	3.0	0.054	CP
DDH-345	106.57	113.19	2.5	0.072	SA
DDH-345	113.19	119.81	1.5	0.044	SA
DDH-345	119.81	126.43	1.5	0.035	SA
DDH-345	126.43	133.05	1.5	0.030	SA
DDH-345	133.05	139.67	1.5	0.020	SA
DDH-345	139.67	146.29	1.5	0.020	SA
DDH-345	146.29	146.70	1.2	0.020	CP
DDH-346	0.00	0.37	3.0	0.034	RF
DDH-346	0.37	7.69	3.0	0.025	RF
DDH-346	7.69	15.02	3.0	0.031	RF
DDH-346	15.02	22.34	3.0	0.030	CP
DDH-346	22.34	29.67	3.0	0.036	CP
DDH-346	29.67	36.99	3.1	0.077	CP
DDH-346	36.99	44.32	1.4	0.233	SA
DDH-346	44.32	51.64	1.4	0.101	SA

Hole_Id	From	To	Length	AU_PPM	ALT
DDH-346	51.64	58.97	1.5	0.051	SA
DDH-346	58.97	66.29	1.5	0.103	SA
DDH-346	66.29	73.62	1.3	0.086	SA
DDH-346	73.62	80.94	1.7	0.098	SA
DDH-346	80.94	88.26	1.5	0.187	SA
DDH-346	88.26	95.59	1.4	0.205	SA
DDH-346	95.59	102.91	1.3	0.118	SG
DDH-346	102.91	110.24	1.3	0.388	SG
DDH-346	110.24	117.56	1.5	0.085	SA
DDH-346	117.56	124.89	1.5	0.074	SA
DDH-346	124.89	132.21	1.5	0.069	SA
DDH-346	132.21	139.54	1.5	0.066	SA
DDH-346	139.54	146.86	1.5	0.127	SA
DDH-346	146.86	151.25	2.3	0.105	CP
DDH-347	0.00	4.90	3.9	0.110	COB
DDH-347	4.90	11.41	1.6	0.062	SA
DDH-347	11.41	17.93	1.5	0.052	SA
DDH-347	17.93	24.45	1.5	0.058	SA
DDH-347	24.45	30.97	1.4	0.076	SA
DDH-347	30.97	37.49	1.4	0.087	SA
DDH-347	37.49	44.00	1.5	1.434	SA
DDH-347	44.00	50.52	1.5	0.353	SA
DDH-347	50.52	57.04	1.4	0.208	SA
DDH-347	57.04	63.56	1.3	0.201	SA
DDH-347	63.56	70.08	1.4	0.967	SM
DDH-347	70.08	76.59	1.5	0.657	SM
DDH-347	76.59	83.11	1.3	0.434	SM
DDH-347	83.11	89.63	1.5	0.182	SG
DDH-347	89.63	96.15	1.5	0.147	SG
DDH-347	96.15	102.67	1.5	0.163	SG
DDH-347	102.67	109.19	1.5	0.081	SA
DDH-347	109.19	115.70	1.7	0.104	SC
DDH-347	115.70	122.22	1.5	0.057	SA
DDH-347	122.22	128.74	1.5	0.078	SA
DDH-347	128.74	135.26	1.5	0.089	SCP
DDH-347	135.26	141.78	1.5	0.043	SCP
DDH-347	141.78	148.29	1.5	0.034	CP
DDH-348	0.00	5.42	1.5	0.042	SA
DDH-348	5.42	12.15	3.0	0.039	CP
DDH-348	12.15	18.88	3.4	0.035	CP
DDH-348	18.88	25.62	1.4	0.068	SC
DDH-348	25.62	32.35	1.4	0.086	SM
DDH-348	32.35	39.09	1.5	0.052	SA
DDH-348	39.09	45.82	1.1	0.095	SA
DDH-348	45.82	52.55	1.2	0.082	SA
DDH-348	52.55	59.29	1.5	0.079	SA
DDH-348	59.29	66.02	1.5	0.135	SA
DDH-348	66.02	72.75	1.5	0.151	SA
DDH-348	72.75	79.49	1.5	0.172	SA
DDH-348	79.49	86.22	1.5	2.526	SA
DDH-348	86.22	92.96	1.5	1.421	SG
DDH-348	92.96	99.69	1.5	0.287	SM
DDH-348	99.69	106.42	1.5	0.149	SG
DDH-348	106.42	113.16	1.6	0.150	SG
DDH-348	113.16	119.89	1.5	0.122	SA

Hole_Id	From	To	Length	AU_PPM	ALT
DDH-348	119.89	126.63	1.5	0.365	SG
DDH-348	126.63	133.36	1.5	0.102	SA
DDH-348	133.36	140.09	1.5	0.099	SA
DDH-348	140.09	146.83	1.5	0.034	SA
DDH-348	146.83	153.56	1.6	0.030	CP
DDH-348	153.56	155.10	2.1	0.020	CP
DDH-349	0.00	0.50	2.3	0.054	COB
DDH-349	0.50	7.43	3.2	0.048	RF
DDH-349	7.43	14.36	3.0	0.023	RF
DDH-349	14.36	21.29	3.0	0.038	CP
DDH-349	21.29	28.22	3.0	0.027	CP
DDH-349	28.22	35.14	2.4	0.396	CP
DDH-349	35.14	42.07	1.6	0.313	SA
DDH-349	42.07	49.00	1.5	0.297	SA
DDH-349	49.00	55.93	3.0	0.307	SA
DDH-349	55.93	62.86	3.0	0.113	-1
DDH-349	62.86	69.78	2.8	0.130	-1
DDH-349	69.78	72.25	1.7	0.586	-1
DDH-351	0.00	0.32	3.0	0.030	RF
DDH-351	0.32	7.00	3.0	0.031	RF
DDH-351	7.00	13.67	3.0	0.031	RF
DDH-351	13.67	20.35	3.0	0.061	RF
DDH-351	20.35	27.02	3.0	0.043	RF
DDH-351	27.02	33.70	1.4	0.165	SA
DDH-351	33.70	40.37	1.4	0.094	SA
DDH-351	40.37	47.05	1.5	0.052	SA
DDH-351	47.05	53.73	1.5	0.069	SA
DDH-351	53.73	60.40	1.5	0.057	SA
DDH-351	60.40	67.08	1.5	0.233	SA
DDH-351	67.08	73.75	1.5	1.531	SM
DDH-351	73.75	80.43	1.5	1.097	SM
DDH-351	80.43	87.10	1.5	0.426	SM
DDH-351	87.10	93.78	1.5	0.536	SA
DDH-351	93.78	100.45	1.5	0.061	SA
DDH-351	100.45	107.13	1.5	0.034	SA
DDH-351	107.13	113.81	1.5	0.041	SA
DDH-351	113.81	115.70	1.7	0.031	SA
MIL-183	0.00	1.80	4.0	0.001	COB
MIL-183	1.80	8.72	2.9	0.001	RF
MIL-183	8.72	15.65	4.2	0.001	RF
MIL-183	15.65	22.58	3.8	0.001	RF
MIL-183	22.58	29.51	4.1	0.001	RF
MIL-183	29.51	36.44	3.5	0.001	RF
MIL-183	36.44	43.36	4.5	0.034	PRO
MIL-183	43.36	50.29	4.5	0.014	PRO
MIL-183	50.29	57.22	4.5	0.001	PRO
MIL-183	57.22	64.15	4.5	0.001	PRO
MIL-183	64.15	71.08	5.1	0.001	PRO
MIL-183	71.08	78.01	6.0	0.001	SC
MIL-183	78.01	84.93	6.0	0.001	SG
MIL-183	84.93	91.86	6.0	0.030	SC
MIL-183	91.86	98.79	6.0	0.008	SC
MIL-183	98.79	105.72	6.0	0.089	SC
MIL-183	105.72	112.65	6.0	0.053	SG
MIL-183	112.65	119.58	5.3	0.028	SC

Hole_Id	From	To	Length	AU_PPM	ALT
MIL-183	119.58	126.50	4.5	0.001	SC
MIL-183	126.50	133.43	3.8	0.001	SC
MIL-183	133.43	140.36	4.2	0.001	PRO
MIL-183	140.36	147.29	3.1	0.001	PRO
MIL-183	147.29	154.22	4.6	0.001	PRO
MIL-183	154.22	155.75	4.7	0.001	PRO
SRE-256	0.00	6.32	3.2	0.070	COB
SRE-256	6.32	12.71	1.5	0.012	SA
SRE-256	12.71	19.09	1.8	0.032	SA
SRE-256	19.09	25.48	1.9	0.038	SC
SRE-256	25.48	31.86	1.1	0.203	SM
SRE-256	31.86	38.25	2.1	0.272	SG
SRE-256	38.25	44.63	2.2	0.133	SG
SRE-256	44.63	51.02	2.1	0.144	SM
SRE-256	51.02	57.40	2.0	0.033	SA
SRE-256	57.40	63.79	1.8	0.025	SC
SRE-256	63.79	70.17	1.8	0.011	SC
SRE-256	70.17	76.56	1.8	0.048	SC
SRE-256	76.56	82.94	1.8	0.024	SA
SRE-256	82.94	89.33	1.5	0.049	SA
SRE-256	89.33	95.71	1.6	0.026	SA
SRE-256	95.71	102.10	2.0	0.010	SA
SRE-256	102.10	108.48	2.1	0.033	SA
SRE-256	108.48	114.87	1.7	0.030	SA
SRE-256	114.87	121.25	4.5	0.013	C
SRE-256	121.25	127.64	5.0	0.010	C
SRE-256	127.64	134.02	5.6	0.010	C
SRE-256	134.02	140.41	5.9	0.010	C
SRE-256	140.41	141.80	5.8	0.010	C
SRE-257	0.00	1.40	3.0	0.064	COB
SRE-257	1.40	8.33	2.1	0.047	SM
SRE-257	8.33	15.25	2.4	0.024	SM
SRE-257	15.25	22.18	1.9	0.066	SM
SRE-257	22.18	29.11	2.2	0.055	SM
SRE-257	29.11	36.04	1.4	0.243	SG
SRE-257	36.04	42.97	1.5	0.140	SG
SRE-257	42.97	49.89	1.5	0.187	SG
SRE-257	49.89	56.82	1.7	0.111	SG
SRE-257	56.82	63.75	1.8	0.024	SM
SRE-257	63.75	70.68	2.2	0.010	SM
SRE-257	70.68	77.61	1.7	0.010	SA
SRE-258	0.00	2.13	1.9	0.010	COB
SRE-258	2.13	8.51	3.0	0.010	PRO
SRE-258	8.51	14.90	2.0	0.010	PRO
SRE-258	14.90	21.28	1.6	0.382	SV
SRE-258	21.28	27.67	2.0	0.356	SM
SRE-258	27.67	34.05	2.1	1.369	SG
SRE-258	34.05	40.44	2.0	1.199	SG
SRE-258	40.44	46.82	2.9	0.058	C
SRE-258	46.82	53.21	3.0	0.010	SC
SRE-258	53.21	59.59	3.0	0.010	C
SRE-258	59.59	65.98	3.0	0.010	C
SRE-258	65.98	72.36	3.0	0.010	C
SRE-258	72.36	78.75	1.9	0.320	SM
SRE-258	78.75	85.13	2.5	0.170	C

Hole_Id	From	To	Length	AU_PPM	ALT
SRE-258	85.13	91.52	2.2	0.010	SM
SRE-258	91.52	97.90	4.1	0.010	RF
SRE-258	97.90	104.29	4.1	0.010	RF
SRE-258	104.29	110.67	4.1	0.010	C
SRE-258	110.67	115.60	4.2	0.010	C
SRE-259	0.00	2.13	2.2	0.010	C
SRE-259	2.13	8.51	2.0	0.010	C
SRE-259	8.51	14.90	2.6	0.010	C
SRE-259	14.90	21.28	1.9	0.180	SM
SRE-259	21.28	27.67	2.7	0.011	C
SRE-259	27.67	34.05	2.9	0.015	C
SRE-259	34.05	40.44	4.1	0.010	C
SRE-259	40.44	46.82	4.0	0.010	C
SRE-259	46.82	53.21	3.7	0.010	C
SRE-259	53.21	59.59	2.9	0.010	C
SRE-259	59.59	65.98	2.8	0.015	C
SRE-259	65.98	72.36	1.7	0.341	SG
SRE-259	72.36	78.75	2.0	0.103	SM
SRE-259	78.75	85.13	3.7	0.010	SM
SRE-259	85.13	91.52	6.0	0.010	C
SRE-259	91.52	97.90	6.0	0.010	RF
SRE-259	97.90	104.29	6.0	0.010	RF
SRE-259	104.29	110.67	5.2	0.010	PRO
SRE-259	110.67	117.06	4.1	0.010	PRO
SRE-259	117.06	123.44	4.2	0.010	PRO
SRE-259	123.44	127.80	4.2	0.010	C
SRE-260	0.00	5.32	3.2	0.010	C
SRE-260	5.32	11.71	3.7	0.010	C
SRE-260	11.71	18.09	3.7	0.010	C
SRE-260	18.09	24.48	3.8	0.010	C
SRE-260	24.48	30.86	1.4	0.021	SA
SRE-260	30.86	37.25	1.1	0.072	SA
SRE-260	37.25	43.63	1.6	0.033	SA
SRE-260	43.63	50.02	2.1	0.010	SA
SRE-260	50.02	56.40	1.5	0.010	SA
SRE-260	56.40	62.79	1.7	0.024	SA
SRE-260	62.79	69.17	1.5	0.172	SA
SRE-260	69.17	75.56	1.9	0.169	SA
SRE-260	75.56	81.94	1.9	0.084	SA
SRE-260	81.94	88.33	2.3	0.010	SA
SRE-260	88.33	94.71	2.2	0.010	SC
SRE-260	94.71	101.10	1.7	0.049	SC
SRE-260	101.10	107.48	1.8	0.012	SC
SRE-260	107.48	113.87	2.0	0.010	SC
SRE-260	113.87	120.25	1.9	0.010	SC
SRE-260	120.25	120.40	1.6	0.010	SC
SRII-159	0.00	2.76	3.5	0.110	COB
SRII-159	2.76	11.24	1.7	0.049	SC
SRII-159	11.24	19.73	1.5	0.069	SC
SRII-159	19.73	28.21	1.5	0.057	SC
SRII-159	28.21	36.70	1.5	0.022	SC
SRII-159	36.70	45.18	1.5	0.016	SC
SRII-159	45.18	53.67	1.6	0.056	SC
SRII-159	53.67	62.15	2.0	0.051	SC
SRII-159	62.15	70.64	1.9	0.031	CP

Hole_Id	From	To	Length	AU_PPM	ALT
SRII-159	70.64	79.12	1.8	0.057	SC
SRII-159	79.12	83.80	2.8	0.057	CP
SRII-160	4.33	11.26	1.2	0.015	SAC
SRII-160	11.26	18.19	1.4	0.024	SAC
SRII-160	18.19	25.11	1.3	0.107	SA
SRII-160	25.11	32.04	1.4	0.059	SA
SRII-160	32.04	38.97	1.4	0.129	SA
SRII-160	38.97	45.90	1.3	0.239	SG
SRII-160	45.90	52.83	1.3	0.045	SAC
SRII-160	52.83	59.76	1.7	0.033	SC
SRII-160	59.76	66.68	1.7	0.066	SC
SRII-160	66.68	73.61	1.7	0.030	SAC
SRII-160	73.61	80.54	2.1	0.015	SAC
SRII-160	80.54	87.47	2.0	0.032	SC
SRII-160	87.47	94.40	2.0	0.017	SC
SRII-160	94.40	101.32	2.0	0.020	SC
SRII-160	101.32	108.25	2.0	0.022	SAC
SRII-160	108.25	115.18	2.0	0.023	SAC
SRII-160	115.18	122.11	2.0	0.022	SC
SRII-160	122.11	125.20	1.9	0.027	SC
SRII-161	0.00	5.59	2.1	0.072	SC
SRII-161	5.59	11.97	1.7	0.060	SG
SRII-161	11.97	18.36	1.5	0.047	SG
SRII-161	18.36	24.74	1.6	0.077	SA
SRII-161	24.74	31.13	2.9	0.146	SG
SRII-161	31.13	37.51	2.7	0.059	SA
SRII-161	37.51	43.90	3.2	0.102	SG
SRII-161	43.90	50.28	1.5	0.062	SA
SRII-161	50.28	56.67	1.5	0.041	SA
SRII-161	56.67	63.05	1.7	0.062	SA
SRII-161	63.05	69.44	1.7	0.041	SA
SRII-161	69.44	75.82	1.7	0.044	SA
SRII-161	75.82	82.21	1.5	0.044	SA
SRII-161	82.21	88.59	1.4	0.054	SA
SRII-161	88.59	94.98	1.5	0.034	SAC
SRII-161	94.98	101.36	1.5	0.037	SAC
SRII-161	101.36	107.75	1.5	0.054	SAC
SRII-161	107.75	114.13	1.4	0.092	SA
SRII-161	114.13	120.52	1.7	0.103	SA
SRII-161	120.52	126.90	1.5	0.335	SV
SRII-161	126.90	133.29	1.6	0.636	SV
SRII-161	133.29	136.20	1.5	0.048	SA